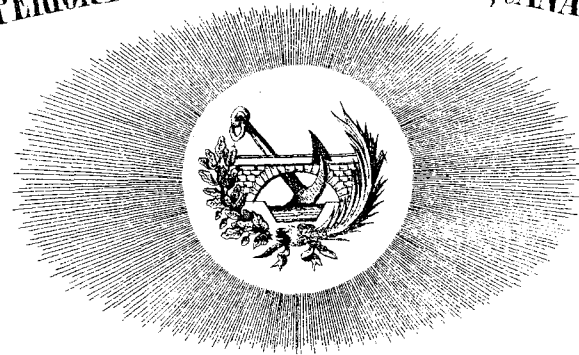


ESCUELA SUPERIOR DE INGENIEROS DE CAMINOS, CANALES Y PUERTOS



LECCIONES

sobre la resistencia de los materiales

por el Profesor

D. EDUARDO SAAVEDRA.

SEGUNDA EDICION

corregida y aumentada.

1889.

RESISTENCIA
DE LOS
MATERIALES.

Indice.

	<i>Página</i>
<i>Sección 1.^a De las fuerzas elásticas</i>	1.
<i>Tabla de los coeficientes de elasticidad</i> ..	14.
<i>Sección 2.^a De la resistencia permanente</i>	25.
<i>Resistencia de las piedras, ladrillos</i>	
<i>y morteros</i>	26.
<i>Resistencia de las maderas</i>	35.
<i>Resistencia de los metales</i>	38.
<i>Resistencia de las cuerdas</i>	42.
<i>Resistencia trasversal</i>	43.
<i>Sección 3.^a Del equilibrio de los cuerpos elásticos</i> ..	45.
<i>Momentos de inercia</i>	53.
<i>Sección 4.^a De la flexión</i>	59.
<i>Momentos de rotura</i>	66.
<i>Secciones 5.^a Equilibrio y resistencia de los prismas</i> <i>y 6.^a horizontales</i>	73.
<i>Sección 7.^a Equilibrio y resistencia de los prismas</i> <i>verticales</i>	101.
<i>Sección 8.^a Equilibrio y resistencia de los prismas</i> <i>inclinados</i>	115.
<i>Equilibrio y resistencia de una pira</i>	

	<u>Páginas</u>
<i>doblada entre sus apoyos</i> -----	122.
<i>Sección 9.^a Equilibrio y resistencia de las piezas</i>	
<i>curvas</i> -----	128.
<i>Sección 10.^a Sólidos de igual resistencia</i> -----	148.
<i>Sección 11.^a De la torsión</i> -----	165.
<u>Apéndices.</u>	
<i>Apéndice 1.^o Manera de experimentar la resistencia de los materiales</i> -----	173.
<i>Apéndice 2.^o Tablas numéricas para hallar el empuje de los arcos circulares</i> -----	183.

Erratas.

<u>Página.</u>	<u>Línea.</u>	<u>Dice.</u>	<u>Debe.</u>
3.	5	le	la
5	3	ninguna	ninguna acción.
5	21 y 24.	co	w
13.	14	en	de
15.	18.	de	da
18.	6 y 11.	vive	viva
24.	penult.	à	ó
29.	14	Dundec	Dundee
32	3	lgr	lgr
32	9	este	esta
32.	20.	u tang	tang
63.	12.	i'	$\frac{1}{2} i'$
82	19	se	no
89	6	en	en el
98.	4.	lang. tbr	Q tang. tbr
108.	5.	pdp	2pdp
109.	1	t=0	$t=\frac{1}{2}\pi$
109	2	$t=\frac{1}{2}\pi$	t=0
127.	1	maximo	minimo.
151.	7	CB	CA

Figuras.

En la 4.^a falta una t.

En la 5.^a la s debe ser d' y falta una d.
entre b y t.

En la 36 falta una o entre M y N.

Registrada a la Escuela por el autor

Resistencia de los materiales.

Sección 1.^a

De las fuerzas elásticas.

1. El estudio de la resistencia de los materiales tiene por objeto averiguar la magnitud e importancia de las deformaciones que han de sufrir los cuerpos sólidos cuando se destruyen por su intermedio las fuerzas que actúan en sus caras o en su interior; deduciendo de este conocimiento las condiciones necesarias para que estas deformaciones no pasen de ciertos límites. Para hacer este estudio es menester examinar la acción mutua y sucesiva de las moléculas de que se compone el cuerpo.

2. Sean o, o (fig. 1.^a) las posiciones de dos moléculas inmediatas cualesquiera M, m de un cuerpo, solicitadas tan solo por sus atracciones y repulsiones mutuas, que se equilibran a la distancia oo . Si para mayor sencillez se supone fija la molécula M en O , y se aplica a la m una fuerza dirigida en el sentido de la recta Oo ; esta última tomará diversas posiciones d, d', d'' &c.^a si la fuerza es de traccion ó tiende a separarlas; ó c, c', c'' &c.^a si es de presión ó compresion ó tiende a aproximarlas, de tal modo que en cualquiera de las primeras posiciones se verifique que el exceso de la atraccion de la molécula M a la distancia Od sobre la repulsion a la misma distancia, equivalga exactamente a la fuerza aplicada a la m ; y del mismo modo se verifique en cualquiera de las ultimas, que el exceso de la repulsion de la molécula M a la distancia Oc sobre la atraccion a la misma distancia sea igual a la fuerza que se ha aplicado a la molécula m .

3. Es evidente que mientras no haya cambiado en nada la constitucion física de un cuerpo, en cuanto cese de actuar la fuerza de traccion

ó compresion aplicada a la molécula m , volverá esta a la posicion o en que se equilibran las fuerzas atractivas y repulsivas naturales, y la fuerza con que tiende a volver a esta posicion, igual y contraria a la que la retenia en su desviacion anterior, se llama fuerza elástica. Levantando en cada punto d, d' &c.^a que puede ocupar la molécula m una perpendicular $d't, d't'$ &c.^a equivalente a la intensidad de la fuerza elástica, (que se tomara en sentido contrario de $cp, c'p'$ &c.^a) se formará una curva continua $t'o p''$, que representará la relacion que hay entre cada dilatacion ó contraccion de la distancia oo y la fuerza necesaria para mantener en ella a la molécula m . La curva pasará precisamente por el punto o que corresponde al equilibrio de las moléculas libres.

4. La forma de esta curva no puede ser conocida en toda su extension sino por medio de observaciones particulares en cada clase de materiales; pero el hecho comun a todos es que para las aplicaciones no se ha de considerar en ellos sino la accion de fuerzas que produzca en las distancias de las moléculas, variaciones muy

4.

pequeñas relativamente a sus longitudes primitivas. En límites tan reducidos, la curva, cualquiera que sea, se podrá considerar confundida con su tangente en o y reemplazada por ella. Entonces, llamando f a la intensidad de cualquiera de las fuerzas, $t d$ por ejemplo, x a la dilatación o contracción que le corresponde, $o d$ y e a la tangente del ángulo $t o d$, se tendrá la relación

$$f = ex,$$

cualquiera que sea la dirección de la fuerza y el sentido de la variación. La constante e habrá de determinarse experimentalmente para cada clase de material.

5. Suponiendo ahora un conjunto de moléculas A, B, C (fig. 2.ª) contenidas en un plano fijo, y otras a, b, c , correspondiéndose con ellas en un plano inmediato, cada una, b por ejemplo, ejercerá atracciones y repulsiones sobre todas las inmediatas a, A, B, C, c ; y si en cada una de las del segundo plano se aplica una fuerza f , al trasladarse estas a las posiciones a', b', c' , en que equilibran a las fuerzas exteriores, la molécula b , no solo está atraída por la B que se corres-

5.

ponde con ella, sino también por las A y C , y las distancias Ab, Cb se han aumentado, no recibiendo ninguna ^{acción} de las a y b por que hasta ahora sus distancias son invariables. Las fuerzas elásticas inclinadas en sentido Ab, Cb , se pueden descomponer en direcciones paralelas a Bb y a AC : las primeras ^{componentes}, que serán las únicas que influyan en la variación de distancia de los dos planos en virtud de la perpendicularidad de los aumentos de distancia, siguen siendo proporcionales a bb' , y como lo mismo se verifica para cada molécula a, c , &c. Se podrá establecer la ecuación siguiente

$$F = E_1 x,$$

siendo F la suma de las fuerzas f iguales aplicadas a todas las moléculas, y E_1 la nueva constante que indica la proporcionalidad para el conjunto de un cierto número de estas. Fijando para la medida de E_1 las que contenga la unidad de superficie, para otra superficie ω , este número de moléculas será proporcional al de unidades que contenga, y por consiguiente la suma F de las fuerzas aplicadas será proporcional a ω , de modo que se

tendrá entonces

$$F = E_1 \omega x,$$

por ser $F = E_1 \omega$

6. Cuando se considere un cuerpo prismático (figura 3.^a), como compuesto de moléculas situadas en planos paralelos y sumamente próximos a, b, c, d, &c., se observará que todas estas secciones materiales estarán en equilibrio siempre que diste lo mismo cada una de la que le precede que de la que le sigue, y que por consiguiente todas se equilibrarán en sus diferentes posiciones mutuamente menos las extremas a y g, que necesitan equilibrarse por fuerzas exteriores aplicadas a sus moléculas. Si para mayor sencillez se supone la primera sección a, fija en el plano AB, bastará para el equilibrio que se hayan aplicado a la otra g, una serie de fuerzas iguales F , cuya suma F satisfaga a la condición

$$F = E_1 \omega x,$$

siendo x la variación de distancia en dos secciones cualesquiera.

Mas como esta variación no se puede observar, es menester reemplazarla por la que se

experimenta la longitud total del prisma, que será igual a $m x$ si es m el número de secciones materiales de que consta. Si es l esta variación de longitud, se tendrá

$$l = m x$$

y si se llama L la longitud primitiva o del prisma y a a la distancia de equilibrio de sus secciones inmediatas, se tendrá también

$$L = m a,$$

de cuyas dos igualdades se deduce

$$x = \frac{l}{L} a,$$

y la ecuación del equilibrio se transforma en

$$F = E_1 a \omega \frac{l}{L},$$

y haciendo por fin

$$E = E_1 a, \quad \frac{l}{L} = i,$$

resulta

$$F = E \omega i, \dots \dots \dots (1)$$

expresión en la cual E es una cantidad constante independiente de la longitud del prisma o del número de secciones en que se divide, i es la variación de la unidad de longitud del prisma, o sea la dilatación o contracción relativa.

7. La cantidad E , constante para cada clase

de material, expresa un cierto número finito de unidades de fuerza, por que se compone de un número sumamente grande de valores de e (5) multiplicados por una longitud muy pequeña a (6), y el número e expresa una relación finita entre fuerzas y distancias infinitamente pequeñas (4). Esta cantidad E se llama el coeficiente de elasticidad longitudinal de la materia a' que corresponde, pues sirve de medida a' la influencia de las fuerzas exteriores en la deformación de los cuerpos en el sentido de la longitud. Este coeficiente suele definirse diciendo que es la fuerza necesaria para aumentar o disminuir un prisma de la unidad de área de sección transversal en una longitud igual a' la suya, por que haciendo en la fórmula (5) $l=1, w=1$, resulta $F=E$. Pero ningún cuerpo puede conservar sus propiedades físicas con alteraciones tan grandes, y además su magnitud sale fuera de las hipótesis (2) en que únicamente se puede admitir la fórmula como exacta o aproximada.

8. Las componentes de las fuerzas elásticas paralelas al plano AC (fig.^a 2.^a) producen una

variación en las distancias BA, BC . Si el punto b ha pasado $a' b'$, aumentando las distancias, la fuerza elástica dirigida de C a b' es atractiva, y por consiguiente su proyección en BC tiende a' aproximar las moléculas B y C , lo cual se verificará siempre que, como ordinariamente acontece, no haya fuerzas de tracción laterales. Si por el contrario, el punto b se aproximase $a' B$, las fuerzas elásticas oblicuas serían repulsivas y producirían el aumento de distancia de A y C a B . Como este fenómeno no se verificará en todas las secciones de un prisma, se deduce que toda dilatación elástica longitudinal va acompañada de contracción lateral, y que toda contracción elástica longitudinal lleva consigo una dilatación transversal. Estas variaciones transversales tienen que ser menores que las longitudinales a' que acompañan, por lo que no es necesario hacer un estudio detenido de ellas, y nos servirán solo para conocer y explicar la naturaleza de los fenómenos físicos que tienen lugar en los materiales sometidos a fuerzas extrañas. Su magnitud depende de lo que varía la elasticidad en

cada dirección al rededor de un punto en el interior de un cuerpo.

9. Como todas las fuerzas iguales f (fig.^a 3.^a) se pueden reemplazar con una F igual a su suma y aplicada al centro de gravedad de la sección, se puede admitir que cuando una fuerza F obra en el centro de gravedad de la sección extrema de un prisma, produce los mismos efectos que si estuviera repartida uniformemente en su superficie, con tal que la longitud del prisma sea bastante grande comparada con su sección transversal para que se anulen las irregularidades que se produzcan en las primeras secciones. Entonces se podrán enunciar las siguientes leyes que sigue la acción de las fuerzas aplicadas al centro de gravedad de la base de los prismas materiales; siempre que las dilataciones o contracciones sean muy pequeñas.
- 1.^o En prismas de la misma materia y de igual sección, las variaciones de longitud causadas por fuerzas iguales, son como las longitudes primitivas.
 - 2.^o En prismas de la misma materia, las fuerzas necesarias para producir iguales variacio-

nes relativas, son proporcionales a las áreas de sus bases o secciones.

- 3.^o En prismas iguales, las fuerzas iguales y de signo contrario, producen variaciones iguales y de signo contrario.
 - 4.^o Toda variación longitudinal está acompañada de otra variación trasversal menor y de signo contrario.
 - 5.^o Estas proporcionalidades ^{se} determinan en cada clase de materia por el coeficiente de elasticidad longitudinal.
10. La recta Oo (fig.^a 4.^a) formada por el mismo sistema de dos moléculas M, m , ofrece también resistencia a tomar una posición Od inclinada respecto de la primitiva, lo que equivale a haberse desviado la molécula m en sentido perpendicular a Oo , quedando la M fija en O . Para mantenerse dicha molécula en cada posición nueva $d, d', d'', \&c$ se necesitará aplicarle una fuerza variable dirigida de o a y , y cuya intensidad, tomada linealmente en sentido paralelo a $o'h$ se puede formar la curva que representa la ley de su variación. Lo mismo que antes, mientras estas variaciones sean pe-

queñas, la curva se confundirá con su tangente en o, y llamando h á la intensidad de la fuerza $d t$, y á la desviación o d , y g á la tangente trigonométrica del ángulo t o d , se tendrá la relación

$$h = g y.$$

Extendiendo esta consideración á todas las moléculas contenidas en un plano, y que ocupen la unidad de superficie, se tendrá por las mismas consideraciones que antes (5)

$$H_1 = G_1 y,$$

siendo H la resultante de todas las fuerzas iguales á h aplicadas á cada molécula, e y la desviación media en todas las moléculas, que es la del centro de gravedad de la sección móvil. En otra sección de superficie w , haciendo $H = H_1 w$, se tendrá

$$H = G_1 w y,$$

y cuando se considere un prisma de cierta longitud L , á cuyas secciones se pueda considerar aplicada una misma fuerza H , llamando a á la distancia primitiva Oo de las dos secciones, m al número de secciones que componen el prisma y l á la desviación relativa entre la pri-

mera y la última sección, se tendrá:

$$L = m a, l = m y, \text{ y } H = G_1 a w \frac{l}{L}.$$

Haciendo $G_1 a = G$, $\frac{l}{L} = k$, siendo k la desviación lateral relativa, se tiene la fórmula

$$H = G w k. \dots \dots \dots (2)$$

11. La cantidad constante G , que depende solo de la naturaleza de la materia que compone las moléculas, se llama el coeficiente de elasticidad transversal. Acerca de esta fórmula se pueden hacer las mismas observaciones y deducir las mismas consecuencias que de la fórmula (1) relativa á la elasticidad longitudinal.

12. Los valores de los coeficientes de elasticidad varían mucho segun el modo de preparar y trabajar los materiales y su distinta procedencia; pero los términos medios mas generales son los siguientes, expresados en kilogramos por milímetro cuadrado.

Materiales.	Coeficiente de elasticidad.	
	Longitudinal. E.	Transversal. G.
Maderas (termino medio)		
Alcaña	1.000	400
Pino	1.200	"
Cedro	1.350	433
Alamo	890	400
Caña	1.160	"
Hierro forjado	920	"
" forjado por la hilera	20.000	6.666
" laminado o palastro	18.000	"
" alindrado en forma de T	16.000	6.000
" colado de grano fino	14.000	2.000
Fundición gris de buena calidad	12.000	"
Hierro fundido, fino, templado	8.000	30.000
" nuevo	30.000	20.000
" templado ordinario	20.000	11.000
Cobre forjado	11.000	1.366
Bronce fundido	10.000	1.666
Plomo fundido	6.000	"
Plomo laminado o estirado	500	"
	700	

La gran rigidez de la piedra ha impedido averiguar los coeficientes de elasticidad.

Ejemplos.

13. Se pregunta qué aumento de longitud experimentará una barra cuadrada de hierro dulce de dos centímetros de lado en la sección trasversal cuadrada, y de 4,50 metros de longitud bajo la acción de una fuerza de 26 toneladas dirigida en sentido de la longitud. La fórmula (5) da

$$26000 = 20000 \times 400 \times i,$$

de donde se deduce

$$i = 0,00325 \quad \text{y} \quad l = 0,00325 \times 4,5 = 0,0146.$$

Se pregunta la contracción que habrá en un poste de madera de 25 centímetros de lado en su sección cuadrada y de 3 metros de longitud, bajo la carga de 30 toneladas. La misma ecuación da

$$30000 = 1000 \times 62500 \times i,$$

de donde se deduce

$$i = 0,00048 \quad \text{—} \quad l = 0,00048 \times 3 = 0,00144.$$

Se quiere saber la desviación lateral que tomarán las secciones extremas de un cilindro de hierro fundido de un decímetro de radio

y de 6 metros de longitud, sujeto a una acción traccional de 600 kilogramos. La fórmula (2) da

$$600 = 2000 \times 3,14 \times 50000 \times k,$$

de donde resulta

$$k = 0,0000095 \dots \text{ y } 10,0000095 \times 6^m = 0,000057.$$

55. Las fuerzas expresadas por las fórmulas (1) y (2) son las necesarias para mantener en equilibrio a las moléculas de un sólido con cierto aumento o disminución de distancia; pero cuando estas fuerzas se apliquen desde el principio a un prisma que se encuentre en su estado natural, imprimirá a sus extremidades cierta velocidad que les hará llegar a posiciones mas distantes de la primitiva que la calculada por las fórmulas citadas, determinando un movimiento de oscilación.

Sea AB (fig. 5.ª) el eje de un prisma cuyo extremo A esté fijo, y que supa por el otro B una dilatación variable Bb. Siendo

$$TBC = \text{ang. tang. } (Ew),$$

la fuerza elástica desarrollada en cada posición del punto b sea representada por bt, y el trabajo de esta fuerza en un instante infinitamen-

te pequeño será el producto $bt \times bb'$, siendo bb' el elemento de camino recorrido por el punto mientras se le puede atribuir a la fuerza elástica un valor constante. Según esto, el trabajo elemental de la fuerza elástica equivale al área del trapecio infinitamente estrecho $bb'tt'$, y todo el que desarrolla desde que empieza la dilatación en B hasta que llega el extremo a la posición b equivale al área del triángulo Bbt, cuya expresión es

$$\frac{1}{2} Bb \times bt = \frac{1}{2} Bb^2 \times \text{tang. } TBC = \frac{1}{2} Ew x^2,$$

siendo x la dilatación variable absoluta.

Si otra fuerza de magnitud proporcional a Bf, dirigida en sentido de la longitud AB, está aplicada al punto B, el trabajo que le corresponde al llegar este extremo a b será el producto $Bf \times Bb$, o sea el área del rectángulo BbBf. La velocidad será nula cuando los trabajos de todas las fuerzas se hayan anulado, que será en una posición como la c, en que el área del rectángulo BcBf sea igual a la del triángulo Bcd', para lo que es preciso que cf sea mitad de cd'. Esta se verificará cuando Bc sea el doble de Bm, posición en la cual la fuerza

elástica me es igual a la fuerza dada.

15. La fuerza Bf puede ser producida por la presión constante de un cuerpo que haya venido a chocar con la extremidad del prisma con cierta velocidad. En este caso, la fuerza viva inicial se puede reemplazar por el trabajo que tendría necesidad de desenvolver la fuerza dada para producirla, partiendo del reposo. Si es Bh el camino necesario para que esto suceda, el rectángulo $Bhpf$ representará el efecto de que es capaz la fuerza viva inicial; y el término de la evasión del punto B será un punto C en el cual se verifique, que

$$hCp'p = BCT.$$

16. La dilatación o contracción que experimenta una barra prismática por su propio peso, es la mitad de la que le haría tomar este mismo peso acumulado en su parte inferior o superior. Sea AB una barra suspendida del punto A : la dilatación que experimenta el elemento bb' será $i \times bb'$, o por la fórmula (5)

$$\frac{P \times bb'}{Ew}$$

siendo P el peso de la parte que hay debajo de este elemento.

Trazando una horizontal AC , cuya longitud esté con la AB en la relación que el peso p por unidad de longitud de la barra tiene con el producto Ew , y uniéndolo el punto C con el B , cualquier ordenada bc de la recta BC represente la expresión $\frac{P}{Ew}$ correspondiente al punto b , porque se tiene

$$bc: bB :: AC: AB :: p: Ew,$$

de donde se deduce

$$bc = \frac{p \times Bb}{Ew}$$

De este modo, la dilatación del elemento bb' está representada por el área del trapecio $bb'c'$, y la suma de todas estas dilataciones parciales, que es la dilatación total, será el área del triángulo BAC , mitad de la del rectángulo $BACB'$ que sería lo que ocasionan el peso de AB acumulado en el extremo B .

Lección 2.^a

De la resistencia permanente.

57. Las propiedades físicas de los sólidos no se conservan las mismas cualquiera que sea la variación de distancia y posición relativa de sus moléculas, sino que llega un punto en que se alteran de tal modo sus propiedades elásticas, que las moléculas abandonadas á sí mismas no vuelven exactamente á su posición primitiva, ni recobra el sólido que componen su primera forma de equilibrio. La dilatación, contracción, ó desviación lateral mayores que puede sufrir un material quedando capaz de recobrar exactamente su estado primitivo se llaman los límites de la elasticidad, y se ha observado que son bastante pequeños para poder aplicar á los sólidos, en la estension que comprenden, cuanto se ha expuesto en la lección anterior.

18. Un sólido, cuyas moléculas hayan pasado de las posiciones que señalan los límites de la elasticidad, queda con cierta deformación permanente que suele servir de medida á la pérdida de elasticidad que ha experimentado; y las fuerzas que despues de esto se le apliquen producen alteraciones mayores que hubieran producido cuando se encontraba en su estado natural primitivo, de modo que la misma fuerza ocasiona entonces con el tiempo alteraciones crecientes cada vez, hasta que llega á romperse el sólido por la extraordinaria magnitud que alcanzan.

19. La rotura de un cuerpo tiene lugar cuando la distancia entre algunas de sus moléculas ha aumentado tanto (cualquiera que sea la causa) respecto de la de equilibrio, que la acción atractiva que las mantiene unidas se hace despreciable comparada con las demás fuerzas exteriores y en especial con la gravedad. Cuando un cuerpo se comprime, la rotura proviene del aumento de distancias en el sentido transversal (8), lo cual explica por qué al aplastar un sólido se raja longitudinalmente ó

se hincha por los lados. La rotura se puede producir por la acción inmediata de una fuerza suficientemente grande, ó por la acción lenta y sucesiva de una fuerza que haga pasar á las moléculas de su límite de elasticidad. La primera es la que se llama la resistencia instantánea ó á la rotura.

20. Importa en las construcciones, no solo que no se rompan los materiales al tiempo de colocarse y cargarse, sino que resistan durante el largo tiempo que ha de estar en pie la obra. Para esto es preciso que las fuerzas que obran en ellos sean inferiores á las que en cada caso hagan pasar á las moléculas del límite de la elasticidad. Llamando i' y k' respectivamente las desviaciones relativas longitudinal y transversal que corresponden á estos límites, las fuerzas que son necesarias para mantener al cuerpo con ellas son (6, 10)

$Ew i'$ y $Gw k'$;
pero las que se necesitan para hacer llegar á las moléculas á estas posiciones partiendo de las de equilibrio, en la suposición de que em.

piquen a' obrar sin velocidad inicial, que es el caso mas favorable, son (34)

$Q = \frac{1}{2} E w i'$ y $P = \frac{1}{2} G w k'$,
cuyas expresiones son los verdaderos límites de las fuerzas que se pueden ejercer con seguridad y de una manera permanente sobre los materiales, por que la hipótesis en que se han establecido es la que se realiza en las construcciones que se someten a cargas en reposo o sin choque.

25. La fuerza o carga que puede resistir un sólido es proporcional al área de su sección transversal, y a la que corresponde a la unidad superficial se llama la resistencia permanente, cuyo estudio es el mas importante. Haciendo

$\frac{1}{2} E i' = R$ y $\frac{1}{2} G k = T$,
las constantes R y T representan las resistencias permanentes en cada sentido, y las fórmulas últimas se reducen a

$Q = R w$ --- (3) y $P = T w$, --- (4)
con los cuales se pueden averiguar la carga que puede soportar un sólido, o la cantidad de material que se necesita para resistir una

25.

fuerza dada.

22. Los valores de R y T se calculan directamente cuando se conocen las constantes E , G , i' , k' como sucede respecto del hierro y de algunas maderas; pero se carece para muchas materiales de estos datos; y entonces es preciso acudir a la observación de la carga que sufren los materiales análogos en obras construidas mucho tiempo atrás y que han ofrecido en ellas completa seguridad. Aun en muchos casos no es posible hacer esta observación; y entonces, conociendo la carga permanente y la de rotura para un material análogo, se averigua por un experimento la carga de rotura de que se trata, y se toma para la carga permanente una fracción igual a la que marca la relación antes dicha. Llamando R_s a la carga de rotura, y m a la fracción de ella que se juzga deber tomar, se tiene $R = m R_s$.

23. Cada material no resiste lo mismo en todos sentidos, o importa conocer qué influencia puede tener su posición respecto de las fuerzas para colocarlo siempre en la mas favorable. Cuando el cuerpo es homogéneo o

compacto, es indiferente el modo con que se coloque, pero cuando es foliáceo o estratificado, conviene que se comprima perpendicularmente a las capas, y cuando es fibroso que se solicite paralelamente a las fibras.

Resistencia de las piedras, ladrillos y morteras.

24. Estos materiales presentan una textura homogénea, o en capas paralelas. El valor de la resistencia permanente no puede determinarse sino tomando una fracción de la instantánea, por la gran rigidez que poseen por lo común. Su mayor resistencia es a la compresión, a cuya fuerza deben someterse únicamente en las obras.

25. Piedras. Los experimentos de varios ingenieros han conducido a los resultados siguientes:

1.º Las propiedades físicas de las piedras no guardan relación alguna con su resistencia.

2.º Las piedras mas resistentes son las mas

homogéneas; por lo que deben preferirse en una misma cantera las del centro.

3.º La resistencia de las piedras de una misma base varía con la altura, teniendo su máximo en la forma cúbica.

4.º El fenómeno de la rotura se verifica de dos modos: si las piedras son duras, se dividen en agujas verticales, y estas se reducen en seguida a polvo; si son blandas, se dividen en seis pirámides cuyo vértice común está en el centro del sólido. Este último modo de rotura es el mas frecuente en las esferas y cilindros.

5.º Si la resistencia del cubo representa la unidad, la del cilindro inscrito será 0,80 en dirección del eje, o 32 en sentido perpendicular a él, y la de la esfera inscrita 0,26.

26. Cuanto mayor es el número de hiladas en que se ha dividido un pilar, tanto menor es la resistencia, aunque no se puede apreciar con exactitud la disminución que proviene de esta causa por estar ligada con la que tiene lugar por efecto del mal aniento, labra imperfecta, &c.º Los experimentos de Vicat hacen creer que dicha disminución es pequeña; pero los de

Rondelet, hechos en las circunstancias ordinarias de las obras, indican que cuando el número de hiladas es mayor de cuatro, la resistencia es casi constante e igual a la mitad de la de un cubo monolito.

27. La resistencia permanente de las piedras tiene gran variedad; pero los términos medios mas generales son,

para las piedras silíceas ... 0,5 kilog. por milim. cuadrado.

para las calizas duras ... 0,3 id. id.

para las calizas blandas ... 0,1 id. id.

y en ningun caso excede de 2 kil. por mil. cuad.

Los experimentos hechos hasta el día dan los resultados siguientes:

Resistencia de las piedras a la rotura por compresion.

<i>Auto- tores.</i>	<i>Clase de la piedra.</i>	<i>Peso es. pesos.</i>	<i>Carga de rotura Kilog. por cent. metro cuadr.</i>
	<i>Piedras silíceas.</i>		
G.	Porfido	2,87.	2472.
R.	Basalto	2,95.	1995.
Rn.	Granito de Aberdeen	2,62.	775.
R.	de Bretaña	2,74.	654.
R.	de los Vosges	2,64.	423.
R.	Piedra arcillosa feluda	2,66.	681.
R.	Id. id. textura fina	2,56.	422.
R.	Lava del Vesubio	2,60.	592.
R.	Id. de Roma	1,97.	228.
R.	Asperon rojizo	2,52.	313.
Rn.	Arenisca de Dundee	2,52.	471.
G.R.	Arenisca blanda	2,49.	4.
	<i>Piedras calizas.</i>		
R.	Mármol negro de Flandes	2,72.	739.
Rn.	Mármol estatuario de Italia	2,73.	687.
Rn.	Mármol rojo de Devonshire	"	527.
R.	Caliza dura de Bagneux de grano fino	2,44.	444.
Mf.	Caliza grifitica de Metz (hidráulica)	2,60.	300.
G.	Caliza dura de Liory	2,38.	308.
G.	id. blanda de id.	2,07.	145.
Mf.	Caliza oolítica de Jaumont	2,20.	180.
R.	Caliza compacta de Conflans	2,07.	89.
R.	Caliza blanda porosa	1,56.	23.
V.	Caliza granosa	"	94.
V.	Caliza oolítica	"	106.
V.	Caliza litográfica	"	275.
M.	Caliza de la Aldehueta (prov. de Madrid)	2,75.	462.
M.	Caliza de Patones (id.)	2,50.	310.
M.	Caliza de la Alalaya (id.)	2,44.	218.
R.	Yeso de Montmartre	1,92.	72.

(*) G. Gauthy, R. Rondelet, Rn. Rennie, M. Morer, Mf. Montfort, V. Vicat.

28. La relación de R_1 a' R varía en algunas circunstancias, aunque la mas comunmente admitida es $\frac{1}{50}$ del modo siguiente:

Carga permanente de las piedras.

Clase de obra.	Valores de m .
Fillería de grandes dimensiones, perfectamente labrada y asentada.....	0,30.
Fillería ordinaria siendo la altura menor que doce veces el diámetro mas pequeño de la base.....	0,10.
Fillería ordinaria, siendo la relación de la altura a' la base mayor que 12.....	0,05.
Mampostería.....	0,05.

29. La resistencia a' la extensión se verifica en pocos casos, por lo que se poseen tambien pocos datos acerca de ella. Los siguientes dan una idea de su intensidad.

Resistencia de las piedras a' la extensión

Autores.	Clase de piedra	Longitud de rotura. Kilogs. p. cent. cuadrados.
Coulomb.	Piedra blanca de grano fino.....	54.
Wedgwood.	Caliza de Portland.....	60.
Pondelet.	Basalto de Auvernia.....	77.
Vicat.	Piedra litográfica.....	35.
id.	Caliza granugienta.....	23.
id.	Caliza oolítica.....	54.

La relación m se suele tomar tambien de 0,10.

30. Ladrillos. La rotura de los ladrillos se verifica lo mismo que la de las piedras, siendo tambien $m = 0,10$ si son de buena calidad; pero cuando son muy blandos, o se hace la obra con poca cuidado, conviene hacer $m = 0,07$.

Resistencia de los ladrillos a la compresion

Autores.	Clase de ladrillo.	Carga de rotura Kil. p. cent. cuadr.
G.	Ladrillo duro	149.
Rn.	Ladrillo de Hammersmith	71.
Rn.	El mismo muy cocido	152.
Rn.	Ladrillo amarillento	40.
M.	Ladrillo de sillos (para de maón)	98.
V.	Adobe	33.

Resistencia del ladrillo a la estension.

Autores.	Clase de ladrillo.	Carga de rotura Kil. p. cent. cuadr.
Coulomb.	Ladrillo de Provenza, bien cocido	59.
Brugold.	Ladrillo ordinario bien cocido	59.
"	Ladrillo mal cocido	8.

31. Morteros. En los morteros conviene tomar un bastante pequeño, atendiendo al sin número de causas que alteran sus cualidades, y a que no las adquieren por completo hasta

mucho tiempo después de empleados en la obra.

La resistencia a la compresion es muy pequeña cuando se han endurecido; recién amasados es casi nula.

Resistencia de los morteros a la compresion.

Autores.	Clase de mortero.	Carga de rotura Kil. p. cent. cuadr.
	Mortero ordinario.	
R.	Mortero de cal y arena	35.
V.	Id. de cal y arena de 14 años	19.
	Morteros hidráulicos.	
R.	Piccolana de polvo de ladrillo	48.
R.	Piccolana de Italia	37.
R.	Conluido de unas ruinas romanas	76.
	Id. de las ruinas de la Bastilla	55.
V.	Mortero de cal hidráulica ordinaria	74.
V.	Id. id. eminentemente hidráulica	144.
	Yesos.	
R.	Yeso amasado con agua	50.
R.	Yeso amasado con lechada	73.
V.	Yeso espeso	90.
V.	Yeso claro	42.

32. Respecto de la resistencia a la extensión, ha de distinguirse la cohesión del mortero y su adherencia con los materiales que une. Esta última por lo común es mayor, de modo que un pilar se rompe mas bien por medio de la masa de mortero o del material que lo compone, que por la unión de uno y otro. En el yeso la adherencia disminuye con el tiempo, pero en los morteros de cal aumenta.

Resistencia del mortero a la extensión.

Autores.	Clase de mortero.	Carga de rotura kil. p. cent. c. ^{dm}
N.	Cal grasa y arena, de 4 años	4.
N.	Yd. mal hecho	0,7.
V.	Cal hidráulica y arena.	9.
V.	Cal muy hidráulica.	15.
Mallet.	Cemento de Pouilly.	9.
R.	Yeso común.	5.
V.	Yeso fuerte.	12.
N.	Yeso claro	6.

Resistencia de las maderas.

33. La madera se compone de fibras paralelas dispuestas en capas concéntricas al rededor de la médula del árbol. Esta disposición manifiesta que la madera tiene tres ejes de elasticidad, uno paralelo a las fibras, o sea el eje de figura del árbol, otro en sentido del radio, y el tercero paralelo a las capas, o sea tangente a los círculos que forman. De los experimentos de Rondelet, Hodgkinson, Chevandier y Wertheim, &c.^a se ha deducido lo siguiente:

1.^o La elasticidad no guarda relación con la resistencia a la rotura.

2.^o La densación aumenta considerablemente la elasticidad de la madera.

3.^o En la elasticidad influyen la edad, exposición, suelo y parte del árbol de donde se ha sacado el ejemplar de madera.

4.^o La época de la corta, el espesor de las capas, y otras circunstancias análogas no influyen en la elasticidad.

5.^o La elasticidad en sentido del eje, del radio y de la tangente están en la relación de

1: 0,165: 0,091; y la resistencia a la rotura en la relación de 1: 0,163: 0,159.

34. El límite de las cargas permanentes se ha de deducir de diferente modo según la manera de resistir de la madera. Cuando es a la extensión, se halla componiendo los valores de E e i que se conocen para varias clases de maderas, y cuyo resultado, referido al milímetro y kilogramo, se halla en la tabla siguiente:

Resistencia de las maderas a la extensión.

Clase de madera.	Carga permanente.
Alcaia	3,587.
Pino.	0,798.
Encina.	0,962.
Olmo.	0,921.
Haya.	0,815.

Los valores medios R en toda clase de maderas, especialmente pino y encina, se pueden tomar:

En obras ligeras o con materiales de elección. ——— $R = 0,30$ kil. por mil. cuad.

En obras ordinarias. ——— $R = 0,60$ kil. por mil. cuad.
En obras de gran solidez. — $R = 0,40$ id. id.

Si no se conociera i se calculará R haciendo $m = \frac{1}{7}$, cuando R_1 es el peso mas pequeño que produce la rotura, y $m = \frac{1}{30}$ en los casos ordinarios.

35. Los resultados relativos a la compresión son mas inciertos, pues como se oirá mas adelante, este fenómeno está ligado con el de la flexión. Según Rondelet y Hodgkinson, los trozos cubitos de madera pueden resistir con seguridad en el sentido paralelo a las fibras de 0,40 a 0,60 kilogramos por milímetro cuadrado, y el valor de m que debe tomarse cuando no se conozca mas que la carga de rotura es lo mismo que antes (34) de $\frac{1}{30}$. Los experimentos hechos sobre la rotura por compresión, dan los resultados siguientes:

Autores.	Clase de madera.	Carga de rotura por compresión Kil. por mil. ^o cuad. ^o
R.	Encina -----	{ 3, 25. á 4, 63.
H. (*)	Id. de Quebec ---	
R.	Pino -----	{ 4, 62 á 5, 38.
H.	Pino rojo -----	
M.	Pino de Soria ---	2, 62.
M.	Id. del Paular...-	3, 12.
H.	Olmo muy seco --	7, 26.
H.	Haya -----	5, 43.
H.	Nogal -----	4, 26.

(*) Hodgkinson.

Resistencia de los metales.

36. Los metales, y especialmente el hierro, son los materiales que presentan en mas alto grado las propiedades elásticas, y resisten de diferente modo segun que sean dúctiles ó quebradizos. Son metales dúctiles generalmente los que se han batido en martinete ó se han pasado por el cilindro ó la hilera; y quebradizos los que se han echado fundi-

dos en un molde. Los primeros tienen una estructura fibrosa longitudinalmente, la fractura se nota terminada por ganchitos antes de romperse se dilatan mucho, y ceden visiblemente á los choques que les hacen vibrar. Los quebradizos tienen la estructura granosa, la fractura lisa; apenas se nota en ellos dilatacion cuando están á punto de romperse, y se quiebran como vidrio cuando reciben un golpe, sin doblarse antes de una manera sensible. El temple aumenta la elasticidad, y el recocido la disminuye algo.

37. El límite de las cargas permanentes guarda una relación muy variable con la carga de rotura, por lo que el método de comparación es menos aplicable á estos materiales que á los otros, y menos aun si se atiende á que las construcciones existentes son muy modernas para dar una gran seguridad sobre sus resultados. La resistencia permanente á la estension y á la compresion son casi iguales, segun se ve en la siguiente tabla, en que están los números como siempre referidos al milimetro y al hilo.

grano.

Resistencia permanente de los metales

Metales	Resistencia a la extension.	Resistencia a la compresion
Hierro dulce forjado de la mejor calidad	8.	7.
Hierro en barra u' hojas	6.	6.
Alambre delgado	10.	"
Alambre en cables	5.	"
Acero recoado	12.	"
Acero fino templado	33.	"
Hierro colado de grano fino	5.	6.
Fundicion gris	3.	4.
Cobre forjado	4.	"
Bronce fundido	4.	"
Plomo	0,2.	"

Los números que anteceden hacen ver que en todas las clases de hierro forjado se puede tomar para las cargas permanentes, por término medio,

En construcciones ligeras... $R = 3,00 \text{ k' p. mil.}^{\text{uad.}}$

En construcciones comunes... $R = 6,00 \text{ id. id.}$

En construcciones escepcionales... $R = 4,00 \text{ id. id.}$

y para el hierro fundido
habremos de tomar

En construcciones ligeras.... $R = 5,00 \text{ id. id.}$

En construcciones ordinarias... $R = 3,00 \text{ id. id.}$

En construcciones excepcionales... $R = 2,00 \text{ id. id.}$

38. Se debe notar que el hierro forjado o dulce es preferible, bajo el punto de vista de la resistencia, al fundido para toda clase de construcciones, bien sea que resistan a la extension o a la compresion, aunque la resistencia a la rotura instantanea sea en el primer caso mayor para el forjado, y en el segundo para el fundido; por que apesar de esto, las deformaciones empiezan siempre a ser permanentes en el fundido, ^{antes} que en el forjado.

39. Cuando en alguna clase de hierro no se conocen los datos necesarios para determinar su resistencia permanente, se suele tomar el $\frac{1}{6}$ de la carga de rotura para el forjado, y

el $\frac{1}{3}$ para el fundido.

Resistencia de las cuerdas.

40. Los pocos experimentos que se poseen sobre la resistencia de las cuerdas dan los resultados siguientes:

Autores.	Clase de cuerdas.	Larga de kil. p. mil.
Sciuffanti ne.	Calabrote de cañamo de Grosburgo, de 13 milim. ² de diámetro ---	9, 50.
id.	Id. id. id. de 25 mil. ² id. ---	6, 30.
id.	Id. id. id. de 33 mil. ² id. ---	5, 40.
id.	Cable del mismo cañamo de 40 milim. ² de id. ---	5, 90.
id.	Id. id. de 54 mil. ² de id. ---	4, 85.
id.	Cable de cañamo de Lorena, de 45 mil. ² de id. ---	7, 10.
id.	Id. id. id. de 23 mil. ² de id. ---	5, 90.
id.	Calabrote del mismo cañamo de 23 mil. ² de id. ---	7, 30.
Palacios.	Cañamo de Orihuela, de 1. ^a clase ---	8, 30.
id.	Id. id. de 2. ^a clase ---	8, 99.
id.	Id. de Granada, de 2. ^a y 3. ^a clase ---	8, 73.
id.	Id. de Calatayud, de 1. ^a clase ---	7, 30.
id.	Id. id. de 2. ^a clase ---	7, 15.
id.	Id. id. de 3. ^a clase ---	7, 04.
"	Correas (resistencia permanente) ---	8, 20.

La resistencia permanente se suele apor

ciar en $\frac{1}{2}$ de la de rotura.

Los experimentos anteriores indican que la resistencia por unidad superficial disminuye cuando aumenta el diámetro, lo que ha conducido a que en la marina francesa se use la siguiente fórmula empírica:

$$R_s = (45 - 0,25c)c^2,$$

en la que c representa la circunferencia del cable en centímetros. En las obras no se da tanta fuerza a las cuerdas.

Resistencia trasversal.

41. La resistencia permanente a una acción trasversal, se conoce con menos seguridad que la longitudinal, y para menos materiales. Los datos mejor conocidos son los siguientes:

Materiales.	Resistencia kil. p. mil. c. ²
Hierro dulce ---	2,00.
" fundido ---	0,67.
Acero muy fino ---	2,00.
Madera de pino perpendicularmente a las fibras ---	0,14.
Id. de encina perpendicularmente a las fibras ---	0,13.

Para piezas ligeras se puede tomar el doble.

La relación ordinaria de las resistencias en los dos sentidos es $\frac{T}{R} = \frac{2}{5}$.

42. La resistencia a la rotura paralelamente a las fibras, obtenida arrancando los filetes de un tornillo, es:

Materiales.	Resistencia.	
Encina.	1 kil. por pul. cuadrado.	
Alamo.	0,8 id.	id.
Pino.	0,5 id.	id.

Y la resistencia permanente puede tomarse $\frac{1}{50}$ de esta.

Nota.

Los experimentos de algunos autores parecen indicar que ningún sólido puede sufrir una deformación, por pequeña que sea, sin que quede una parte de ella permanente, y que por consiguiente no existen los límites de la elasticidad según se han definido en esta lección. Pero esta cuestión, gravísima para la teoría de las acciones moleculares, es de menor importancia para las aplicaciones, por que de todos modos es preciso admitir, que mientras las deformaciones no pasen de cierto punto, no son peligrosas para las obras, y ese punto es entonces al que se aplica el cálculo que antecede sobre la resistencia permanente, y del que se deriva toda la teoría que va a seguir, con sola la diferencia de que en lugar de llamarse límite de elasticidad, se debería llamar límite de seguridad, i. e. su nombre cualquiera que significase mejor su verdadero carácter.

Lección 3.^a

Del equilibrio de los cuerpos elásticos.

43. Cuando varias fuerzas aplicadas de cualquier manera solicitan a un cuerpo elástico, es preciso en general que cambie de figura en toda su extensión para que de la desigualdad de las fuerzas interiores que se originan, resulte el equilibrio con las primeras.

44. Considerando a cada cuerpo como compuesto de secciones materiales planas y equidistantes, perpendiculares a la línea que une sus centros de gravedad, para ver el cambio relativo de figura y de posición de cada sección respecto de su inmediata, basta considerar dos de estas, una de las cuales esté fija en todos sus puntos, y la otra sujeta a la acción de las fuerzas exteriores, transmitida por el intermediario del resto del cuerpo. Sea A (fig.^a 7.^a) la primera de estas secciones y B la segunda: todas las fuerzas aplicadas a la última se pueden reducir a una sola P aplicada al centro de gravedad.

g y un par cuyo eje sea gI. Las componentes F y H de la fuerza, paralela y perpendicular a la línea Gg de los centros de gravedad, producirán en todos los puntos de la sección las desviaciones longitudinal y transversal gg', gg'', constantes, cuyas magnitudes se calculan por las fórmulas (1) y (2) de la lección 1.^a, haciendo en ellas

$$i = \frac{gg'}{Gg}, \quad k = \frac{gg''}{Gg};$$

pero el par producirá una rotación al rededor de cierto eje go, en general diferente para cada punto material de la sección, de la que resultará la sección B trasladada a la posición B' y algo cambiada de figura, originándose de la desigualdad y divergencia de las desviaciones absolutas de las moléculas pares de resistencias, cuyo resultante hará equilibrio al par I aplicado.

4.5. Aunque las secciones no se conservan planas después de la deformación del cuerpo sino en algunos casos particulares, en los ordinarios en que la longitud del sólido es grande comparada con sus dimensiones transversales, el alabeo que toman es bastante pequeño

para que se puedan considerar siempre como planas, en lo cual se comete un error pequeño y favorable a la solidez de las obras, como se verá más adelante. Por esto, y por que la investigación de esa curvatura es demasiado complicada para que tenga cabida en estos estudios, se supondrá siempre que las secciones primitivamente planas se trasladan y giran conservando siempre su forma y dimensiones, así como las de sus centros.

4.6. Para calcular con mas sencillez la rotación, se descompone siempre en otras dos, una al rededor del eje Gg prolongado, si es necesario, y otra al rededor de otro eje cd contenido en el plano de la sección y en el de las rectas Gg y go. La primera rotación se llama torsión y la segunda flexión, las cuales ponen en juego respectivamente las elasticidades transversal y longitudinal. Cada una de estas rotaciones es debida a uno de los componentes N ó M del par I en sentido del eje Gg o en el perpendicular dentro del plano GgI. El plano a Gg b, perpendicular al eje de giro cd, se llama plano de la flexión, y el p

$mGg1$, perpendicular al eje del par gM se llama plano de sollicitación.

Cada una de estas rotaciones se estudiará por separado y sin atender á las traslaciones que las acompañan (44) por que como las deformaciones que se consideran en este tratado son sumamente pequeñas, no importa para el resultado final el orden con que se supongan verificadas.

47. Con las hipótesis que anteceden es fácil calcular la expresión variable del aumento ó disminución de distancia entre los puntos correspondientes de las secciones A y B , y la fuerza elástica elemental que resultará, prescindiendo de las acciones laterales (3), cuya influencia no es bastante grande para que introduzca alteración sensible en los resultados.

Sean A, B (fig.^a 8.^a) las proyecciones de las dos capas materiales inmediatas en el plano de la flexión; G y g las de sus centros de gravedad, M y m las de dos moléculas correspondientes, y B' y m' las posiciones de la sección B y la molécula m después de la flexión sola al rededor del eje proyectado en g . Llamando

mando α al ángulo de flexión BgB' , y v , á la distancia mg desde la molécula m al eje de flexión, el producto αv , equivale al aumento ó disminución de distancia mm' , por ser siempre muy pequeño el ángulo α y la fuerza elástica elemental desmenuada por la separación ó aproximación de m hasta m' será (6)

$$E \frac{mm'}{Mm} \times dw,$$

siendo dw el área infinitamente pequeña que ocupa la molécula, y llamando x á la distancia primitiva Mm , esta expresión adquiere la forma

$$Ev, \frac{\alpha}{x} dw.$$

48. La fuerza elástica debida á la torsión tiene una expresión análoga. Sea B (fig.^a 9.^a) la sección en su posición primitiva, B' la misma en su posición final después del giro, y g el centro de gravedad, proyección del eje de rotación. Llamando θ al ángulo mgm' de la torsión y r á la distancia gm de la molécula m al centro, la variación de distancia mgm' será θr , y la fuerza elástica elemental tendrá la expresión (50)

$$Gr \frac{\theta}{x} dw.$$

49. Las ecuaciones de equilibrio entre los pares dados y los que resulten de la composición de las fuerzas elásticas debidas al giro de las secciones toman su forma mas sencilla cuando se eligen para ejes de coordenadas los tres ejes principales de inercia de la sección que pasan por el origen escogido. Sean g_u, g_v (figura 50) los que corresponden al plano de la sección, quedando el tercero, que siempre es perpendicular a estos, proyectado en g ; sea U el plano de sollicitación, o sea el plano del par M , que se ha de equilibrar con las fuerzas elásticas perpendiculares al de la sección; al par que el par N , cuyo plano es paralelo a este, se ha de equilibrar por las fuerzas debidas a la desviación lateral. llamando u, v a las coordenadas g_p, g_m de un punto m cualquiera, y r a la distancia gm , los momentos de las fuerzas elementales que corresponden a la molécula m serán

$E d\omega \times \frac{v}{z} \times v, E d\omega \frac{u}{z} \times u, G d\omega \times \frac{r\theta}{z} \times r$; pero representando por Ψ el ángulo ug , que forma el eje de flexión con el eje principal de inercia inmediato, se tendrá

51. $m_p = m_p \cos \Psi + p g \sin \Psi$ o sea $v_y = v \cos \Psi + u \sin \Psi$, por ser m_p perpendicular a g . Sustituyendo esta expresión en las anteriores, se convierten estas en las siguientes

$$E d\omega \frac{\alpha}{z} (v^2 \cos \Psi + u v \sin \Psi), E d\omega \frac{\alpha}{z} (u^2 \sin \Psi + u v \cos \Psi), G d\omega \frac{\theta}{z} r^2.$$

La distancia z difiere infinitamente poco de ser constante en toda la extensión de las dos capas A y B , aunque el eje del sólido sea curvo, por lo que la suma de estos momentos, extendida a toda la superficie de la sección será

$$E \frac{\alpha}{z} [\cos \Psi \int v^2 d\omega + \sin \Psi \int u v d\omega], E \frac{\alpha}{z} [\sin \Psi \int u^2 d\omega + \cos \Psi \int u v d\omega], G \frac{\theta}{z} \int r^2 d\omega.$$

Designando por I, I' y K los momentos de inercia de la masa de la sección al rededor respectivamente de los ejes g_u, g_v y el perpendicular a ambos, se tendrá, por ser estos los principales

$$I = \int v^2 d\omega, I' = \int u^2 d\omega, K = \int r^2 d\omega, \int u v d\omega = 0,$$

y los momentos totales de las fuerzas elásticas se reducen a

$$E I \frac{\alpha}{z} \cos \Psi, E I' \frac{\alpha}{z} \sin \Psi, G K \frac{\theta}{z}.$$

50. El par M se puede descomponer en dos,

cuyos planos sean respectivamente perpendiculares a' gu y gv , sus intensidades serán, llamando α al ángulo $\angle g^v$, $M \cos \alpha$ y $M \sin \alpha$, y las tres ecuaciones de equilibrio de rotación toman la forma

$$M \cos \alpha = EI \frac{\alpha}{z} \cos \Psi, \quad M \sin \alpha = EI \frac{\alpha}{z} \sin \Psi, \quad N = GK \frac{\theta}{z}$$

Las dos primeras ecuaciones determinan la posición del eje de flexión por medio del ángulo Ψ y la magnitud de esta por medio del ángulo α : la última da la magnitud de la torsión. Dividiendo la segunda por la primera resulta

$$\text{tang. } \Psi = \frac{I}{I'} \text{ tang. } \alpha,$$

lo que indica que el eje de flexión cd y la traza U' del plano de sollicitación son dos diámetros conjugados de la elipse central de los momentos de inercia, cuyos ejes son $\frac{I}{\sqrt{I}}$ y $\frac{I'}{\sqrt{I'}}$, por lo que esa ecuación se puede poner bajo la forma

$$u \text{ tang. } ugd \times \infty \text{ tang. } ugt = \frac{\left(\frac{I}{\sqrt{I}}\right)^2}{\left(\frac{I'}{\sqrt{I'}}\right)^2}$$

51 Ordinariamente el plano del par que sollicita a' la flexión es perpendicular a' uno de los ejes principales, y entonces se confunden un

y otro con los de la flexión, por que siendo $\alpha = 0$ resulta $\Psi = 0$. En tal caso se anula la segunda ecuación, y el equilibrio de rotación queda expresado por las fórmulas

$$M = EI \frac{\alpha}{z} \quad (3), \quad N = GK \frac{\theta}{z} \quad (4)$$

Las cantidades EI y GK que son la medida de la relación entre los pares M y N , y los ángulos de deformación α y θ , se llaman respectivamente momento de flexión y momento de torsión, y se designan con las letras ϵ y χ , tomando las ecuaciones anteriores la forma

$$M = \frac{\epsilon \alpha}{z} \quad (5), \quad N = \frac{\chi \theta}{z} \quad (6)$$

Momentos de inercia.

52. La importancia de los momentos de inercia en esta teoría hace conveniente detenerse en dar las expresiones de los de las figuras mas usuales en la aplicación. Antes se observará que siendo (49)

$$r^2 = x^2 + y^2$$

se deberá tener

$$K = I + I'$$

53. Rectángulo. En un rectángulo (figura 32) cuyos lados sean $AB=b$, $AC=c$, resulta

$$\int_0^w u^2 du = \int_{-\frac{1}{2}b}^{+\frac{1}{2}b} du \int_{-\frac{1}{2}c}^{+\frac{1}{2}c} v^2 dv; \int_0^w v^2 dv = \int_{-\frac{1}{2}c}^{+\frac{1}{2}c} dv \int_{-\frac{1}{2}b}^{+\frac{1}{2}b} u^2 du,$$

$$I = \frac{bc^3}{12}; \quad I' = \frac{b^3c}{12};$$

de cuyas expresiones se deduce que la mayor resistencia de un rectángulo a doblarse es cuando el plano de sollicitación es paralelo al lado mayor.

Si el eje de flexión hubiere de ser el lado CD , el momento de inercia sería el que correspondiera á gu aumentado del área del rectángulo multiplicada por el cuadrado de la distancia entre los dos ejes, cuya suma es

$$I = \frac{bc^3}{12} + bc \times \left(\frac{1}{2}c\right)^2 = \frac{bc^3}{3}.$$

Para el cuadrado se tiene, haciendo $b=c$

$$I = I' = \frac{b^4}{12},$$

y lo mismo cualquiera que sea la dirección de los ejes respecto de los lados, por que en todo polígono regular, todos los diámetros son ejes principales de inercia.

54. Triángulo isóceles. En un triángulo cuya base es $BC=2b$ y cuya altura es

$AD=c$ (fig.^a 32), los momentos de inercia se hallan mas fácilmente trasladando el origen de coordenadas al punto A . Entonces se tiene

$$\int_0^w u^2 du = \int_0^c dv \int_{-\frac{bv}{c}}^{+\frac{bv}{c}} u^2 du = \frac{b^3c}{6}, \int_0^w v^2 dv = 2 \int_0^{\frac{c}{b}} dv \int_{-\frac{bv}{c}}^{+\frac{bv}{c}} v^2 dv = \frac{bc^3}{2},$$

de donde se deduce

$$I = \frac{bc^3}{2} - bc \times \left(\frac{2}{3}c\right)^2 = \frac{bc^3}{3}, \quad I' = \frac{b^3c}{6}.$$

Si el triángulo es equilátero, haciendo $c=b\sqrt{3}$, resulta

$$I = I' = \frac{b^4}{2\sqrt{3}}$$

55. Rombo. Esta figura se puede considerar como compuesta de dos triángulos BCD , BAD (fig.^a 33) puestos por su base, para el momento I , y de los otros dos ABC , ADC para el I' , por lo cual dichos momentos son el doble del calculado arriba, resultando

$$I = \frac{bc^3}{3}, \quad I' = \frac{b^3c}{3},$$

en cuyas fórmulas b y c son las semidiagonales.

56. Círculo. Llamando r á la distancia de cada punto m (fig.^a 34) al centro, r al radio de la circunferencia exterior, y α al ángulo que forma el radio gm con el eje gu , el momento de inercia respecto del eje pro-

queado en g será

$$\int_0^{w,2} r' dw = \int_0^{\pi} r'^3 dr' \int_0^{2\pi} d\alpha,$$

de donde resulta

$$K = \frac{\pi r'^4}{2}.$$

(Como en el círculo I es igual a I' , ha-
bra' de ser (52)

$$K = 2I \quad \text{o sea} \quad I = \frac{1}{2} K$$

y por consiguiente

$$I = \frac{\pi r'^4}{4}.$$

57. Elipse. Los momentos de inercia de
una elipse, cuyos semi-ejes son $gA=a$, $gB=b$
(fig.^a 5) son

$$I = \int_{-a}^{+a} du \int_{-\frac{b}{a}\sqrt{a^2-u^2}}^{+\frac{b}{a}\sqrt{a^2-u^2}} v^2 dv, \quad I' = \int_{-b}^{+b} dv \int_{-\frac{a}{b}\sqrt{b^2-v^2}}^{+\frac{a}{b}\sqrt{b^2-v^2}} u^2 du,$$

en los que efectuando la primera integra-
cion resulta

$$I = \frac{b^3}{a^2} \int_{-a}^{+a} du x \frac{2}{3} (a^2 - u^2)^{\frac{3}{2}}, \quad I' = \frac{a^3}{b^2} \int_{-b}^{+b} dv x \frac{2}{3} (b^2 - v^2)^{\frac{3}{2}};$$

pero el factor integral es el momento de iner-
cia de un círculo, cuyo radio es respectivamen-
te a o b , y equivale (56) a

$$\frac{\pi a^4}{4} \quad \text{o} \quad \frac{\pi b^4}{4}$$

de lo que resulta

$$I = \frac{\pi a b^3}{4}, \quad I' = \frac{\pi a^3 b}{4}.$$

58. Los momentos de inercia de las figu-
ras compuestas de otras se hallan sumando

los de cada una en particular respecto del eje
que pasa por el centro común de gravedad. Así,
los momentos de inercia de un tubo rectangular;

(fig.^a 36) en que $AB=b$, $Bc=c$, $ab=b'$, $bc=c'$ son

$$I = \frac{bc^3 - b'c'^3}{12}, \quad I' = \frac{cb^3 - c'b'^3}{12},$$

si el tubo es cuadrado

$$I = I' = \frac{b^4 - b'^4}{12}$$

y si es circular

$$I = I' = \frac{\pi (r^4 - r'^4)}{4}$$

siendo r y r' los radios interior y exterior.

En una figura de doble I' (fig.^a 37) en
que $AB=b$, $BD=c$, $bf=ae=\frac{s}{2}b'$, $ch=c'$ el
momento I es el mismo que el del tubo (fig.^a

36) siempre que $Bb=dD$: si la pieza está re-
forzada (fig.^a 38) su momento es

$$I = \frac{ab^3 - a'b'^3 - a''b''^3 - a'''b'''^3}{12}$$

Una cruz (fig.^a 39) tiene por momento
la suma de los de ambos brazos menos el del
cuadrado central, cuya expresión es

$$I = I' = \frac{bc^3 - cb^3 - c^4}{12}$$

59. Cuando el espesor de los dos brazos pa-
ralelos de las formas anteriores es distinto, el
momento no es el mismo, por que el centro de
gravedad no es común a todas las figuras que

componen la total.

Sean C y C' (fig.^a 20) los centros de los dos rectángulos $ABED$, $abcd$, y sea d la distancia CC' . El centro de gravedad G se hallará a una distancia x de C dada por la ecuación de momentos

$$bcx - b'c'(x+d) = 0,$$

de donde se deduce

$$x = \frac{b'cd}{bc - b'c'}.$$

El momento total de inercia es igual a la diferencia de los de ambos rectángulos respecto del eje Gu . El del $ABED$ es

$$\frac{bc^3}{12} + bcx^2,$$

el del $abcd$ es

$$\frac{b'c'^3}{12} + b'c'(x+d)^2,$$

de lo cual resulta, sustituyendo el valor de x

$$I = \frac{bc^3 - b'c'^3}{12} - \frac{bc b'c' d^2}{bc - b'c'}.$$

El mismo resultado se obtiene para la figura 21, compuesta de dos mitades iguales a las de la figura 20.

Sección 4.^a

De la flexión.

60. La dificultad que ofrece el exámen de los movimientos de traslación y rotación que se han estudiado en la lección que precede, cuando se verifican a un mismo tiempo, y la circunstancia favorable de que este caso ocurra raras veces en las aplicaciones a la construcción, son causa de que se haga por separado el estudio de cada una de las dos rotaciones de flexión y de torsión, lo mismo que en la lección 5.^a se había hecho con las dos traslaciones principales; y se estudiará mas detenidamente la flexión, por que es el movimiento que ofrece mas variedad y mayor número de aplicaciones.

61. Sean A, B, C, D (fig.^a 22) las secciones inmediatas de un sólido empotrado o fijo por toda la sección A , y cuyo eje, normal a todas ellas, pasa por los centros de gravedad respectivos a, b, c, d . En un punto cualquiera del cuerpo

sobra una fuerza F , cuyo momento respecto de un centro de gravedad cualquiera se representará por M , siendo imposible la torsión, por que se supone que el plano del par que resulta es perpendicular al de la sección respectiva, o sea que $N=0$. Como el sólido dado es un sistema de figura variable, el equilibrio total debe resultar del equilibrio de cada una de las secciones en particular entre las fuerzas interiores y las exteriores. Para que en la sección D se equilibre el par que resulta de la traslación de la fuerza F al punto a , ha de girar hasta una posición D' en la que la resultante de las dilataciones de la parte superior $a'c$ y la de las contracciones de la parte inferior formen un par equivalente y opuesto; después de lo cual el sistema $CcdD'$ formado por las dos secciones C y D' se puede mirar como si fuera enteramente rígido y capaz de transmitir a la sección C el efecto de la fuerza F . Entonces esta sección tiene que tomar la posición C' para que las fuerzas elásticas que provienen de las moléculas de B se equilibren con el par que resulta de trasladar

la fuerza dicha al punto c , y por este y nuevo giro, la sección D' tendrá que pasar a D'' , conservándose iguales las figuras $CcdD'$ y $C'c'd'D''$. Del mismo modo se ejercerá la acción de la fuerza sobre la sección B ; trasladándola a B' , y la figura $BcdD''$ a $B'c'd'D'''$, con lo que quedará convertida la curva $abcd$ en la $a'b'c'd'$. La línea que pasa por los centros de gravedad de las secciones de un sólido después de doblado se llama la elástica, y para que la elástica sea plana, es menester que también lo sea la curva primitiva del eje, y que los ejes de flexión sean perpendiculares a su plano.

62. La cantidad de la flexión que ocasiona una fuerza en cada punto de un sólido se mide por el ángulo $DdD' = \alpha$ (57), que por ser la figura $CcdD'$ igual a $C'c'd'D''$, (61) equivale a $c'c'd'' - cod$. llamando α' y α a los ángulos que forma cada plano normal a un mismo punto de la curva antes y después de la flexión con un plano fijo A , el ángulo cod de dos secciones consecutivas estará representado por el incremento diferencial $d\alpha$, el án-

gulo $c'o'd''$ por $d\alpha'$, y llamando s el arco de curva comprendido entre cada punto y un origen fijo a , se representará la distancia $cd = c'd''$ por ds , con lo cual se tendrá $\alpha = d\alpha' - d\alpha$, $x = ds$ y $\frac{\alpha}{x} = \frac{d\alpha' - d\alpha}{ds}$, tomando la ecuación de equilibrio (5) la forma

$$M = E \frac{d\alpha' - d\alpha}{ds} \dots \dots \dots (7).$$

Pero si se representan por ρ_s y ρ los radios de curvatura de las curvas $abcd$ y $ab'c'd''$ en los puntos c y c' por ser los planos C y D , C' y D'' normales a las curvas de los ejes, se tendrá

$$d\alpha = \frac{ds}{\rho_s}, \quad d\alpha' = \frac{ds}{\rho},$$

y por consiguiente

$$M = E \left(\frac{1}{\rho} - \frac{1}{\rho_s} \right) \dots \dots \dots (8)$$

63. Las variaciones de distancia que se producen entre las moléculas por la flexión, no han de pasar de las que corresponden al límite de la elasticidad, si los cuerpos que equilibran doblandose las fuerzas exteriores han de permanecer sin alteración en sus propiedades, resistiendo a su acción de una manera permanente sin rasgarse ni aplastarse

por ninguna de sus caras. Siendo α el ángulo $B'gB$ de la flexión (fig.^a 8) y v la ordenada mg de un punto cualquiera m de la capa respecto del eje de giro, la dilatación o contracción relativa que corresponde a ese punto es

$$\frac{mm'}{Mm} = \frac{v\alpha}{x},$$

y la condición de resistencia suficiente en el punto m es (20)

$$\frac{v\alpha}{x} \leq \frac{1}{2} i',$$

o sacando de la ecuación (3) el valor de $\frac{\alpha}{x}$, y sustituyendo $\frac{R}{E}$ en lugar de $\frac{1}{2} i'$

$$\frac{vM}{EI} \leq \frac{R}{E}.$$

64. Representando por v' la ordenada del punto mas distante del eje de giro, o sea la mayor ordenada de la sección, la desigualdad que antecede se hallará verificada para todos los puntos de esta siempre que sea

$$\frac{v'M}{I} = \sigma' \leq R.$$

Poniendo esta ecuación bajo la forma usual

$$M = \frac{RI}{v'} \dots \dots \dots (9)$$

sirve para averiguar si una fuerza dada puede ser resistida en todas las secciones transversales

del cuerpo que tiende a doblar. El segundo miembro $\frac{R I}{V'}$ recibe el nombre de momento de rotura de la sección, y se representa por τ .

65. Si además de la flexión, hay un movimiento común de dilatación o contracción $g g'$ (fig. 22) ocasionada por una componente Q paralela al eje, todos los puntos de la sección B tienen una variación relativa común (6) $\frac{Q}{E c o}$ y la variación total $m m''$ es

$$m m' \pm m m'' = \frac{Q}{E c o} + \frac{v M}{E I},$$

poniendo a v con su signo. La mayor dilatación o contracción relativa ha de ser menor que $\frac{R}{E}$, cuya condición es en este caso

$$R = o > \frac{Q}{c o} + \frac{v M}{I} \dots \dots (10)$$

66. La determinación de la resistencia es la parte mas importante de los problemas que van a seguir. La suposición de que la sección B (figura 24) gira hasta la posición B' conservándose plana (45) en lugar de alabearse algo como en la realidad suele suceder, no puede tener una influencia grande ni desfavorable, por que la verdadera figura que toma la sección, es una

superficie curva semejante a $c g d$, con lo cual las variaciones de distancia de los puntos son un poco menores de lo que se supone, y por consiguiente la resistencia efectiva que resulta de las fórmulas (9) y (10) es un poco mayor que la que se pide o se necesita.

67. La línea que une los puntos que no tienen aumento ni disminución de distancia se llama el eje de fibras invariables. Cuando no hay ninguna fuerza paralela al eje del sólido, esta línea es la curva de los centros de gravedad, como esta representada en la figura 22; pero si hay fuerzas de tracción o presión, dicha línea se traslada a un punto o (fig. 23) cuya distancia al eje g es mayor cuanto mas grande es la tracción o presión comparada con la flexión. Aunque de varias observaciones imperfectas se ha pretendido deducir que la línea de fibras invariables o eje neutro no se halla donde la teoría indica, los muy delicados experimentos hechos hace dos años por W. H. Barlow no dejan la menor duda acerca de la exactitud de las indicaciones que preceden.

Momentos de rotura.

68. Los momentos de rotura de cada figura se hallan dividiendo el momento de inercia I por la mayor ordenada del contorno, y multiplicando por la resistencia específica R a la estension o a la compresion, segun que esta mayor ordenada sea de la parte convexa o de la parte concava del sólido doblado.

69. Rectángulo. En el rectángulo (figura 33) doblado por el eje gu , (53)

$$I = \frac{bc^3}{12}, v' = \frac{c}{2}, \text{ y por consiguiente } \tau = R \frac{bc^2}{6}.$$

Si los lados son iguales, se tiene

$$\tau = R \frac{b^3}{6},$$

pero si el eje de flexion es la diagonal

$$\tau = \frac{Rb^3}{6\sqrt{2}};$$

de modo que el cuadrado, doblado en sentido de los lados, resiste mas que en el de las diagonales en la relacion de $\sqrt{2}:1$.

70. Rombo. El momento del rombo doblado por una de las diagonales es (55)

$$\tau = R \frac{bc^2}{3}.$$

71. Triángulo. Cuando está doblado por el eje de figura, el momento de rotura es

$$\tau = R \frac{cb^2}{6}$$

y cuando por la paralela a la base,

$$v' = \frac{2}{3} c, \quad \text{y} \quad \tau = R \frac{bc^2}{12}$$

en la parte correspondiente al vértice y

$$v' = \frac{1}{3} c, \quad \text{y} \quad \tau = R \frac{bc^2}{6}$$

en la correspondiente a la base.

72. Elipse. Doblada por el eje menor tiene por momento (57)

$$\tau = R \frac{\pi a^2 b}{4}$$

y el círculo (56)

$$\tau = R \frac{\pi r^3}{4}$$

73. En los tubos y T dobles se tiene

$$\tau = R \frac{bc^2 - b'c'^2}{6c},$$

pero si los dos lados paralelos no son iguales, habrá que dividir el momento de inercia por la distancia del eje de flexion al contorno de la figura, que es la suma o la diferencia entre la mitad del lado c y la distancia x desde el centro de gravedad del rectángulo exterior al de la figura total o sea $v' = \frac{c}{2} \pm \frac{b'cd}{bc - b'c'}$.

74. En los tubos de hierro en que los lados superiores están muy distantes (fig. 225) y

los verticales ad , bc son tan delgadas que se pueda despreciar su resistencia en la del conjunto, se puede tomar por momento de inercia de cada lado horizontal el producto de su área por el cuadrado de la distancia al eje gu , porque el cubo de su espesor es despreciable.

llamando A y A' a las áreas de los lados ab y cd , b y b' a las distancias be y ce , y d a la altura total bc , el momento de inercia aproximado será

$$I = Ab^2 + A'b'^2$$

y el de rotura

$$\tau = R \frac{Ab^2 + A'b'^2}{b}$$

pero por ser g el centro de gravedad se verifica que $Ab = A'b'$, luego

$$\tau = R \frac{Ab^2 + Ab^2}{b} = RA(b+b')$$

o sea

$$\tau = RA d.$$

75. El momento de un tubo circular, cuyos radios son r y r' , es

$$I = R \frac{\pi (r^4 - r'^4)}{4r}$$

76. Los momentos de rotura sirven para comparar la resistencia de una sección de cierta figura en sus diferentes posiciones, y las de dos

figuras distintas.

Una sección rectangular deberá colocarse siempre de modo que el lado mayor sea paralelo al plano de la flexión, y de dos rectángulos de una misma área bc , tendrá más resistencia el que tenga mayor el lado c . Sin embargo, la relación de c a b no debe pasar de cierto límite, para que el sólido tenga estabilidad en los apoyos y le quede área suficiente para resistir a la derivación lateral. Lo mismo debe decirse de las secciones elípticas.

77. Un tubo rectangular o circular o una doble I tienen más resistencia y estabilidad que un prisma o cilindro macizo, con la misma o menos área, y tienen tanta más resistencia cuanto más dista del centro la corona sólida, lo cual se deduce fácilmente de las fórmulas de los números 63 y 73. Sean B y C los lados del rectángulo macizo, A su área y I su momento de rotura, y b , c , b' , c' los lados del tubo, a su área y τ su momento de rotura. Los momentos respectivos serán

$T = R \frac{Ac}{6}$, $\tau = R a \frac{bc^2 - b'c'^2}{6c(bc - b'c')}$,
y su relación, suponiendo que las áreas A
y a sean iguales
$$\frac{T}{\tau} = \frac{(bc - b'c')c}{bc^2 - b'c'^2} = \frac{bc - b'c'}{bc - b'c' \frac{c^2}{b^2}} \times \frac{c}{c},$$

fórmula en la cual el denominador es ma-
yor que el numerador, siempre que c no sea
mayor que c , que es lo que tiene que suceder
para que las piezas tengan buenas propor-
ciones, con arreglo a lo que se acaba de des-
cir (76)

78. De todos los rectángulos inscritos en
un mismo círculo, tiene mayor resistencia
aquel, cuyos lados guardan la relación
 $1 : \sqrt{2}$. En efecto, tomando por unidad el
diámetro del círculo, los lados han de sati-
sfacer a la relación

$$b^2 + c^2 = 1$$

y el momento de rotura toma la forma

$$\tau = \frac{R}{6} (b - b^3)$$

cuyo máximo se verifica para $b = \sqrt{\frac{2}{3}}$, de lo
cual se deduce $c = \sqrt{\frac{2}{3}}$ y $\frac{b}{c} = \sqrt{\frac{2}{2}}$. Toman-
do $BC = \frac{1}{3}$, AB (fig.^a 26) y levantando
la perpendicular CD , los lados AD y DB
tienen entre sí dicha relación.

79. Las figuras regulares tienen el
mismo momento de flexión en todos sen-
tidos, pero excepto el círculo, todas tienen
el momento de rotura diferente, por que
el valor de v' es variable en cada dirección.
Estas figuras ofrecen la mayor resistencia
cuando el eje de flexión está lo mas próxi-
mo que pueda al perímetro, por que siendo
constante el numerador de la expresión
 $\frac{R.I}{v'^3}$, es entonces cuando es mas pequeño
el denominador. Conviene por esto que
los ejes de rotación que han de sostener gran-
des pesos tengan pocas partes salientes,
por que el gran valor que puede tener en
ellas v' es causa de que el momento de ro-
tura sea muy pequeño cuando la flexión
se opera sobre un eje como el g (fig.^a
19)

80. En los ejemplos que siguen se halla
la resistencia de sólidos de diferentes figu-
ras solicitados diversamente por las fuer-
zas. En el mayor número de casos la
sección transversal del sólido es constante en
toda su extensión, y su eje puede ser recto o

curvo. Los sólidos de eje recto y sección constante, o sean los prismas elásticos, pueden ser perpendiculares, paralelos u oblicuos a la acción de las fuerzas, y tomando siempre por tipo de ellas la de la gravedad, se considerarán aquellos como horizontales, verticales o inclinados. En muchos casos se necesita conocer la flexión, dada por la ecuación (5) para conocer la resistencia, que se calcula por la ecuación (9), por cuyo motivo se entra en el estudio detenido de aquel fenómeno.

Lecciones 5.^a y 6.^a

Equilibrio y resistencia de los prismas horizontales.

23. Cuando el eje del sólido es una línea recta, su radio de curvatura es infinito, y la ecuación (8) de la elástica se reduce a

$$\frac{\varepsilon}{\rho} = M \dots \dots \dots (33)$$

Esta ecuación no es fácil de disjuntar en esta forma, y por eso se elimina el radio de curvatura ρ atendiendo a su valor general

$$\frac{1}{\rho} = \frac{\frac{d^2 y}{dx^2}}{\left[1 + \left(\frac{dy}{dx}\right)^2\right]^{\frac{3}{2}}},$$

cuyo valor, si se atiende a que el cuadrado de $\frac{dy}{dx}$ es muy pequeño comparado con la unidad, por que la flexión tiene que ser muy pequeña para que haya resistencia y seguridad suficiente en los prismas, se reduce a

$$\frac{1}{\rho} = \frac{d^2 y}{dx^2},$$

y la ecuación muy aproximada de la elástica será

$$\epsilon \frac{d^2 y}{dx^2} = M.$$

82. El caso mas sencillo, y al cual se reduce en todos los demas, es el de una pieza prismática representada por su eje AB (fig. 217) fija invariablemente o sea empotrada en su extremo A y sujeta por el otro a un peso P , y colocada de modo que el plano vertical que pasa por el eje sea perpendicular a un eje principal de inercia de las secciones transversales, para que la flexion se efectúe en ese mismo plano vertical. Este peso dobla al primer segun la curva AB' , cuya proyeccion horizontal difiere siempre tan poco de AB , que se considera como si fueran las dos líneas exactamente iguales. Para hallar su ecuación se tomarán como ejes de coordenadas las rectas AB y su perpendicular, y haciendo:

$AB = a$, $Ap = x$, $pm = y$,
el valor del momento M , para la sección que corresponde a un punto cualquiera m será el producto

$$P \times pB = P(a - x)$$

y la ecuación buscada es

$$\epsilon \frac{d^2 y}{dx^2} = P(a - x).$$

Integrando resulta

$$\epsilon \frac{dy}{dx} = P(ax - \frac{x^2}{2}) + c.$$

La constante c se determina por la condición general de todo empujamiento, y es que la dirección del eje es en aquel punto invariable: segun esto, para el punto A , en que $x = 0$, se habrá de verificar que $\frac{dy}{dx} = 0$, y la ecuación se reduce a

$$\epsilon \frac{dy}{dx} = P(ax - \frac{x^2}{2}).$$

Integrando de nuevo resulta

$$\epsilon y = P(\frac{1}{2} ax^2 - \frac{1}{6} x^3) + c.$$

Esta constante se determina por la condición de que el punto A está fijo, cualquiera que sea la dirección del eje, lo cual exige que para $x = 0$, $y = 0$, y queda para ecuación de la elástica

$$\epsilon y = P(\frac{1}{2} ax^2 - \frac{1}{6} x^3).$$

La mayor inclinación y el mayor descenso a la flecha de la elástica corresponde al punto B' y se encuentran haciendo $x = a$ en las dos últimas ecuaciones; y llamando α a su inclinación y f a la flecha resulta

$$\text{tang. } \alpha = \frac{P}{\epsilon} \frac{a^2}{2}.$$

$$f = \frac{P}{\epsilon} \frac{a^3}{3}.$$

23. Para obtener con toda exactitud la posición de todos los puntos de la curva AB , es preciso añadir a la ordenada y de cada punto m la cantidad que habrá hecho bajar a la sección dada al sólido por este punto la fuerza P trasladada paralelamente a sí misma al centro de gravedad de dicha sección, por causa de la derivación lateral. La magnitud absoluta que corresponde al punto m , en que la longitud de la parte Am de prima solidificada es x , tiene por expresión (50)

$$\frac{Px}{Gw},$$

y entonces, el valor verdadero de la ordenada deberá ser

$$y = Px \left[\frac{1}{Gw} + \frac{1}{\epsilon} \left(\frac{1}{2} ax - \frac{1}{6} x^2 \right) \right],$$

y haciendo $x = a$ se obtiene la flecha del punto B

$$f = Pa \left[\frac{1}{Gw} + \frac{a^2}{3\epsilon} \right].$$

Más estos resultados demuestran que es inútil tener en cuenta esta derivación, por que la pequeñez de sus efectos comparados con los de la flexión es tan grande, que complica las fórmulas sin que sea sensible la aproximación que produce. En efecto, la relación del

primer término al segundo, en el valor de la flecha, es

$$\frac{3EI}{Ga^3w},$$

que es una viga de madera de 4 metros de longitud, 16 centímetros de ancho y 25 de alto equivale a $\frac{1}{110}$. El mayor peso que puede soportar permanentemente la sección de esta viga, que es de 250 kilogramos, solo produciría una flecha de 25,66 milímetros, de la cual solo 0,06 milímetros corresponden a la derivación lateral.

24. Por esto no se tiene en cuenta más que la acción del par en el cálculo de la resistencia. Para que esta sea suficiente es preciso que en todas las secciones del sólido se verifique

$$M = 0' < \frac{RI}{\gamma},$$

y como la sección es constante por suponerse el sólido prismático, el segundo miembro es constante, por lo cual la condición anterior quedará satisfecha para todos los puntos si lo está para aquel en que M sea su máximo. Este momento tiene su mayor valor en el punto A , en que $x = 0$, y $M = Pa$, y la condición buscada es

$$Pa = \frac{RI}{V'}.$$

Esta es la fórmula que se ha de aplicar para saber las dimensiones que ha de tener un prisma cargado con cierto peso, o el peso que puede sostener un cuerpo de dimensiones conocidas.

Ejemplos.

Se quiere saber qué carga puede sostener en su extremidad una viga de madera de 4 metros de longitud, 0.^m36 de base y 0.^m25 de altura; empotrada en la otra extremidad. La fórmula anterior da

$$P = \frac{0,6 \times 360 \times 250 \times 250}{6 \times 4000} = 250 \text{ kilogramos.}$$

Se quiere saber qué diámetro ha de tener una barra cilíndrica de hierro forjado de 2 metros de longitud; empotrada en una extremidad, para sostener por la otra un peso de 600 kilogramos. La fórmula a-

$$r^3 = \frac{4 \times 600 \times 2000}{3,14 \times 6} = 256777, \text{ y } r = 0.^m663.$$

35. Los puntos en que el momento M se acerca mas al valor del momento de rotura se llaman los puntos de rotura; y la sección que corresponde a uno de ellos se llama sección petigrasa. En los sólidos prismáticos

el momento tiene su valor máximo en el punto de rotura, que es el de empotramiento; y en ellos afecta la elástica su mayor curvatura; porque el radio ρ es el mas pequeño, segun lo hace ver la ecuación (35).

36. Cuando los pesos están repartidos de una manera continua en la extensión del prisma AB (fig. 28) el momento de todas las fuerzas que hay en la longitud mB' respecto del punto m se halla sumando los de las fuerzas elementales que corresponden a las longitudes infinitamente pequeñas, como nn' . Llamando p al peso por unidad de longitud de la abscisa que obra en el punto n , y x' a la abscisa de este punto; y en general de un punto cualquiera comprendido entre B , cuya abscisa es a , y m , cuya abscisa es x , la fuerza elemental que carga sobre nn' es pdx' , su momento respecto del punto m es

$$pdx' \times pq = pdx'(x' - x),$$

y el momento de todo el peso que carga sobre mB' es

$$M = \int_x^a p dx'(x' - x).$$

Cuando la carga está uniformemente repartida en toda la longitud AB , p es una cantidad constante, y la integral anterior se reduce a: -

$$M = \frac{1}{2} p (a-x)^2$$

(En este caso, la ecuación de la elástica y sus integrales son

$$\begin{cases} \epsilon \frac{d^2 y}{dx^2} = \frac{1}{2} p (a-x)^2 \\ \epsilon \frac{dy}{dx} = p \left(\frac{1}{2} a^2 x - \frac{1}{2} a x^2 + \frac{1}{6} x^3 \right) \\ \epsilon y = p \left(\frac{1}{4} a^2 x^2 - \frac{1}{6} a x^3 + \frac{1}{24} x^4 \right), \end{cases}$$

de las que se deduce

$$\tan \alpha = \frac{p}{\epsilon} \cdot \frac{a^3}{6}$$

$$f = \frac{p}{\epsilon} \cdot \frac{a^4}{8},$$

con lo que se ve que la carga repartida en la longitud, encorva á las piezas mucho menos que si se reúne en la estremidad.

27. El punto de rotura es el extremo fijo A , en que el momento es el mayor y la ecuación de la resistencia

$$\frac{1}{2} p a^2 = \frac{RI}{\gamma'}$$

hace ver que una misma pieza prismática es capaz de llevar doble peso repartido uniformemente que reunido en su estremidad.

Estas ecuaciones pueden servir para

tener en cuenta el efecto del peso propio de los sólidos, cuando son muy grandes. Si el sólido AB (fig.^a 27) estuviere cargado de pesos repartidos uniformemente, además del peso P , la ecuación de equilibrio sería

$$\epsilon \frac{d^2 y}{dx^2} = P(a-x) + \frac{1}{2} p (a-x)^2,$$

y la de resistencia

$$Pa + \frac{1}{2} p a^2 = \frac{RI}{\gamma'},$$

que son el resultado de sumar las de los dos casos anteriores.

88. Cuando un sólido está sujeto á la acción de varias fuerzas en diferentes puntos de su longitud, se considera dividido en varios sólidos considerando como uno diferente á cada parte que queda comprendida entre dos puntos de aplicación).

Las condiciones que determinan las dos constantes que resultan de la integración de cada parte, son, que en la unión con la que le antecede ó le sigue haya coincidencia, lo que se verifica si tienen común la ordenada, y haya también continuidad, para lo que han de tener la tangente común en esos puntos. Cada parte tendrá un punto particular de rotura, pero la pieza no tendrá en general mas que uno, que será

aquel ^{en} que entre todos tenga mayor momento las fuerzas exteriores. Sea AB (fig.^a 29) por ejemplo, una pieza prismática empotrada en A , solicitada en B por un peso P y en C por una fuerza Q paralela á esta, pero dirigida en sentido contrario. Si después de establecido el equilibrio se supone rígida la parte AC , el estado mecánico de la parte CB no habrá variado y se podrá considerar como una pieza recta empotrada en C y solicitada en B por el peso P , cuya ecuación de equilibrio es, llamando a á la distancia Ab

$$E \frac{d^2 y}{dx^2} = P(a-x),$$

en la que se deduce para la parte CB

$$\begin{cases} E \frac{dy}{dx} = P(ax - \frac{1}{2}x^2) + C \\ E y = P(\frac{1}{2}ax^2 - \frac{1}{6}x^3) + (x + D), \end{cases}$$

siendo C y D constantes arbitrarias.

Si ahora ^{no} se supone rígida é inalterable solo la parte CB , el estado de la AC se habrá variado, y se podrá calcular como una pieza recta sujeta á una fuerza P en su extremidad y á otra Q en el punto C ; si la abscisa Ac se representará por a' : las ecuaciones de la elástica son entonces para la parte

AC

$$\begin{cases} E \frac{d^2 y}{dx^2} = P(a-x) - Q(a'-x) \\ E \frac{dy}{dx} = P(ax - \frac{1}{2}x^2) - Q(ax' - \frac{1}{2}x'^2) + C' \\ E y = P(\frac{1}{2}ax^2 - \frac{1}{6}x^3) - Q(\frac{1}{2}a'x^2 - \frac{1}{6}x'^3) + Cx + D'. \end{cases}$$

Las cuatro constantes que hay en estas ecuaciones se determinan por las cuatro condiciones de que en el punto A , la ordenada y la inclinación de la tangente sean cero, y que en el punto C , una y otra sean comunes á AC y CB . Estas condiciones dan el resultado siguiente:

$$C' = 0, D' = 0, C = -\frac{1}{2}Qa'^2, D = \frac{1}{6}Qa'^3$$

La sección peligrosa de la parte CB está en el punto C en que la ecuación de la resistencia es

$$P(a-a') = \frac{RI}{V},$$

y la de la parte AC está en el punto A en que dicha ecuación es

$$Pa - Qa' = \frac{RI}{V},$$

y el de mas fácil rotura de toda la pieza será el uno ó el otro, según que sea P mayor ó menor que Q .

89. En el caso particular en que $P=Q$, la parte AC se encorva en arco de círculo, por que

siendo constante el momento respecto de cualquier punto, por que las dos fuerzas forman un par, el radio de curvatura es constante, como lo demuestra la ecuación (35). La rotura es entonces indiferente en cualquier punto de la extensión AC .

30. Cuando las piezas están apoyadas en alguno de sus puntos, se consideran como si estuviesen enteramente libres y sujetas a la acción de fuerzas equivalentes a las reacciones de los apoyos. Estas reacciones se determinan por las reglas de Estática, y cuando no son suficientes se completan con las condiciones que resultan de la continuidad de las piezas en los puntos apoyados. El primer caso no se verifica mas que cuando la pieza está simplemente apoyada por dos puntos.

31. Ejemplo de esto es la pieza AB (fig.^a 30) apoyada en los dos puntos A y B y solicitada por el peso $2P$ en un punto C y por una carga repartida uniformemente en cierta extensión MX . Siendo E el punto medio de AB y O el de MX , y haciendo

$$Ec = d, Ec' = d', AB = 2a, MX = 2a'$$

las presiones del prisma sobre los apoyos, iguales y contrarias a las reacciones de estos, se deducirán por las reglas de la composición de las fuerzas paralelas, y son

$$Q = \frac{P(a-d) + pa'(a-d')}{a}, \quad Q' = \frac{P(a+d) + pa'(a+d')}{a},$$

cuyas fuerzas se pueden suponer aplicadas a los puntos A y B , suprimiendo los apoyos.

Este prisma se puede considerar como puesto de cuatro partes, BM , MC , CN y NB . Colocando en C el origen de coordenadas, las ecuaciones de la parte BM se obtendrán considerando la empotrada en M y sujeta en B a la fuerza Q' , y serán

$$\begin{cases} \varepsilon \frac{d^2 y}{dx^2} = Q(a-d-x) \\ \varepsilon \frac{dy}{dx} = Q'[(a-d)x - \frac{1}{2}x^2] + C \\ \varepsilon y = Q'[\frac{1}{2}(a-d)x^2 - \frac{1}{6}x^3] + Cx + D. \end{cases}$$

Las ecuaciones de la parte CM , empotrada en C , solicitada de arriba abajo por los pesos que sostiene, y de abajo arriba por la acción Q' , son

$$\begin{cases} \varepsilon \frac{d^2 y}{dx^2} = -\frac{1}{2}p(a'+d'-d-x)^2 + Q'(a-d-x) \\ \varepsilon \frac{dy}{dx} = -\frac{1}{2}p[(a'+d')x - (a'+d')x^2 + \frac{1}{3}x^3] + Q'[(a-d)x - \frac{1}{2}x^2] + C' \\ \varepsilon y = -\frac{1}{2}p[\frac{1}{2}(a'+d')x^2 - \frac{1}{3}(a'+d')x^3 + \frac{1}{12}x^4] + Q'[\frac{1}{2}(a-d)x^2 - \frac{1}{6}x^3] + C'x + D' \end{cases}$$

Las ecuaciones de la parte CN se obtie-

nesi. del mismo modo, y tomando ahora como positivas las abscisas desde C hacia A , son

$$\varepsilon \frac{d^2 y}{dx^2} = -\frac{p}{2} (a'd+d-x)^2 + Q(a+d-x)$$

$$\varepsilon \frac{dy}{dx} = -\frac{p}{2} [(a'd+d)x - (a'd+d)x^2 + \frac{1}{2}x^3] + Q[(a+d)x - \frac{1}{2}x^2] + C''$$

$$\varepsilon y = -\frac{p}{2} [\frac{1}{2}(a'd+d)x^2 - \frac{1}{6}(a'd+d)x^3 + \frac{1}{12}x^4] + Q[\frac{1}{2}(a+d)x^2 - \frac{1}{6}x^3] + C''x + D''$$

Y por fin, las ecuaciones de la parte NK , considerada como si estuviera empotrada en N y solicitada en A por la fuerza Q , son

$$\begin{cases} \varepsilon \frac{d^2 y}{dx^2} = Q(a+d-x) \\ \varepsilon \frac{dy}{dx} = Q[(a+d)x - \frac{1}{2}x^2] + C''' \\ \varepsilon y = Q[\frac{1}{2}(a+d)x^2 - \frac{1}{6}x^3] + C'''x + D''' \end{cases}$$

92. Las ocho constantes de estas ecuaciones se determinan por las condiciones siguientes:

- 1.^o Que los puntos A y B tengan igual ordenada, por que están a nivel;
- 2.^o que en el punto M la tangente de los dos trozos de curvas sea la misma;
- 3.^o que en este punto sea la misma la ordenada de ambos trozos CM y MB ;
- 4.^o que en el punto C sea una misma la tangente de las partes CA y CM , para lo cual han de dar resultados iguales y de distinto signo las ecuaciones respectivas cuando $x=0$;
- 5.^o que la curva CM pase por el origen

C ; 6.^o que la curva KN pase por el mismo punto; 7.^o que en el punto N sea común la tangente de las partes AN y NC ; y 8.^o que la ordenada de estas partes sea también la misma.

93. El punto de rotura está entre M y N y su posición depende del modo con que están distribuidos los pesos. La determinación de este punto y de las constantes de las ecuaciones anteriores es muy sencilla en algunos casos particulares. Si no hay peso distribuido en la longitud del sólido (fig.^a 31) p es igual a cero, y las cuatro ecuaciones anteriores se reducen a dos; el punto de rotura es el C en que está colocado el peso, y la resistencia del sólido está expresada por la ecuación

$$\tau = P \frac{a^2 d^2}{a}$$

la que hace ver que la posición mas desfavorable del peso es en el punto medio C de la pieza (fig.^a 32) en que la ecuación es

$$\tau = Pa.$$

94. Si el prisma sostiene solamente la carga repartida uniformemente en un espacio MN (fig.^a 33), $P=0$, y poniendo el

origen de coordenadas en el punto O medio de MN , d es igual a d' , y las ecuaciones anteriores toman la forma,

$$\text{para } NB \dots \epsilon \frac{d^2 y}{dx^2} = \frac{pa'}{a} (a+d)(a-d-x)$$

$$\text{para } ON \dots \epsilon \frac{d^2 y}{dx^2} = -\frac{1}{2} p (a'-x)^2 + p \frac{a'}{a} (a+d)(a-d-x)$$

$$\text{para } OM \dots \epsilon \frac{d^2 y}{dx^2} = -\frac{1}{2} p (a'-x)^2 + p \frac{a'}{a} (a-d)(a+d-x)$$

$$\text{para } MA \dots \epsilon \frac{d^2 y}{dx^2} = \frac{pa'}{a} (a-d)(a+d-x)$$

cuyas ecuaciones indican que el punto de rotura de la parte MB se halla en M , en que $x=a'$; el de la parte OM en O , en que $x=0$, el de NA en N en que $x=a'$, y el de ON en un punto C en que $x = \frac{a'd}{a}$, siendo este último el de toda la pieza, porque produce el máximo mayor de los cuatros. La ecuación de la resistencia será

$$\tau = pa' \left(a - \frac{1}{2} a' \right) \left(1 - \frac{d^2}{a^2} \right),$$

en la que se ve que la resistencia de la pieza será tanto mayor cuanto mas lejos del centro está la carga.

95. Si la carga se extiende sobre toda la longitud AB (fig.^a 34) do, y $a'=a$, y las ecuaciones anteriores se reducen a dos iguales, que pertenecen cada una a las mitades OA , OB del sólido, y son de la forma

$$\epsilon \frac{d^2 y}{dx^2} = -\frac{1}{2} p (a-x)^2 + pa(a-x) = \frac{1}{2} p (a^2 - x^2),$$

y el punto de rotura es el O , en el cual

$$\tau = \frac{1}{2} pa^2,$$

lo que dice que este sólido puede recibir doble carga repartida uniformemente, que concentrada en el punto medio (93).

96. Si el peso $2P$ estuviese colocado en el punto medio al mismo tiempo que la carga uniformemente repartida (fig.^a 35), la ecuación de equilibrio de cada parte CA ó CB sería la anterior, añadiéndole el momento de la reacción que corresponde por el peso $2P$ ó

$$\epsilon \frac{d^2 y}{dx^2} = \frac{1}{2} p (a^2 - x^2) + P(a-x),$$

y el momento de rotura será

$$\tau = Pa + \frac{1}{2} pa^2,$$

por que la sección peligrosa está en el punto medio.

97. Un sólido prismático (fig.^a 36) cargado desde el punto M al N con pesos que varían proporcionalmente a su distancia al punto M , y repartidos uniformemente desde N a B , debe considerarse dividido en tres partes, AM , MN , y NB , enlazadas por las condiciones de continuidad y coincidencia (88) y

sujetas á las reacciones Q, Q' de los apoyos.

Sean

$$AB = a, Bm = b, Bn = b',$$

y sea también M el origen de coordenadas y p la carga por unidad de longitud que corresponde á la parte AB , con lo cual la que corresponde á un punto x situado entre M y N , será

$$\frac{px}{b-b'}$$

Las ecuaciones de equilibrio, obtenidas por la traslación de las fuerzas al punto B , son

$$Q + Q' = pb' + \int_0^{b-b'} \frac{px dx}{b-b'} = \frac{1}{2} p (b+b')$$

$$Qa = \int_0^{b-b'} \frac{px dx}{b-b'} (b-x) + \frac{1}{2} pb'^2 = \frac{1}{6} p \frac{b^3 - b'^3}{b-b'}$$

de las que resulta

$$Q = \frac{5}{6} p \frac{b^3 - b'^3}{a(b-b')}, \quad Q' = \frac{1}{2} p (b+b') - \frac{1}{6} p \frac{b^3 - b'^3}{a(b-b')}$$

Para el equilibrio de las fuerzas elásticas, se considerará la puerca compuesta de tres partes; una AB , fija en N y sujeta á los pesos uniformemente repartidos y á la fuerza Q' ; otra AM , fija en N , sujeta á los pesos repartidos proporcionalmente y á la fuerza Q ; y otra MA fija en M y sujeta á la fuerza Q .

Las ecuaciones de equilibrio son

$$\text{para } AB \dots \epsilon \frac{d^2 y}{dx^2} = Q'(b-x) - \frac{1}{2} p (b-x)^2;$$

$$\text{para } AM \dots \epsilon \frac{d^2 y}{dx^2} = Q(a+b+x) - \int_0^x \frac{px' dx'}{b-b'} (x-x') = \\ = Q(a+b+x) - \frac{px^3}{6(b-b')};$$

$$\text{para } MA \dots \epsilon \frac{d^2 y}{dx^2} = Q(a-b-x),$$

en cuyas ecuaciones, x es la abscisa de un punto intermedio entre M y O . El punto de rotura de la parte AB se halla á una distancia del punto B igual á $\frac{Q}{p}$, á no ser que esta cantidad sea mayor que b' , en cuyo caso no puede ser mas que el mismo punto N . El de la parte MA se halla á una distancia del punto M igual á

$$\frac{\sqrt{b^3 - b'^3}}{3a},$$

y será también el mismo punto A si esta expresión es mayor que $b-b'$. Finalmente el del trozo MA es el punto M , y el de la puerca es de los tres el que produce mayor momento, que será siempre uno de los dos primeros. Este problema tiene aplicación al caso de una puerca de compuerta bañada de agua por ambos lados y á diferentes nivel. El caso mas desfavorable es aquel en que $b=a$ y $b'=0$.

98. Cuando una pieza se halla apoyada en mas de dos puntos (fig.^a 37), que da indeterminada la repartición de las presiones por las reglas de estática, pero las condiciones de continuidad permiten determinar siempre estas presiones cuando el sólido es elástico. Con efecto, sea n el número de intervalos que hay entre los apoyos A, A', A'', \dots &^a: suponiendo que el sólido no esté cargado mas que en un punto de cada uno, el número de partes en que se habrá de considerar dividido será $2n$ (88), y el número de reacciones Q, Q' &^a será $n+1$. El equilibrio directo entre los pesos P, P', P'', \dots &^a y las reacciones, no proporciona mas que dos ecuaciones; pero las $4n$ constantes que han de producir las dos integraciones de la ecuación de cada parte $AC, CA', A'C', \dots$ &^a quedan determinadas por la condición de que cada una de las partes ha de pasar por uno de los apoyos, lo que ya determina $2n$ constantes y las dos condiciones de continuidad y coincidencia en cada uno de los n puntos C, C', \dots &^a determinan otras $2n$ constantes, con lo cual quedan to-

davía las condiciones de continuidad en los apoyos intermedios A, A', \dots &^a que son $n-1$, y que con las 2 de equilibrio hacen las $n+1$ que se necesitan. Se ve segun esto que en casos semejantes, para hallar la ecuación de la resistencia es indispensable integrar primero las de equilibrio.

99. El caso mas sencillo es aquel en que los apoyos son tres, B, A, B' (fig.^a 38), y colocados en una línea horizontal. Haciendo $AB = a, AB' = a'$, suponiendo que hay una carga uniformemente repartida sobre la longitud BB' , y pesos P, P' colocados en puntos intermedios C, C' distantes del punto A , que se tomara como origen de coordenadas, longitudes b y b' ; y llamando Q, Q' y q á las reacciones de los tres apoyos, las ecuaciones de equilibrio serán

$$\begin{aligned} \text{para } CB. \quad & \begin{cases} \varepsilon \frac{d^2 y}{dx^2} = -Q(ax) + \frac{1}{2} p(a-x)^2 \\ \varepsilon \frac{dy}{dx} = -Q(ax - \frac{1}{2}x^2) + \frac{1}{2} p(ax - ax^2 + \frac{1}{3}x^3) + C \\ \varepsilon y = -Q(\frac{1}{2}ax^2 - \frac{1}{6}x^3) + \frac{1}{2} p(\frac{1}{2}ax^2 - \frac{1}{3}ax^3 + \frac{1}{12}x^4) + Cx + D. \end{cases} \\ \text{para } AC. \quad & \begin{cases} \varepsilon \frac{d^2 y}{dx^2} = -Q(a-x) + P(b-x) + \frac{1}{2} p(a-x)^2 \\ \varepsilon \frac{dy}{dx} = -Q(ax - \frac{1}{2}x^2) + P(bx - \frac{1}{2}x^2) + \frac{1}{2} p(ax - ax^2 + \frac{1}{3}x^3) + A \\ \varepsilon y = -Q(\frac{1}{2}ax^2 - \frac{1}{6}x^3) + P(\frac{1}{2}bx^2 - \frac{1}{6}x^3) + \frac{1}{2} p(\frac{1}{2}ax^2 - \frac{1}{3}ax^3 + \frac{1}{12}x^4) + Ax + B. \end{cases} \end{aligned}$$

y para AC y $C'B'$ las mismas ecuaciones acentuando todas las letras. La condición de pasar la parte CB por el punto B en que $x=a$ e $y=0$, da la ecuación

$$-\frac{1}{3} Qa^3 + \frac{1}{6} Pa^4 + Ca + D = 0$$

y la condición de que la parte AC pase por el punto A , en que $x=0$ e $y=0$ da

$$B = 0.$$

La condición de coincidencia de AC y $C'B'$ en el punto C , en que $x=b$, da

$$Cb + D = \frac{1}{3} Pb^3 + Ab,$$

y la condición de continuidad en el mismo punto es

$$C = \frac{1}{2} Pb^2 + A.$$

De estas ecuaciones se deducen los valores de las constantes

$$A = \frac{1}{3} Qa^2 - \frac{1}{2} Pb^2 + \frac{1}{6} P \frac{b^3}{a} - \frac{1}{8} Pa^3$$

$$C = \frac{1}{6} Qa^2 + \frac{1}{6} P \frac{b^3}{a} - \frac{1}{8} Pa^3$$

$$D = -\frac{1}{6} Pb^3,$$

y para las ecuaciones de la parte AB' se obtendrían los mismos valores con todas las letras acentuadas.

Ahora ya se puede escribir la condición de continuidad en el punto A y

es que las tangentes de las partes AC y AC' sean una prolongación de otra, que como las abscisas se cuentan positivas a distinto lado para cada curva, equivale a decir que los coeficientes diferenciales de sus dos ecuaciones sean iguales y de signo contrario para $x=0$; esto da

$$A = -A'$$

o sea

$$\frac{1}{3} Qa^2 - \frac{1}{2} Pb^2 + \frac{1}{6} P \frac{b^3}{a} - \frac{1}{8} Pa^3 + \frac{1}{3} Q'a'^2 - \frac{1}{2} P'b'^2 + \frac{1}{6} P' \frac{b'^3}{a'} - \frac{1}{8} P'a'^3$$

cuya ecuación junta con las dos de equilibrio directo

$$Q + Q' + q = P + P' + p(a + a')$$

$$Qa - Q'a' = Pb - P'b' + \frac{1}{2} p(a^2 - a'^2),$$

da los valores siguientes de las reacciones;

$$Q = \frac{Pb(2a^2 + 3ab + b^2) - P'b'(2a'^2 + 3a'b' + b'^2) + \frac{1}{2} p(3a + a' - \frac{a'^2}{a})}{2a(a + a')}$$

$$Q' = \frac{Pb(2a^2 + 3ab + b^2) + P'b'(2a'^2 + 3a'b' + b'^2) + \frac{1}{2} p(3a' + a - \frac{a^2}{a'})}{2a(a + a')}$$

$$q = P + P' - \frac{a' - a}{aa'(a + a')} (Pba - P'b'a') - \frac{P \frac{b^2}{a}(3a - b) + P' \frac{b'^2}{a'}(3a' - b')}{2aa' + \frac{1}{2} p(a + a') \left(5 + \frac{(a - a')^2}{aa'}\right)}$$

Las fuerzas Q y Q' son menores que las presiones que se ejercerían en los puntos B y B' si la pieza estuviese cortada en el punto A , que son $P \frac{b}{a} + \frac{1}{2} pa$, y $P' \frac{b'}{a'} + \frac{1}{2} pa'$, y la presión q por el contrario, es mayor.

Potrá suceder que alguna de las dos partes fueras sea negativa, tendiendo la pieza entonces a levantarse por el apoyo a que corresponda.

100. Suponiendo simétricas las dos partes de la pieza, $a = a'$, $b = b'$, $P = P'$ y $Q = Q'$, y se tendrá

$$Q = Pb^2 \frac{3a-b}{2a^3} + \frac{3}{8} pa$$

$$q = P \frac{2a^2 - 3ab^2 + b^3}{a^3} + \frac{5}{4} pa$$

y si el peso está en el medio de cada trozo,

$$b = \frac{1}{2} a, \text{ y}$$

$$Q = \frac{5}{16} P + \frac{3}{8} pa$$

$$q = \frac{22}{16} P + \frac{50}{8} pa,$$

con lo que se ve que la carga p oprime al punto medio A una cuarta parte mas que si las dos partes AB , AB' estuviesen separadas, y los pesos P en $\frac{3}{2}$ mas.

101. En todos estos casos, la resistencia de la pieza es mayor que si estuviese interrumpida en el punto A , por que siendo la reacción Q menor que si la parte BA no continuase unida a la que le sigue, el momento de las fuerzas que corresponden a cada quier punto de su longitud será también

menor. En general hay tres puntos de rotura, que cuando no hay pesos repartidos en la longitud de la pieza son los A , C y C' en los que la curvatura está dirigida alternativamente en sentidos contrarios, con un punto de inflexion entre cada dos de ellos.

102. Un prisma empujado por un extremo y apoyado por el otro a un mismo nivel (Figura 39) es lo mismo que la mitad de una pieza apoyada en tres puntos equidistantes y cargado simétricamente, por que en tal caso, la tangente en el apoyo intermedio es horizontal: por consiguiente, este caso está incluido en el anterior.

103. En todo lo que precede se han considerado las presiones en los puntos de apoyo como verticales, segun son al empezar la flexion, pero despues de establecido el equilibrio, la presión en el punto B será normal a la elástica y en la dirección BR (figura 40) y descompuesta en sentido vertical y horizontal, dará una componente BQ , que habrá de satisfacer a todas las condiciones espuestas, y otra BS que tiende a aumentar la curvatura y la presión

longitudinal. Mas esta fuerza se ha despreciado, por que es muy pequeña comparada con la reacción Q , pues equivale á $Q \tan g. RBQ = Q \tan g. \theta \approx x$, siendo $B\theta$ la tangente á la elástica en el punto B , y se sabe que su inclinación con la horizontal es muy pequeña en los límites en que la flexión sigue las leyes que se han supuesto, y que el error á que esto puede conducir es insignificante.

Sol. La condición de que el otro extremo B este empotrado (figura 43) se puede reemplazar por una fuerza Q que mantenga al punto B en su posición, equilibrando la acción de las fuerzas que tienden á hacerle bajar, añadiendo un par M de eje horizontal, perpendicular al plano de la flexión, que oblique á la prolongación BD de la puerca á girar hasta tomar la dirección que se prescribe para el punto B . Suponiendo cargada la puerca del peso P y de pesos uniformemente repartidos en la longitud AB , las ecuaciones de equilibrio son:

$$\begin{aligned} \text{para la parte CB} \quad & \begin{cases} \varepsilon \frac{d^2 y}{dx^2} = M - Q(a-x) + \frac{1}{2} p(a-x)^2 \\ \varepsilon \frac{dy}{dx} = Mx - Q(ax - \frac{1}{2} x^2) + \frac{1}{2} p(ax^2 - ax^2 + \frac{1}{3} x^3) + A \\ \varepsilon y = \frac{1}{2} Mx^2 - Q(\frac{1}{2} ax^2 - \frac{1}{6} x^3) + \frac{1}{2} p(\frac{1}{2} ax^2 - \frac{1}{3} ax^2 + \frac{1}{12} x^4) + Ax + B. \end{cases} \\ \text{para la parte AC.} \quad & \begin{cases} \varepsilon \frac{d^2 y}{dx^2} = M - Q(a-x) + P(b-x) + \frac{1}{2} p(a-x)^2 \\ \varepsilon \frac{dy}{dx} = Mx - Q(ax - \frac{1}{2} x^2) + P(bx - \frac{1}{2} x^2) + \frac{1}{2} p(ax^2 - ax^2 + \frac{1}{3} x^3) + A' \\ \varepsilon y = \frac{1}{2} Mx^2 - Q(\frac{1}{2} ax^2 - \frac{1}{6} x^3) + P(\frac{1}{2} bx^2 - \frac{1}{6} x^3) + \frac{1}{2} p(\frac{1}{2} ax^2 - \frac{1}{3} ax^2 + \frac{1}{12} x^4) + A'x + B'. \end{cases} \end{aligned}$$

Las condiciones de que la curva AC pase por el punto A y sea horizontal, ó que para $x=0$, $y=0$ y $\frac{dy}{dx}=0$, dan

$$A=0, B'=0;$$

y las condiciones de coincidencia y continuidad en el punto C en que $x=b$, dan

$$A = \frac{1}{2} P b^2, \quad B = -\frac{1}{6} P b^3;$$

y finalmente, las condiciones de que la curva pase por el punto B , y sea allí horizontal, ó que para $x=a$, $y=0$, $\frac{dy}{dx}=0$, dan

$$Q = P \frac{b^2}{a^3} (3a - 2b) + \frac{1}{2} p a$$

$$M = P \frac{b^2}{a^2} (a - b) + \frac{1}{32} p a^2$$

En el caso en que el peso este colocado en el punto medio de AB , $b = \frac{1}{2} a$, y las expresiones últimas se convierten en estas

$$Q = \frac{1}{2} (P + p a), \quad M = \frac{1}{3} P a + \frac{1}{12} p a^2$$

Sol. La puerca presenta tres puntos de ma-

xima curvatura y dos de inflexion. Cuando $p=0$, estos tres puntos son el A, el B y el C, y la curvatura de los tres es la misma si este último equidista de los otros dos, o $b=\frac{1}{2}a$.

Entonces la ecuación de la resistencia en cualquiera de ellos es

$$\tau = \frac{1}{8} Pa$$

o haciendo $P=2P'$, $a=2a'$

$$\tau = \frac{1}{2} P'a'$$

cuyo resultado indica que la resistencia de una pieza empotrada en sus dos estremidades y cargada de un peso en el medio es doble que la de una pieza simplemente apoyada (figura 32).

Si en las ecuaciones anteriores se hiciera $P=0$, el mayor momento resultaría para los puntos A y B, en que sería

$$\tau = \frac{1}{32} pa^2$$

o haciendo $a=2a'$

$$\tau = \frac{1}{2} pa'^2$$

lo que indica que la pieza tiende a desprenderse por sus empotramientos, y que puede resistir una mitad mas de carga que si estuviera solo apoyada, como en la figura 34.

Sección 7.^a

Equilibrio y resistencia de prismas verticales.

306. Sea AB (fig.^a 42) la elástica de una pieza prismática que se ha desviado de su posición vertical según Ab por la acción del peso Q que obra a una distancia BC del punto B. Tomando para eje de abscisas la línea OC según la cual actúa el peso, y por eje de ordenadas la horizontal que pasa por el punto A, en que coincide la pieza con su dirección primitiva, la ecuación de equilibrio, cualquiera que sea la posición del peso respecto de la pieza, es

$$E \frac{d^2y}{dx^2} = -Qy,$$

con el segundo miembro negativo por que el sentido positivo de las abscisas es contrario al del peso. Multiplicando ambos miembros por $2dy$, e integrando, resulta

$$\left(\frac{dy}{dx}\right)^2 = C - \frac{Q}{E} y^2;$$

y llamando en general f a la distancia OA , que corresponde al punto en que la tangente es paralela al eje de abscisas, ó $\frac{dy}{dx} = 0$, la constante anterior es

$$C = \frac{Q}{\epsilon} f^2,$$

y la ecuación se reduce á

$$\left(\frac{dy}{dx}\right)^2 = \frac{Q}{\epsilon} (f^2 - y^2).$$

De ella se saca el valor

$$dx = \frac{dy}{-\sqrt{\frac{Q}{\epsilon} (f^2 - y^2)}},$$

con el radical negativo por que la concavidad de la curva ha de estar vuelta al origen. La integral es

$$x = \sqrt{\frac{\epsilon}{Q}} \arccos \frac{y}{f} + A$$

ó sea..... $y = f \cos \sqrt{\frac{Q}{\epsilon}} (x - A)$ (32)

ecuación en la que queda ni que determinar la constante A y la distancia f , para lo cual se dispone de las condiciones de posición de los rebordes de los prismas y de los pesos.

307. La ecuación última, tomada en esta forma á todos los casos de flexión de prismas verticales, pertenece á la curva transcendente llamada sinusoide; cuya forma es la de la figura 54. Esta curva es periódica e indefi-

nida, corta al eje en los puntos a, b, c, d, \dots en que $(x - A) \sqrt{\frac{Q}{\epsilon}}$ es igual á un número impar de cuadrantes, ó siendo n un número entero cualquiera, en donde sea

$$x = \frac{(2n+1)\pi}{2} \sqrt{\frac{\epsilon}{Q}} + A,$$

en cuyos puntos presenta una inflexión ó sea curvatura nula, y en los intermedios e, f, g, h , en que $(x - A) \sqrt{\frac{Q}{\epsilon}}$ es igual á un número par de cuadrantes, ó

$$x = n\pi \sqrt{\frac{\epsilon}{Q}} + A$$

adquiere la ordenada y su mayor valor, que es $y = f$, teniendo todos los puntos correspondientes de un mismo lado, i, j, k , ó l, m , una tangente común á I, I' , ó II, II' paralela al eje; y la curva tiene su mayor curvatura.

308. Las formas de la flexión de un prisma vertical serán los arcos de esta curva que satisfagan á las condiciones á que se halla sujeto, correspondiendo siempre los puntos de inflexión á la vertical del peso Q , lo que demuestra también la ecuación (33), por que para $M = 0$ da $\varphi = \infty$. Si el prisma está empotrado en su extremo inferior, los arcos han de empezar en un punto de máxima

ordenada i , por que en ellos es únicamente vertical la tangente; pero si está simplemente apoyado en un plano horizontal, la curva deberá empezar por uno de los puntos de inflexión como a para que la vertical del peso pase por el punto de apoyo. El término o extremo opuesto de la curva se determina por el modo con que se halla unido el peso a la pieza: si se ha suspendido directamente de la extremidad, debe corresponder a otro punto de inflexión b o c de la curva; si se ha mantenido a cierta distancia, como en la figura 42, corresponde el final de la curva a los puntos de intersección con una vertical $O'A'$ distante del eje una cantidad $OO' = BC$. Finalmente las condiciones enunciadas se satisfacen lo mismo con uno que con varios de los arcos periódicos de la curva.

509. Según lo que precede, en el caso en que una pieza empotrada en el extremo inferior, tenga libre el superior y colocado un peso a cierta distancia, la forma de la elástica podrá ser la de la figura 42, o la de las figu-

ras 43 y 44 correspondientes a los arcos de sinusoide in , $inlo$, o $iljp$. Si el extremo superior ha de quedar en la misma vertical b que el inferior, no podrá menos de tener la tangente vertical, por que todos los puntos que estén en la vertical de i la tienen por tangente; y los arcos serán ilj , o $iljmk$, con la precisa condición de que el peso ha de distar del extremo del prisma una cantidad igual a la mayor ordenada $Oi = f$ para que caiga sobre los puntos de inflexión; resultando las elásticas de las figuras 45 y 46. Mas si el peso se colocase en la misma extremidad, la flexión sería imposible, a no ser que se pudiese libre dicha extremidad, en cuyo caso la elástica tendría la forma de las figuras 47 o 48, correspondientes a los arcos ia , o iab . Si unijas ambas extremidades en la misma vertical, la inferior está simplemente apoyada en el suelo, el prisma tomaría las formas de las figuras 49, 50 y 51, que corresponden a los arcos ab , $abjc$, o $abjcmed$ de la curva tipo.

150. Con todos estos casos, las formas periódicas se deben considerar como inestables, y que tienden a tomar la forma más sencilla que en cada uno corresponda, por que a poco que se aparte el peso Q (fig.^a 43) de su posición hacia la derecha, su brazo de palanca tiende a aumentar, y seguirá aumentando hasta que llegue al máximo en la posición puntiada, al mismo tiempo que la resistencia a la flexión será menor en el punto. A cuantos menos dobles tenga la pieza en la misma extensión. Así es que cuando se quieran producir estas formas es menester fijar de algún modo la posición de los puntos de inflexión según la distribución que deban tener en la extensión de la pieza.

151. La determinación de la flecha f depende de las condiciones a que el problema se halla sujeto. En el caso de la figura 42, la ecuación general (12) da, haciendo $OC=Ob=a$, $CB=l$, las dos condiciones en el punto A , $x=0$, $y=f$, y $A=0$ en el punto B , $x=a$, $y=l$, y $-lf \cos a \sqrt{\frac{Q}{E}}$

de donde se deduce

$$f = \frac{l}{\cos a \sqrt{\frac{Q}{E}}}$$

y la ecuación de la curva es

$$y = l \frac{\cos x \sqrt{\frac{Q}{E}}}{\cos a \sqrt{\frac{Q}{E}}}$$

que puede representar las curvas de las figuras 42, 43 o 44, según sea 0, 1, 2, &c el número de veces que la cantidad $a \sqrt{\frac{Q}{E}}$ contenga a la longitud π de la semicircunferencia en arreglo a la unidad de medida que se haya adoptado.

Mas en el caso de la figura 47 y siguientes, en que para $x=a$, $y=0$, la flecha queda indeterminada, y en cambio no hay mas que una constante que determinar con las dos condiciones relativas a las extremidades. Esta anomalía proviene de las cantidades que se han despreciado al integrar la ecuación primitiva (11), y para corregirla es menester seguir otro procedimiento de integración.

152. Haciendo $\frac{dy}{dx} = p$, la ecuación de equilibrio (11) aplicada al caso de la figura

47 toma la forma

$$\varepsilon \frac{dp}{dx} = -Qy,$$

y multiplicando ambos miembros por $2dy$, y haciendo $\frac{Q}{\varepsilon} = 4\alpha^2$, queda, teniendo presente

que $dp^2 = 2p dp$,

$$\frac{dp^2}{(1+p^2)^{\frac{3}{2}}} = -4\alpha^2 dy^2,$$

cuya ecuación teniendo presente que para

$y=f$ es $p=0$, da la integral

$$\frac{1}{\sqrt{1+p^2}} = 1 - 2\alpha^2(f^2 - y^2);$$

de ella se deduce

$$p = \frac{dy}{dx} = -2\alpha \frac{\sqrt{(f^2 - y^2)[1 - \alpha^2(f^2 - y^2)]}}{1 - 2\alpha^2(f^2 - y^2)}$$

con el signo negativo en el radical, por que la tangente forma un ángulo obtuso con el eje positivo de abscisas.

El elemento de arco de la curva AB se expresa por la fórmula

$$ds = -\frac{dy}{2\alpha \sqrt{(f^2 - y^2)[1 - \alpha^2(f^2 - y^2)]}}$$

y haciendo para simplificar $y = f \cdot \sin t$, resulta

$$2\alpha ds = \frac{-dt}{\sqrt{1 - 2f^2 \cos^2 t}}$$

cuya expresión desarrollada en serie es

$$-2\alpha ds = dt \left(1 + \frac{1}{2} \alpha^2 f^2 \cos^2 t + \frac{3}{8} \alpha^4 f^4 \cos^4 t + \frac{5}{16} \alpha^6 f^6 \cos^6 t + \dots \right);$$

y la integral, tomada desde $y=f$ y ~~xxx~~ has. la $y=0$ y ~~xxxx~~, es

$$2\alpha a = \frac{1}{2} \pi \left(1 + \frac{1}{4} \alpha^2 f^2 + \frac{9}{64} \alpha^4 f^4 + \dots \right).$$

porque la longitud de la curva se confunde sensiblemente con su proyección.

La cantidad αf es tan pequeña, que con un error despreciable se puede escribir

$$2\alpha a = \frac{1}{2} \pi \left(1 + \frac{1}{4} \alpha^2 f^2 \right),$$

de donde se deduce, sustituyendo el valor de α

$$f = 4 \sqrt{\frac{\varepsilon}{Q}} \sqrt{\frac{2a}{\pi} \sqrt{\frac{Q}{\varepsilon}} - 1}.$$

La figura 49 se puede considerar como compuesta de dos mitades iguales a las de la figura 47, y cuya longitud sea $\frac{1}{2} a$; siendo la flecha

$$f = 4 \sqrt{\frac{\varepsilon}{Q}} \sqrt{\frac{a}{\pi} \sqrt{\frac{Q}{\varepsilon}} - 1}.$$

553. El punto de rotura es aquel que tiene mayor ordenada, por que es el de mas curvatura de la sinusoides (507), y la ecuación de resistencia es en general

$$R = \frac{Q}{\omega} + \frac{v' Q f}{I} = Q \left(\frac{1}{\omega} + \frac{v' f}{I} \right).$$

Para una púa como la de la figura 42, esta ecuación da (553)

$$R = Q \left(\frac{1}{w} + \frac{v^2 l}{I \cos. \alpha \sqrt{\frac{g}{E}}} \right);$$

pero para piedras cargadas en su extremidad, como las de las figuras 47 y siguientes, no se puede aplicar esta ecuación mientras no sea

$$Q > \frac{\pi^2 E}{4 a^2} \text{ ----- en las figuras 47 y 48,}$$

ó $Q > \frac{\pi^2 E}{a^2} \text{ ----- en las figuras 49, 50 y 51,}$
 porque para valores inferiores la flecha es imaginaria, y por consiguiente no hay flexión posible, y en tal caso, no produciendo el peso mas que una compresion, las dimensiones de la piedra se calculan por la ecuacion sencilla

$$R = \frac{Q}{w}$$

334. El peso cuyo valor es

$$Q = \frac{\pi^2 E}{4 a^2} \text{ ----- (53)}$$

no se puede aplicar con seguridad a una piedra como la de la figura 47 mientras no sea inferior al límite de las cargas de compresion directa $R w$, para lo cual es preciso que la piedra pase de cierta longitud.

En efecto, si se toman sobre un eje $O A$ (figura 52) magnitudes como $O a$ pro-

porcionales a la longitud de las piedras, suponiendo que son las mismas la seccion transversal y la materia de que están formadas, y perpendicularmente se toman magnitudes $a q$ proporcionales a $\frac{\pi^2 E}{4 a^2}$, se formará la curva $C q B$, cuyas ordenadas son el peso Q que es capaz de iniciar la flexion; y tomando una longitud $O r = R a$, y trazando la recta $r r'$ paralela a $O A$, el pie de la perpendicular $r' b$ marcará la longitud $O b$ mas pequeña de las piedras que pueda resistir el peso $\frac{\pi^2 E}{4 a^2}$ que empiecen a doblarlas. Si la piedra es de seccion circular, siendo su diámetro d , esta longitud está dada por la ecuacion

$$\frac{\pi^2 d^2}{64 a^2} = \frac{R}{E},$$

de la que resulta

$$\text{para la madera} \dots \frac{a}{d} = 56,03$$

$$\text{para el hierro dulce} \dots \frac{a}{d} = 22,60$$

$$\text{para el hierro fundido} \dots \frac{a}{d} = 24,35.$$

Si la seccion es rectangular y c el lado menor de la seccion, la ecuacion es

$$\frac{\pi^2 c^2}{48 a^2} = \frac{R}{E},$$

que da

para la madera ----- $\frac{a}{c} = 58,55$.

para el hierro dulce --- $\frac{a}{c} = 26,10$

para el hierro fundido --- $\frac{a}{c} = 28,69$.

Para piezas como la de la figura 49. estos límites se han de duplicar, según el modo que se ha tenido de considerar las (152)

Siempre que la longitud comparada con la menor dimensión de la base sea menor que estos números, la resistencia se debe calcular por la fórmula (5) de la lección 5.^a; y siempre que sea mayor por las fórmulas de esta lección. Pero en las longitudes que se usan en la práctica, apenas se puede pasar de la carga que indica la curva r'B sin riesgo inminente de que se altere la elasticidad.

155. Para que las fórmulas precedentes sean exactas en la práctica es de todo punto indispensable que la presión Q se ejerza en el mismo eje del prisma, por que si nada que se desvíe de él su punto de aplicación, tiene lugar la resistencia como en la figura 42, y por pequeña

que sea la distancia l con relación al lado menor de la base; el peso Q tiene que ser mucho menor que el que indican las fórmulas (13) y (5), representadas en la figura 52.

Las reglas de Rondelet para los postes de madera y los experimentos y fórmulas empíricas de Hodgkinson para las columnas de madera y de hierro están perfectamente de acuerdo con toda esta teoría; e indican que la fórmula (13) se puede aplicar cuando terminadas las columnas por placas o en sanchos que reciban la presión, no puede esta sufrir desvío sensible; y que en caso contrario, se deberá suponer aplicada en las aristas del sólido, o por lo menos al tercio o al cuarto de la mitad del espesor de la pieza.

156. Cuando sujetando ciertos puntos de la pieza se obliga a la elástica a que sea una curva múltiple (150), la resistencia de la pieza es mayor, por que cada una de las divisiones o períodos se dobla como si estuviese solo sometida al peso Q, y esta crece en sentido contrario de la longitud. En el caso en que se pueda aplicar la fórmula (13) la

resistencia aumenta como el cuadrado del número de divisiones, de modo que con solo fijar un punto en las piezas de las figuras 47 a 49, se cuadruplica su resistencia.

157. La ecuación de la elástica de una pieza sujeta por el extremo superior A (figura 53) y de la que se suspende un peso Q a una distancia $BC=l$ de su extremo inferior, se obtiene cambiando el signo a Q en la ecuación del prisma de la figura 42.

Dicha ecuación se transforma en esta otra

$$y = f \cos \sqrt{-\frac{Q}{E}} (x - A),$$

que debiendo dar, para $x=0$, $y=f$, y para $x=a$, $y=l$, se reduce a

$$y = l \frac{\cos x \sqrt{-\frac{Q}{E}}}{\cos a \sqrt{-\frac{Q}{E}}},$$

y como

$$\cos m \sqrt{-1} = \frac{e^m + e^{-m}}{2},$$

la ecuación se reduce a

$$y = l \frac{e^{x \sqrt{\frac{Q}{E}}} + e^{-x \sqrt{\frac{Q}{E}}}}{e^{a \sqrt{\frac{Q}{E}}} + e^{-a \sqrt{\frac{Q}{E}}}}$$

El punto de máxima curvatura es el extremo B , y en él se habrá de verificar la ecuación

$$R = Q \left(\frac{1}{\omega} + \frac{v^2 l}{I} \right)$$

Sección 8.ª

Equilibrio y resistencia de prismas inclinados.

158. Sea AB (figura 55) una pieza empujada en A y encorvada desde su posición primitiva $A'b$ por la acción de un peso Q que actúa a una distancia $BC=l$ de la extremidad B . Tomando para ejes de coordenadas las rectas Ox , dirección del peso, y Oy , perpendicular a $A'b$ en el punto A , y llamando m y n el coseno y seno del ángulo $A'cO$, que forma con el eje de abscisas la dirección primitiva del eje del prisma, la ecuación de equilibrio para un punto cualquiera, cuyas coordenadas son $Oc = x$, $ca = y$, que es

$$\frac{E}{\delta} = Q \times ad,$$

tomará la forma

$$E \frac{d^2 y}{(dx)^2} = -m Q y,$$

que es análoga a la de la lección anterior, y

su primera integral es, haciendo $\frac{m^2 Q}{2} = q^2$,
y $OA = f'$

$$\left(\frac{dy}{dx}\right)^2 = n^2 + q^2 (f'^2 - y^2),$$

porque en el punto A debe ser $\frac{dy}{dx} = n$.

Representando por B una constante arbitraria, la integral de esta ecuación es

$$qx = qB + \arccos \frac{qy}{\sqrt{f'^2 q^2 + n^2}},$$

o despejando la ordenada

$$qy = \sqrt{q^2 f'^2 + n^2} \cos q(x - B)$$

que es la ecuación de una sinusoidal variada sobre los ejes oblicuos OC, OA.

339. Las posiciones de los puntos A y B respecto de la dirección del peso determinan las constantes f' y B. Debiendo ser en el punto A, $x=0$, $y=f'$, se obtiene

$$\sin qB = \frac{-n}{\sqrt{q^2 f'^2 + n^2}}, \quad \cos qB = \frac{q f'}{\sqrt{q^2 f'^2 + n^2}},$$

y la ecuación toma la forma

$$qy = q f' \cos qx - n \sin qx;$$

y como en el punto B haciendo $OB = a'$, son $x = a'$, $y = l$, resulta

$$q f' = \frac{ql + n \sin qa'}{\cos qa'}$$

y por fin la ecuación es

$$y = \frac{ql \cos qx + n \sin q(a' - x)}{q \cos qa'}$$

De estos valores se puede deducir la distancia

$bc = f$, que es

$$f = bc = AD = lO - DO = f' - na' = \frac{l}{\cos qa'} + \frac{n}{q} (\tan qa' - qa'),$$

la cual en el caso en que el peso esté aplicado al punto B se reduce a'

$$f = Bb = \frac{n}{q} (\tan qa' - qa').$$

320. La ecuación anterior hace ver que cuando el ángulo ACO sea bastante grande para que la quinta potencia del producto qa' sea despreciable comparada con la unidad, lo cual acontece frecuentemente en las aplicaciones prácticas, el efecto que produce el peso Q es la suma del que producirían sus componentes $m \times Q$, $n \times Q$ separadamente. En efecto, dicha ecuación se puede descomponer en dos sumandos

$$y' = l \frac{\cos qx}{\cos qa'}, \quad y'' = \frac{n \sin q(a' - x)}{q \cos qa'},$$

siendo $y = y' + y''$: el primero representa la elástica de una puerca recta cargada paralelamente a la dirección de su eje (335) como la dela

figura 112, pues haciendo $m \times x = Dg = x'$,
 $m \times a' = Ab = a$, y $m \times Q = Q'$, se convierte en la
 ecuación

$$y' = \frac{1}{\cos a'} \frac{\cos x' \sqrt{\frac{Q'}{\epsilon}}}{\cos a' \sqrt{\frac{Q'}{\epsilon}}} :$$

el segundo sumando representa una curva
 muy aproximada a la de la figura 27, por
 que desarrollando el seno y el coseno hasta su
 segundo término, resulta

$$y'' = n(a' - x) + \frac{1}{6} n Q^2 (2a'^2 - 3a'x + x^2),$$

en donde, haciendo $nQ = P$, queda

$$y'' = n(a' - x) + \frac{Pa^3}{3\epsilon} - \frac{P}{\epsilon} \left(\frac{1}{2} a'x^2 - \frac{1}{6} x^3 \right),$$

ecuación en la cual el primer término represen-
 ta la ordenada eg de la recta CD , el segundo
 término la flecha que el punto B tomaría
 por la acción sola de la fuerza $n \times Q = P$, y el
 tercero es la ecuación de la curva de la figura
 27 referida al eje primitivo de la figura (32).
 Esto indica, que si como suele suceder, el peso
 está aplicado al mismo punto B , la componen-
 te de Q paralela al prisma no tiene influencia
 sensible sobre la flexión y curvatura de este y
 no produce mas que compresión directa por que
 siendo $b=0$, y' es cero e $y = y''$. Pero siempre

es indispensable que el ángulo DCO no sea
 muy agudo a fin de que la fracción m sea
 bastante pequeña.

121. El punto de rotura es el A en que el
 momento es mayor, e igual a mQf . La
 ecuación de la resistencia será

$$R = \frac{mQ}{\omega} + \frac{v'mQf}{I},$$

cuya ecuación, cuando el producto qa' sea bas-
 tante pequeño para que la componente mQ
 no influya en la curvatura de ningún pun-
 to, y por consiguiente en la del A , se redu-
 ce a

$$R = \frac{mQ}{\omega} + \frac{v'nQa}{I},$$

que es la que se usa en casi todas las apli-
 caciones; o haciendo $mQ = Q'$, $nQ = P$

$$R = \frac{Q'}{\omega} + \frac{v'Pa}{I}.$$

122. Si el prisma inclinado está sujeto por
 el extremo superior (figura 56), la ecuación
 de la elástica será la misma variando el
 signo de Q : atendiendo a que

$$\cos n\sqrt{-s} = \frac{e^n + e^{-n}}{2}, \quad \sin n\sqrt{-s} = \frac{e^n - e^{-n}}{2} \sqrt{-s},$$

resultará

$$y = \frac{1}{\epsilon} \frac{e^{qx} + e^{-qx}}{e^{qa'} + e^{-qa'}} + \frac{n}{q} \frac{e^{q(a'-x)} - e^{-q(a'-x)}}{e^{qa'} + e^{-qa'}},$$

ecuación que se reduce igualmente á la suma de los que corresponden á las figuras 53 y 27 cuando el ángulo $\widehat{A}CO$ es bastante grande para que se pueda despreciar la quinta potencia de ga .

123. El punto de rotura es por lo común el punto A , aunque pudiese ser tan grande el valor de l comparado con el de n que fuera el punto B como en la figura 53; y cuando $l=0$ la ecuación de la resistencia es la misma que antes (121) con la diferencia de que v' corresponde á la parte convexa del prisma en lugar de la cóncava.

124. Cuando haya fuerzas uniformemente repartidas en la longitud del prisma, se descompondrán en direcciones perpendicular y paralela á estas, considerando que solo las primeras producen la flexión y que las últimas no hacen mas que dilatar ó comprimir uniformemente todas las fibras; lo cual según lo que se acaba de decir (120 y 122) será suficientemente exacto para las aplicaciones ordinarias.

125. Una pieza inclinada AB (fig.^a 57)

apoyada en sus dos estremidades A, B en apoyos horizontales, y cargada del peso P en un punto intermedio C , puede considerarse como compuesta de dos partes fijas en el punto C , y en cuyas estremos A, B obran fuerzas verticales Q, Q' cuya intensidad será, llamando a y a' las longitudes AC, BC

$$Q = P \frac{a'}{a+a'}, \quad Q' = P \frac{a}{a+a'}$$

y el equilibrio de cada parte CB ó AC será igual respectivamente al de los prismas estudiados antes (118 y 122). En el caso de la figura 58, en que apoyado el prisma en un punto C , se halle solicitado en sus estremidades, es preciso que los pesos P y P' se equilibren; y cada una de las partes de la pieza se halla como las inversas de la anterior.

126. Si la pieza se halla apoyada en la parte superior contra un plano vertical y en la inferior en el encuentro de dos, uno horizontal y otro vertical (figura 59); el peso P producirá tres reacciones, una Q horizontal en B , y en A una Q' horizontal

y otra P' vertical, cuyas intensidades se deducen de las ecuaciones de equilibrio

$$P' = P$$

$$Q' = Q$$

$$P'a \cos \alpha - Q'a \sin \alpha - Q'a' \sin \alpha = 0$$

siendo α el ángulo de \overline{AB} con la horizontal; de donde resulta

$$Q = \frac{Pa}{(a+a') \tan \alpha}$$

y las ecuaciones de equilibrio de cada parte de esta piedra son como las del prisma de la figura 5h, considerando a' la parte BC como empotrada en C y sujeta en el extremo B a la fuerza Q ; y a la parte CA como empotrada en C , sujeta a las condiciones de coincidencia y continuidad con la otra parte, y a la acción de una fuerza S que actúa en el extremo A . Esta fuerza S , resultante de P' y Q' debe cortarse en el punto D con la dirección de la fuerza Q y el peso P , cuya propiedad puede servir para deducirla por una construcción gráfica muy sencilla.

127. Si una piedra recta horizontal, que ha de sostener un peso $2P$ en el medio, se dobla

ligeramente y se coloca entre dos apoyos fijos B, B' (figura 60) de modo que haya de quedar con una pequeña flecha de paraleto o bumbo AD , tiene mas resistencia que si se dejase simplemente apoyada por sus dos extremos, y el cálculo de sus dimensiones se refiere al de las prismas inclinados, por que cada apoyo B origina una reacción horizontal Q' por la tendencia que tiene la piedra a tomar su longitud primitiva, fuerza que compuesta con la reacción vertical P' igual y contraria a P produce la resultante Q dirigida oblicuamente respecto de la tangente horizontal con el punto A , en el que se puede considerar como empotrada la mitad AB .

Suponiendo conocidas la magnitud y dirección de la fuerza Q , y prolongándola hasta O , se tomarán como siempre para ejes de coordenadas las rectas OB y OA , con lo cual la ecuación de la curva BCA será (119) conservando siempre las mismas denominaciones,

$$y = \frac{n \sin q (a' - x)}{q \cos q a'}$$

Llamando f a la flecha de bombeo AD , se tiene

$f = OD - OA = na' - f' = \frac{n}{q} (qa' - \text{tang. } qa')$; de cuyo valor se puede eliminar n atendiendo a que

$n = \text{sen. } CBD = \frac{P}{Q} = \frac{p^2}{q^2}$, si se hace para simplificar $p^2 = \frac{m^3 P}{\varepsilon}$; quedando esta ecuación en la forma

$f = \frac{p^2}{q^3} (qa' - \text{tang. } qa')$, en la cual no hay mas cantidad indeterminada que q y se puede conocer por tanteos cuando se dé f .

323. Es evidente que estando dirigida la nueva fuerza Q' en sentido contrario que la P' respecto del punto A , ha de disminuir el momento $P'a$ en la cantidad $Q'f$, aumentando en otro tanto su resistencia, pero este aumento no es indefinido, y tiene un máximo que conviene fijar.

Cuando la flecha AD no sea muy grande, tampoco lo será la reacción Q , y la dirección de la resultante Q cortará al eje de ordenadas por encima del punto A , y la curva elástica tendrá que presentar una in-

flexión en C , donde corta a la dirección de Q , por que allí su momento es nulo y cambia de signo. En este caso, habrá dos puntos de rotura de la pieza, uno en la rama CA y otro en la CB , en los puntos en que y tenga el mayor valor numérico, que por la ecuación de la curva (327) será cuando

$$\text{sen } q(a' - x) = \pm 1$$

condición que queda satisfecha siendo

$$x = a' - \frac{\pi}{2q}$$

para la parte CB , valor que corresponde a un punto E , cuya abscisa OE es la semisuma de OC y OB . En la parte CA el punto de rotura es el A , en que $x = 0$, por que el valor máximo de la ordenada correspondría a un punto situado mas allá de la vertical OD , en que la tangente a la curva fuese paralela a OB . El momento respecto del punto E es

$$M = \frac{m \cdot n \cdot Q}{q \cos. qa'}$$

y respecto del punto A es

$$M = \frac{m \cdot n \cdot Q \text{ sen. } qa'}{q \cos. qa'}$$

y como el seno siempre es menor que la unidad, el segundo momento es siempre

menor que el primero, y el verdadero punto de rotura es el E. Multiplicando ambos términos por a' , y haciendo $BD = a$, se tiene

$$ma' = a, \quad nQ = P',$$

y representando el producto qa' por α el momento toma la forma

$$M = \frac{Pa'}{\alpha \cos \alpha}$$

el cual, para que la piedra se halle en condiciones ventajosas, ha de ser menor que Pa' , que es el que la soportaría si estuviera apoyada libremente por sus extremos. Esta condición exige que

$$\alpha \cos \alpha > 1$$

o' que

$$\alpha > \sec \alpha,$$

lo cual tiene lugar para todos los arcos comprendidos desde el punto F (figura 65) en que $ABF = 4,4377$, hasta el punto C, en que $ABC = 2,0739$, siendo el radio la unidad. Según esto, la flecha de bombeo habrá de comprenderse entre los límites

$$f > 0,00325 p^2 a'^3 \text{ y } f < 0,43635 p^2 a'^3.$$

Entre todas las flechas admisibles, la

mas ventajosa es la que hace un ~~maxi-~~^{mini-}mo al momento M ; la cual se obtiene substituyendo el valor de qa' o' α que hace un máximo la expresión $\alpha \cos \alpha$, y es

$$\alpha = \cotang. \alpha.$$

El arco ABF que satisface a' esta condición, comprendido entre los arcos ABC y ABF tiene de longitud 3,4246, y la flecha de bombeo que corresponde a' este valor es

$$f = 0,0780 p^2 a'^3.$$

529. Poniendo en lugar de p su valor (527) y remplazando a' por $\frac{a}{m}$, se tiene

$$p^2 a'^3 = \frac{Pa^3}{\epsilon},$$

y llamando α a' la flecha que tomaría la piedra BB' (figura 60) bajo la acción del peso $2P$, si se hallase apoyada libremente por sus extremos, se tendrá' (32)

$$p^2 a'^3 = 3 \alpha,$$

con lo cual los límites de la flecha' serán

$$f > 0,00375 \alpha \text{ y } f < 1,3084 \alpha$$

y la flecha mas ventajosa

$$f = 0,2340 \alpha$$

o' próximamente $\frac{1}{4} \alpha$.

Mientras $q a'$ este comprendido entre ABD y ABF (figura 61), la elástica tiene un punto de inflexión en cada rama y tres puntos de máxima curvatura, uno en E , otro en E' y el tercero en A ; pero si $q a' = \pi$, los dos puntos de inflexión se reúnen en A (figura 62) y la pieza ofrece la curvatura en el mismo sentido; y si $q a'$ está comprendido entre ABi y ABD (figura 63), la elástica no tiene punto alguno de inflexión en toda su longitud (figura 63).

Lección 9.^a

Equilibrio y resistencia de las piezas curvas.

130. El estudio de la elasticidad de las piezas curvas se limitará al caso en que la figura primitiva de su eje es plana, y la flexión se verifica en su mismo plano, para lo cual es preciso que las fuerzas que solicitan á la pieza se hallen en ese plano, y que la sección transversal esté dispuesta de tal modo, que también se halle en ese plano uno de los ejes principales de inercia de su figura p correspondientes al centro de gravedad (63). La ecuación (7) expresa entonces la variación de los ángulos de las secciones inmediatas, que ha producido la acción de las fuerzas exteriores.

131. No es tan fácil hallar la ecuación de la elástica en este caso como en los anteriores; tanto por no poder simplificar

la ecuación (7) del mismo modo, como por que las variaciones de longitud de los elementos, causadas por las fuerzas que se han trasladado al centro de gravedad de cada sección, son diferentes para cada punto e influyen por consiguiente en la curvatura general. Por esto, en lugar de buscar una ecuación que contenga la abscisa y la ordenada de cada punto de la elástica, se calcula por separado la variación que han tenido las dos coordenadas de cada punto de la curva primitiva. Sea . A'B (figura 64) la curva primitiva, que bajo la acción de una fuerza P se ha convertido en la elástica A'B', tomando dos puntos m, n infinitamente próximos las posiciones m', n' . La variación pp' de la abscisa del punto m se podrá hallar sumando las variaciones parciales $p'q' - pq$ de todos los elementos separadamente, desde el extremo A hasta el punto m , y lo mismo la variación de la ordenada. Cada variación elemental se compone de dos partes: la primera debida al giro del elemen-

to m, n , que formaba con el eje de la x un ángulo α (62) a la posición m', n' que forma con la misma línea el ángulo α' , cuyo movimiento es causado por el par que resulta de trasladar la fuerza P al punto n ; y la segunda debida al aumento de longitud que ha ocasionado en el elemento m, n la fuerza T , componente paralela a la tangente en m de la fuerza P trasladada como acaba de decirse.

132. Llevando la longitud m, n desde m' hasta o , la parte o, n' será la variación de longitud producida por la componente T , cuya variación será (6)

$$on' = \frac{T}{Ew} ds;$$

y el aumento o disminución que esta fuerza produzca en el elemento de abscisa o en el de la ordenada será igual a la proyección de on' sobre el eje respectivo, que equivale a

$$\frac{T}{Ew} dx, \quad \text{o} \quad \frac{T}{Ew} dy.$$

El efecto de cualquier otra causa de variación de longitud se puede apreciar sustituyendo a $\frac{T}{Ew}$ la variación que corres-

ponda a la unidad.

133. Moviendo ahora la parte mo paralelamente a si misma hasta que el punto m' se confunda con el m (figura 6.3), se ve que la variación que el giro produce en el elemento mb de abscisa esta representada por cn , y la del elemento bn de ordenada por co . La recta que une los puntos o y n , equidistantes de m , se puede considerar como normal a mn por la pequeñez del ángulo $nmo = \alpha' - \alpha$, y entonces, los triángulos semejantes mbn , nco , dan

$$cn = bn \frac{on}{mn}, \quad co = mb \frac{on}{mn}$$

y como $\frac{on}{mn} = \alpha' - \alpha$, estas variaciones son.

$$cn = (\alpha' - \alpha) dy; \quad co = (\alpha' - \alpha) dx.$$

134. De esto resulta, teniendo en cuenta que la dirección de cn es negativa, que la variación elemental de las coordenadas es

$$dx' - dx = -(\alpha' - \alpha) dy + \frac{T}{Ew} dx, \quad dy' - dy = (\alpha' - \alpha) dx + \frac{T}{Ew} dy$$

llamando x' e y' a las coordenadas de la elástica, cuyas ecuaciones, junto con la (7)

resuelvan por completo el problema propuesto. Llamando x_0 a la abscisa del punto A (figura 6.4) y suponiendo que todas las cantidades se expresan en función de x , las integrales de estas ecuaciones son

$$\alpha' - \alpha = A + \int_{x_0}^x \frac{M}{E} ds, \quad (14)$$

$$x' - x = B - \int_{x_0}^x (\alpha' - \alpha) dy + \int_{x_0}^x \frac{T}{Ew} dx, \quad (15)$$

$$y' - y = C + \int_{x_0}^x (\alpha' - \alpha) dx + \int_{x_0}^x \frac{T}{Ew} dy. \quad (16)$$

Las constantes A , B y C representan las variaciones de posición y dirección del elemento que corresponde al punto A , desde el que se empiezan a hacer las integraciones: designando por x_0, y_0, α_0 el valor de las variables en el punto A , y por x'_0, y'_0, α'_0 el de las mismas en el punto A' , dichas constantes tienen las expresiones siguientes:

$$A = \alpha'_0 - \alpha_0$$

$$B = x'_0 - x_0$$

$$C = y'_0 - y_0.$$

Si el punto A está fijo, B y C son cero, y si además está empotrada la pieza en el tam-

bien A es igual a cero.

135. Si se fijan la posición o la dirección de algunos de los elementos de la pieza curva, se originarán reacciones equivalentes a fuerzas o a pares, lo mismo que en las piezas rectas. Las ecuaciones de equilibrio de los sistemas rígidos no pueden determinar mas que dos de estas reacciones, y las restantes introducidas como incógnitas en las ecuaciones anteriores, se determinan por las condiciones dadas para sus puntos de aplicación, como se hacía en las piezas rectas. Si el punto considerado solo está sujeto a permanecer sobre cierta línea dada, la eliminación de x e y entre las ecuaciones de esta curva y las (15) y (16) dará la intensidad de la reacción normal a la curva; si el punto ha de estar fijo, las dos componentes de la reacción se hallarán haciendo $x' = x$ e $y' = y$ para ese punto en las mismas ecuaciones (15) y (16); y si la dirección de un elemento de curva es fija e invariable, el momento del par que resulta lo da la ecuación (14) en que se haga $\alpha' = \alpha$ para aquel punto.

136. Las cantidades M y I son funciones lineales y sin término constante de todas las fuerzas continuas o discontinuas que soliciten al sólido desde el punto m hasta la extremidad libre B : por consiguiente, el segundo miembro de cada una de las ecuaciones (14), (15) y (16) equivale a la suma de los valores que tomaría la función que lo representa si se sustituyen en ella las cantidades M o I que corresponden a cada fuerza aislada. De aquí se deduce que las desviaciones de cada punto, causadas por un conjunto cualquiera de fuerzas, equivale a la suma de las que cada fuerza produciría separadamente si actuase sola en la pieza; y del mismo modo, las reacciones que producen los obstáculos fijos (135) equivalen a la resultante de las que cada fuerza produciría por separado. Esta propiedad simplifica mucho las investigaciones relativas a la resistencia de las piezas curvas.

137. Antes de resolver ningún ejemplo particular, se observará, que siémpre que la figura del eje de una pieza sea la de la cur-

ra funicular que corresponde a la distribución de fuerzas de que está cargada, no hay flexión ninguna, por que por las propiedades de estas curvas, la resultante de todas las fuerzas que actúan desde la extremidad libre hasta un punto cualquiera de su longitud pasa por este punto, pues es la tensión del elemento que le corresponde, y por consiguiente el momento M es cero en toda la extensión de la pieza y $\alpha' = \alpha$. Otras piezas sufren solo una compresión, y la figura de su eje se llama curva de equilibrio. La forma de equilibrio para pesos repartidos uniformemente sobre la longitud de la pieza es la cadeneria, para pesos repartidos uniformemente segun una línea horizontal es la parábola, y para fuerzas normales a la pieza, el radio de curvatura del eje está en razón inversa de la presión que corresponde a cada punto, siendo la compresión longitudinal constante, cuya propiedad corresponde al círculo cuando la presión es uniforme en toda la extensión de la curva.

138. Los arcos circulares son los únicos que

ocurre en la práctica calicular.

Sea ABC (figura 66) el eje de una pieza circular, empotrada en un plano vertical AB que pasa por el centro O , y cargada con un peso P en un punto B . Haciendo

$OA = OB = \rho$, $AOm = \alpha$, $AOB = \theta$, $AC = \xi$, $Ap = x$, $pm = y$, $Am = s$, se tendrá

$$x = \rho \sin \alpha, \quad y = \rho (1 - \cos \alpha), \quad s = \rho \alpha.$$

La flexión de las dos partes AB, BC , se habrá de considerar separadamente, y en la extensión de la primera serán

$M = P \times pq = P \rho (\sin \theta - \sin \alpha)$, $T = P \sin \alpha$, y como las constantes α_0, A, B y C son cero por que el origen de coordenadas está en el extremo A , fijo en posición y dirección, las ecuaciones (14), (15) y (16) tomarán la forma

$$\alpha' - \alpha = \frac{P}{E} \rho^2 (\alpha \sin \theta + \cos \alpha - 1);$$

$$\alpha' - x = \frac{P}{E} \rho^2 \left[\sin \theta (\sin \alpha - \alpha \cos \alpha) + \frac{1}{2} \sin^2 \alpha + \cos \alpha - 1 \right] + \frac{1}{2} \frac{P}{E_w} \rho \sin^2 \alpha;$$

$$y' - y = \frac{P}{E} \rho^2 \left[\sin \theta (\alpha \sin \alpha + \cos \alpha - 1) + \frac{1}{2} \sin \alpha \cos \alpha + \frac{1}{2} \alpha - \sin \alpha \right] + \frac{1}{2} \frac{P}{E_w} \rho [-\sin \alpha \cos \alpha + \alpha].$$

llamando θ' al valor de α en el punto B , en que $\alpha = \theta$, y h y f a las proyecciones de

la desviación del mismo punto sobre los ejes, se tendrá'

$$\theta' - \theta = \frac{P}{E} \varphi^2 (\theta \operatorname{sen.} \theta + \cos. \theta - 1)$$

$$h = -\frac{P}{E} \varphi^2 \left(\frac{3}{2} \operatorname{sen.}^2 \theta - \theta \operatorname{sen.} \theta \cos. \theta + \cos. \theta - 1 \right) + \frac{1}{2} \frac{P}{E \omega} \varphi \operatorname{sen.}^2 \theta,$$

$$f = \frac{P}{E} \varphi^3 \left(\theta \operatorname{sen.}^2 \theta + \frac{3}{2} \operatorname{sen.} \theta \cos. \theta - 2 \operatorname{sen.} \theta + \frac{1}{2} \theta \right) + \frac{1}{2} \frac{P}{E \omega} \varphi (-\operatorname{sen.} \theta \cos. \theta + \theta).$$

En la parte BC no actúa fuerza alguna directamente, por lo cual el giro de todas sus secciones es debido solo al de la primera, que corresponde al punto B, y se tendrá' en toda la extensión de dicha parte,

$$\alpha' - \alpha = \theta' - \theta,$$

$$x' - x = h - \varphi (\theta' - \theta) (\cos. \theta - \cos. \alpha),$$

$$y' - y = f + \varphi (\theta' - \theta) (\operatorname{sen.} \alpha - \operatorname{sen.} \theta);$$

y llamando Φ al valor de α' en el punto C, y h', f' a las proyecciones de la desviación del mismo punto, en que $\alpha = \Phi$, se tiene,

$$\Phi - \theta = \theta' - \theta,$$

$$h' = h - \varphi (\theta' - \theta) (\cos. \theta - \cos. \Phi),$$

$$f' = f + \varphi (\theta' - \theta) (\operatorname{sen.} \Phi - \operatorname{sen.} \theta).$$

539. Si el mismo arco está solicitado por una fuerza horizontal Q en el mismo punto B, se tendrá' en la parte AB,

$$M = Q \times mr = Q (\cos. \alpha - \cos. \theta), \quad T = Q \cos. \alpha,$$

y las ecuaciones serán

$$\alpha' - \alpha = \frac{Q}{E} \varphi^2 (\operatorname{sen.} \alpha - \alpha \cos. \theta),$$

$$x' - x = -\frac{Q}{E} \varphi^3 \left[\frac{1}{2} \alpha - \frac{1}{2} \operatorname{sen.} \alpha \cos. \alpha - \cos. \alpha (\operatorname{sen.} \alpha - \alpha \cos. \alpha) \right] - \frac{1}{2} \frac{Q}{E \omega} \varphi (\operatorname{sen.} \alpha \cos. \alpha + \alpha),$$

$$y' - y = \frac{Q}{E} \varphi^3 \left[\frac{1}{2} \operatorname{sen.}^2 \alpha - \cos. \theta (\alpha \operatorname{sen.} \alpha + \cos. \alpha - 1) \right] - \frac{1}{2} \frac{Q}{E \omega} \varphi \operatorname{sen.}^2 \alpha,$$

las que haciendo $\alpha = \theta$ dan

$$\theta' - \theta = \frac{Q}{E} \varphi^2 (\operatorname{sen.} \theta - \theta \cos. \theta),$$

$$h = -\frac{Q}{E} \varphi^3 \left(\frac{1}{2} \theta - \frac{3}{2} \operatorname{sen.} \theta \cos. \theta + \theta \cos.^2 \theta \right) - \frac{1}{2} \frac{Q}{E \omega} \varphi (\operatorname{sen.} \theta \cos. \theta + \theta),$$

$$f = \frac{Q}{E} \varphi^3 \left(\frac{1}{2} \operatorname{sen.}^2 \theta - \theta \operatorname{sen.} \theta \cos. \theta + \cos.^2 \theta + \cos. \theta \right) - \frac{1}{2} \frac{Q}{E \omega} \varphi \operatorname{sen.}^2 \theta.$$

En la parte BC las ecuaciones son idénticas a las del párrafo anterior, debiendo sustituir en ellas los valores de $(\theta' - \theta)$, h y f que se acaban de escribir.

540. Si el mismo arco con un peso P en el punto B, tiene el punto C sujeto a la condición de permanecer siempre en la vertical ab (figura 67), se puede considerar como libre en este extremo y solicitado por una fuerza Q perpendicular a dicha línea ab. La intensidad de esta fuerza se determina por la condición de que en el punto C sea $x' - x = 0$, valor que se obtendrá' (536) sumando las expresiones de h' que corresponden a la acción de la fuerza P (538) y de la reacción Q (539), haciendo en esta última $\theta = \Phi$. Resulta de este modo, haciendo las sustituciones necesarias,

$$-\frac{P}{\varepsilon} \left(\frac{3}{2} \sin^2 \theta - \theta \sin \theta \cos \theta + \cos \theta - 1 \right) + \frac{1}{2} \frac{P}{E\omega} \left(\sin^2 \theta - \frac{P}{\varepsilon} \left(\theta \sin \theta + \cos \theta - 1 \right) (\cos \theta - \cos \Phi) \right. \\ \left. + \frac{Q}{\varepsilon} \left(\frac{1}{2} \Phi - \frac{3}{2} \sin \Phi \cos \Phi + \Phi \cos^2 \Phi \right) + \frac{1}{2} \frac{Q}{E\omega} \left(\sin \Phi \cos \Phi + \Phi \right) \right) = 0.$$

De aquí se deduce el valor del empuje

$$Q = P \frac{\frac{1}{2} \sin^2 \theta - \cos \Phi (\theta \sin \theta + \cos \theta - 1) - \frac{1}{2} \alpha \sin^2 \Phi \sin^2 \theta}{\frac{1}{2} \Phi - \frac{3}{2} \sin \Phi \cos \Phi + \Phi \cos^2 \Phi + \frac{1}{2} \alpha \sin^2 \Phi (\sin \Phi \cos \Phi + \Phi)},$$

representando por α la expresión $\frac{\varepsilon}{E\omega \int^2 \sin^2 \Phi}$, que por lo común es una fracción muy pequeña.

543. Un arco circular simétrico (figura 68) cargado de dos pesos iguales en puntos B, B' equidistantes del medio A, y apoyado por sus extremidades C y C' de modo que estas no puedan separarse, se puede considerar como compuesto de dos mitades iguales, empujada cada una en el punto A, cargada de un peso P en B, y soliciada en C por una fuerza vertical P' y otra horizontal Q que obliga a este punto a no salir de la vertical. La simetría de la figura determina el valor de P' igual a P, aunque dirigida en opuesto sentido, y el empuje Q se puede conocer entonces (536) sumando los valores de las reacciones contrarias que pueden originar las dos fuerzas verticales. Siendo θ la amplitud del arco AB, y Φ la del AC, resulta

$$Q = P \frac{\frac{1}{2} (\sin^2 \Phi - \sin^2 \theta) + \cos \Phi (\theta \sin \theta + \cos \theta - \Phi \sin \Phi - \cos \Phi) - \frac{1}{2} \alpha \sin^2 \Phi (\sin^2 \Phi - \sin^2 \theta)}{\frac{1}{2} \Phi - \frac{3}{2} \sin \Phi \cos \Phi + \Phi \cos^2 \Phi + \frac{1}{2} \alpha \sin^2 \Phi (\Phi + \sin \Phi \cos \Phi)}$$

542. Cuando un arco simétrico (figura 67) está cargado de un peso P en un solo punto B, el empuje Q que resulta, se calcula con suma sencillez por la consideración siguiente. Si el mismo arco se hubiese cargado tan solo en otro punto B' (figura 70) con el mismo peso, el empuje ocasionado tendría cierta intensidad Q', y si al mismo tiempo se cargan en los puntos B y B' (figura 71) el empuje, que se representará ahora por Q_s, será igual a la suma de los anteriores Q y Q' (536): si el punto B' es el simétrico respecto del B, se tendrá evidentemente Q = Q', y por consiguiente Q_s = 2Q, y

$$Q = \frac{1}{2} Q_s,$$

teniendo Q_s la expresión dada últimamente (543).

Se ve con facilidad que este valor del empuje Q se puede poner bajo la forma

$$Q = P \frac{A}{B} \frac{1 - \kappa \alpha}{1 + 26 \alpha}, \quad (57)$$

en la que A es una función de Φ y θ , B y

x' son funciones de Φ sola, y x es una función de Φ y θ , pero que se ha observado que es casi constante para cada valor de Φ . Mor. Bresse ha calculado una tabla que da el valor del factor $\frac{A}{B}$ para cada valor de Φ y de θ , con lo que se puede conocer la parte principal del empuje, y otra tabla da los valores de x' y el término medio de los de x para cada valor de Φ , con los cuales se puede averiguar la corrección que introduce en el valor del empuje la consideración de la presión longitudinal T , corrección que es siempre pequeña por que lo es el valor de α .

143. Cuando haya pesos repartidos de una manera continua en cierta extensión del arco, la fórmula (57) dará el empuje elemental que ocasiona cada peso infinitamente pequeño, substituyendo la expresión de este en lugar de P , y el empuje total se hallará sumando o integrando estas expresiones entre los límites de θ que correspondan a cada extremidad de la extensión cargada. Si el peso está repartido uniformemente sobre la longitud del arco, siendo p el que cor-

ga sobre la unidad de esta, se tendrá

$$Q = p \int_{\theta_1}^{\theta_2} \frac{A}{B} \frac{s - x\alpha}{s + x\alpha} d\theta;$$

y si está repartido proporcionalmente a las longitudes de la proyección horizontal, se tendrá

$$Q = p \int_{\theta_1}^{\theta_2} \frac{A}{B} \frac{s - x\alpha}{s + x\alpha} \cos. \theta d\theta.$$

Cuando los pesos ocupen toda la extensión del arco, los límites de la integración serán $-\Phi$ y $+\Phi$, y su resultado atendiendo a que x es casi constante y su influencia pequeña, se puede poner bajo la forma

$$Q = Pm \frac{s - x\alpha}{s + x\alpha},$$

en la que P representa el peso colocado en toda la extensión del arco y m es una función de Φ , que varía según el modo de repartición de los pesos. Estos coeficientes se hallan igualmente calculados para cada valor de Φ .

144. Los arcos de figura parabólica se calculan solo por que ofrecen un poco mas de sencillez en sus resultados, y cuando son de pequeña amplitud los dan iguales a los de

un círculo de igual montea y luz; pero las tablas mencionadas para los arcos de círculo hacen inútil suponerlos sustituidos por los para bólicas, cuyo cálculo, por otra parte, no ofrece novedad ni dificultad alguna.

54.5. La resistencia permanente de las piezas curvas será suficiente, si se verifica la ecuación

$$R = \frac{T}{\omega} + \frac{s' M}{I}$$

para el valor máximo del segundo miembro: este máximo no se puede hallar directamente con facilidad en todas ocasiones; y entonces se puede recurrir á una construcción gráfica que manifieste la posición de los puntos de rotura y la mayor presión que tiene lugar en ellos. Supongamos, por ejemplo, un arco (AC) (figura 72) cargado de pesos uniformemente repartidos, y sujeto á las fuerzas S, S' que provienen de las dos reacciones de los apoyos, se puede examinar su resistencia tomando sobre una línea Os (figura 73) distancias proporcionales á las longitudes de la mitad de la pieza AC, y tomando paralelamente á otra línea Or, per-

pendicular á la primera, longitudes proporcionales á la cantidad $\frac{T}{\omega}$, con lo que se obtendrá una curva ABC que representará la presión variable sobre el eje de la mitad de la pieza. Tomando luego longitudes proporcionales á $\frac{Mx'}{I}$ á contar desde la curva ABC, y á ambos lados de ella, se obtendrán las curvas DBGC, EBFC, que representarán la tensión ó presión que se verifique en cada punto de las fibras del traidos ó del intrados del semi-arco. El examen de la figura hace ver que no hay tensión mas que en una longitud representada por Oa desde el vértice en el intrados y en otra longitud representada por Oc cerca del arranque en el traidos. Los puntos de rotura son dos, uno en el vértice por el traidos, y otro cerca de los arranques en el intrados, dados por los puntos D y F en que la tangente es horizontal, y de los dos, el ultimo es el que ofrece mayor facilidad de rotura en este ejemplo. El punto B en que se cruzan las curvas corresponde á un punto de inflexion en

la elástica, que según esto ofrecerá la forma $Cba'c'b'c'$ (figura 72), en la que los puntos de rotura son b , a y b' , y los de inflexión son c y c' . Estas investigaciones son fáciles cuando ya se conoce por las tablas el valor del empuje Q .

346. A medida que un arco es mas rebajado, conservando la misma luz y la misma carga, es mayor el empuje que produce, pero como el brazo de palanca, o su distancia a los puntos de la curva es menor, el momento M varía de diverso modo, y conservándose la misma la sección transversal, la presión máxima tiene un mínimo para cierto valor de la amplitud del arco. Esta amplitud se halla en los arcos circulares por tanteos numéricos, y su relación con las dimensiones de la sección transversal y la luz se encuentra en la tabla siguiente:

Valor de α .	Relación de la longitud del arco con la semicircunferencia.
	$\frac{2\Phi}{\pi}$
0,0001	0,39.
0,0002	0,37.
0,0003	0,39.
0,0004	0,41.
0,0005	0,43.
0,0006	0,46.
0,0008	0,48.
0,0010	0,51.
0,0012	0,52.
0,0015	0,53.

Por esta tabla se ve que en los casos que ocurren en las aplicaciones, la amplitud del arco debe estar comprendida entre unos 60° y 90° para que ofrezca el máximo de resistencia de que es capaz.

Lección 50.^a

Sólidos de igual resistencia.

547. En todo lo que antecede se han estudiado los sólidos cuya sección transversal es constante, como sucede casi siempre en las aplicaciones importantes; pero como las piezas de esta forma contienen un exceso de material, por que en todos los puntos que no son de rotura la tensión ó presión máxima no llega al límite de la resistencia permanente, puede ser útil averiguar qué ley de variación habrían de seguir las secciones transversales para que en todas ellas fuera la misma la máxima desviación longitudinal relativa.

548. La condición para que un sólido sea de igual resistencia es que la ecuación (50) se verifique en todos los puntos

de su longitud. Dado el sistema de fuerzas y la forma del eje, los valores que tomen las cantidades w , I y v' determinan las dimensiones de la sección en cada punto del eje, conocida que sea su forma. Se ve según esto que puede haber una infinidad de formas de igual resistencia para cada caso en que se encuentren las piezas.

549. En una pieza de eje rectilíneo sujeta á fuerzas que le son perpendiculares, la condición de igual resistencia es (64).

$$\frac{I}{v'} = \frac{M}{R}$$

Suponiéndola empotrada en una extremidad (figura 74) y cargada de un peso P en la extremidad opuesta y de pesos uniformemente repartidos en toda su longitud, la ecuación es

$$\frac{I}{v'} = \frac{s}{R} \left[P(a-x) + \frac{s}{2} p (a-x)^2 \right]$$

y como el momento de rotura es proporcional á la tercera potencia de las líneas homologas de la sección, el sólido estará terminado por una superficie de tercer grado, ó grado inferior, cuyo eje sea el de la pieza. Si esta sección ha de ser un rectángulo, cuyos

ladas sean b y $2v'$ de las que se supone b constante, o que la pieza esté limitada lateralmente por dos planos verticales, se tendrá

$$I = \frac{8bv'^3}{32},$$

y la ecuación de la superficie cilíndrica que la termina horizontalmente será

$$\frac{2bv'^2}{3} = \frac{1}{R} \left[P(a-x) + \frac{p}{2}(a-x)^2 \right]$$

que corresponde a una hipérbola, cuyo eje real es el de la pieza AB , tiene su centro a una distancia $BC = \frac{P}{pa} a$, y su vértice en el punto de aplicación del peso. En la sección fija, haciendo $x=0$, resulta

$$c = \sqrt{6 \left(\frac{P+pa}{2} \right) \frac{a}{R}}$$

que será la altura constante del rectángulo si el sólido hubiese de ser prismático.

Si la carga se reduce al peso P , $p=0$ y el centro está en el infinito, convirtiéndose la curva en una parábola y la sección fija tiene por altura

$$c = \sqrt{\frac{6Pa}{Rb}}$$

Si $P=0$, la hipérbola se reduce a dos rectas que pasan por el punto B con el que se ha confundido el centro (figura 75).

150. Cuando el sólido está apoyado por sus dos extremos, cargado en un punto cualquiera de su longitud de un peso $2P$ (38) y de pesos distribuidos uniformemente, siendo la sección rectangular de base constante, la ecuación de las superficies superior e inferior será en la parte C (figura 76)

$$\frac{2}{3} Rbv'^2 = \left[\frac{P(a-d)}{a} + pa \right] (a+d-x) - \frac{p}{2} (a+d-x)^2$$

que pertenece a una elipse cuyo eje mayor es el de la pieza y cuyo centro está a una distancia del punto medio igual a

$$\frac{P \frac{a-d}{a}}{pa} a:$$

para la otra parte del sólido resulta otra elipse, cuyo centro está a la distancia del punto medio igual a

$$\frac{P \frac{a+d}{2}}{pa} a,$$

teniendo cada una su vértice en los puntos de apoyo. Si el peso está en el medio, los dos arcos de elipse son iguales y sus centros están a la distancia $\frac{P}{pa} a$ de dicho punto: si la carga toda está repartida uniformemente, o $P=0$ cada arco es una semi-elipse; pero si es $p=0$ se convierten en dos arcos de parábola. La altura de la sección

152.

en que está el peso aplicado es

$$c = \sqrt{\frac{6(P + \frac{1}{2}pa)}{Rab}} (a^2 - d^2)$$

151. Si el peso, $2P$ ha de recorrer toda la distancia AB , la curva que limita al sólido de mínimo volumen es la envolvente de todas las que corresponden a cada posición del peso, y su ecuación será la última, en que se tomen como variables $\frac{1}{2}c$ y d , que corresponden a una elipse, cuyo centro está en el punto medio de AB , y sus ejes menores

$$\sqrt{\frac{3(P + \frac{1}{2}pa)a}{2Rb}}$$

Todos los puntos en que el peso no está aplicado, tienen una resistencia escasa.

152. Si los sólidos han de estar terminados por planos horizontales paralelos, las superficies cilíndricas que los terminan verticalmente tienen por directrices parábolas que se reducen a líneas rectas cuando $p=0$. Si la sección ha de ser circular, son sólidos de revolución, cuya superficie tiene una meridiana de tercer grado en r : del mismo son las superficies cilíndricas si se fija una relación entre los dos lados del rectángulo.

153.

153. En un sólido de longitud a empotrado por sus dos extremidades (figura 77), cargado de un peso P en el punto medio y de pesos uniformemente repartidos en su longitud, la condición de igual resistencia es (344) colocando el origen en el medio C , y tomando hacia arriba las ordenadas positivas,

$$\frac{I}{v^2} = \frac{s}{2R} \left[P\left(\frac{1}{4}a - x\right) + \frac{s}{2}p\left(\frac{1}{12}a^2 - x^2\right) \right],$$

cuya ecuación conduce a una forma como la de la figura 77, con dos vértices en los puntos D y E , en que el espesor debería ser nulo. Si la sección ha de ser rectangular, de base constante, esta ecuación se convierte en la siguiente:

$$\frac{2}{3}bv^2 = \frac{s}{2R} \left[P\left(\frac{1}{4}a - x\right) + p\left(\frac{1}{12}a^2 - x^2\right) \right],$$

que pertenece a una elipse desde C a E , y a una hipérbola desde E a B .

154. Aunque los sólidos de las figuras 74 y 76 tienen en todos sus puntos resistencia suficiente a la desviación longitudinal, en la proximidad a sus extremos, en que se reduce su espesor a cero, no la tendrán suficiente a la desviación lateral. Según la fórmula (4) el espesor de la pieza de la figura

74 no puede bajar en cada punto de

$$\frac{P+p(a-x)}{T},$$

cuya ley de variación estaría representada por el trapecio $abdc$ (figura 78) de lo que resulta que la forma buscada tiene que ser la $abcdef$ (figura 79), resultado de la superposición de las dos figuras 74 y 78. En el caso de la figura 76, en que los pesos están dirigidos en sentido contrario a las reacciones, el espesor dado por la fórmula (4) es

$$\text{para la parte AC} \dots \frac{P \frac{a+d}{2} - p(d-x)}{T}$$

y para la parte CB $\dots \frac{P \frac{a+d}{2} - p(d+x)}{T}$ según está representado en la figura 80, resultando de su combinación con la 76 la forma $abcdefg$ (figura 81) que contiene el menor volumen que puede tener el sólido P propuesto para que resista de una manera efectiva a los esfuerzos que lo solicitan. Finalmente, en el sólido de la figura 77, el espesor necesario es

$$\frac{\frac{1}{2} P + p x}{T}$$

representado en la figura 82, cuya combina-

ción con la 77, produce la 83.

155. Si un sólido de eje rectilíneo (figura 84) está empotrado por una extremidad y sujeto solo a su propio peso, llamando p al de la unidad de volumen y suponiendo que la sección ha de ser un rectángulo de base o anchura b constante, el peso de un elemento $m n$, comprendido entre la extremidad B y un punto cualquiera o respecto del cual se toman los momentos, es

$$2pbv'dx',$$

llamando v'' y x' a las coordenadas del punto n . La condición de igualdad de resistencia es

$$R \frac{v'^2}{3} = p \int_{\infty}^x v'' dx' (x' - x):$$

diferenciándola dos veces con respecto a x , resulta

$$p v' = \frac{R}{3} \frac{d^2 v'^2}{dx^2}$$

o integrándola ahora, se obtiene la ecuación

$$v' = \frac{p(a-x)^2}{4R},$$

que corresponde a una parábola de eje vertical, cuyo vértice está en el extremo B .

156. Si en las figuras de igual resistencia se toma solamente la parte de sólido comprem-

stida entre una mitad de la circunferencia y el eje; los centros de gravedad no formarán ya una línea recta; pero ordinariamente, como la altura de las secciones es pequeña respecto de la longitud de la pieza, se pueden tomar sin error sensible como exactas las anteriores ecuaciones de momentos, y considerar también como sólidos de igual resistencia a los que están terminados por planos horizontales en una de sus caras. Esta disposición es necesaria cuando han de cargarse pesos inmediatamente sobre las caras del sólido, que es lo más frecuente. Las figuras 25 reemplazarán entonces a las anteriores, pero para que la resistencia sea la misma, ha de ser doble la altura de cada sección.

157. Un sólido de eje vertical sujeto a un peso en su parte superior, si su altura no excede al límite de las flexiones, no sufrirá más que compresión, y la figura quedará determinada por la condición de que ^{en} cada sección horizontal, el área sea igual a la que corresponde al peso que sufre, tanto por la carga como por el peso propio del sólido, que cuando se

trate de columnas de piedra, por ejemplo, podrá ser considerable.

Sea AB (figura 86) el eje de la columna y ab la curva intersección de la superficie exterior con un plano vertical que pasa por el eje: suponiendo que todas las secciones horizontales sean figuras semejantes, y llamando v a la línea oc que proviene de la intersección de dicho plano vertical con el de una sección horizontal, el área de la sección dada por c podrá representarse por el producto $k v^2$, y por consiguiente, el mayor peso que se le pueda cargar será

$$R k v^2.$$

El peso de un elemento de volumen $m v$ comprendido entre dos planos horizontales paralelos, llamando p al de la unidad y x, v a las coordenadas de todo punto situado entre B y c , será

$$p k v^2 dx,$$

y llamando P al peso que carga sobre la cara superior, la ecuación de la curva ab será

$$R k v^2 = p k \int_0^{x,2} v^2 dx + P.$$

Diferenciando esta ecuación resulta

$$R \frac{dv^2}{dx} = p v^2,$$

é integrándola

$$\frac{2R}{p} \log v = x + c.$$

La constante se determina por la condición de que en el punto B en que $x = 0$ sea $k v^2 = \frac{P}{R}$, y llamando b al valor que toma v en el punto B, queda

$$\frac{2R}{p} \log \frac{v}{b} = x$$

ecuación que expresa que toda sección plana vertical habrá de ser una logarítmica que pase a la distancia b del punto B del eje, distancia que se determina por la condición

$$b = \sqrt{\frac{P}{Rk}}$$

siendo k dependiente solo de la figura que se quiera dar a la sección.

Cuando el sólido es de pequeña longitud o su peso específico es poco considerable, la curvatura resulta tan poco sensible que apenas se diferencia de la recta bb' tangente a la logarítmica en b ; y aun muchas veces casi se confunde con una vertical.

158. Si el sólido tiene tal longitud, que puede sufrir una flexión sin alterarse su elasticidad, la condición de igual resistencia es (113)

$$R = \frac{Q}{\omega} + \frac{v' Q y}{I}$$

siendo y la ordenada de la elástica en cada punto del eje, y no considerando la acción del propio peso del sólido. Suponiendo que la sección sea circular, se tendrá

$$\omega = \pi r^2, \quad I = \frac{\pi r^4}{4}, \quad v' = r,$$

por consiguiente, la ecuación de la meridiana de la superficie de revolución que termina el sólido será

$$r^3 \frac{Q}{\pi R} r = \frac{4 Q y}{\pi R}.$$

Si se supone apoyada la pieza simplemente por su extremo inferior como en la figura 49, la figura es simétrica (figura 87) correspondiendo el mayor espesor cd al medio o de la longitud AB , y el menor espesor $a b$ a las extremidades A y B en las que se reduce al necesario para resistir a la presión de la fuerza Q .

159. La elástica correspondiente a un sólido de igual resistencia no es la misma que la que corresponde a uno prismático.

En una pieza recta, horizontal, la ecuación de la elástica es

$$\frac{E}{\rho} = M$$

y como se verifica en todos los puntos de la longitud

$$M = \frac{R \cdot I}{V'}$$

resulta

$$\rho' = \frac{E}{R} \cdot v'$$

de modo que el radio de curvatura es proporcional a la ordenada de la sección transversal.

Cuando la pieza esté terminada horizontalmente por dos planos paralelos, la curva será un arco de círculo.

En todos los casos, la flexión de un sólido de igual resistencia es mayor que la de uno prismático circunscrito, porque siendo las secciones menores en el primer caso que en el segundo, oponen menos obstáculo al giro sobre su centro de gravedad.

Lección 33.^a

De la torsión.

160. Estudiado ya detenidamente uno de los movimientos principales de rotación que puede tomar la sección transversal de un sólido por la combinación de las fuerzas exteriores con las reacciones elásticas, queda solo por analizar sucintamente la otra rotación principal, que se conoce con el nombre de torsión. Suponiendo que todas las fuerzas que actúan en una sección se reduzcan a un par cuyo plano le sea paralelo, el equilibrio de la elasticidad está expresado por la ecuación (6)

$$N = \frac{y \theta}{z}, \text{ --- (6)}$$

en la que N es el momento del par y el momento de torsión, θ la cantidad que la sección ha girado respecto de la inmediata y z la distancia entre ambas. Llamando ϕ al giro que ha experimentado la sección respecto de su posi-

ción primitiva; y x su distancia a cierto punto del eje del sólido, contada sobre este mismo eje, el giro respecto de la sección inmediata, será $\theta = d\phi$, y la distancia de las dos será $z = dx$, tomando la ecuación (6) la forma

$$N = \gamma \frac{d\phi}{dx}$$

363. Suponiendo que el sólido sea de eje recto y sección constante, y que sea también constante el par que tiende a torcerlo, que es el caso que ocurre casi exclusivamente en la práctica (como sucede cuando un árbol cilíndrico AB (figura 88) recibe dos acciones iguales y contrarias aplicadas a las circunferencias de dos ruedas iguales R, R') se le podrá considerar como fijo en su sección A , y sujeto en la otra extremidad B a la acción del par. Tomando por origen de las coordenadas x el punto A , y la recta Aa y sus homólogas y paralelas como las Ca y Ba , en las demás secciones para origen de los ángulos ϕ , la torsión que ha experimentado el árbol desde A hasta C se encontrará que es, integrando la ecuación última

$$N = \gamma \frac{\phi}{x}$$

sin constante añadida, por que en la sección A son $\phi = 0$ y $x = 0$; y en el punto B , en que $x = a$, y $\phi = \theta$, se tendrá

$$N = \gamma \frac{\theta}{a}$$

Este resultado indica que el ángulo de torsión en cada punto del eje es proporcional a su distancia a la extremidad del sólido, y que la desviación lateral relativa de las secciones inmediatas es constante en toda la longitud, resultando que las líneas que antes de la torsión eran rectas, se convierten después de ella en hélices. Se comprende de este modo lo perjudiciales que han de ser en la maquinaria los árboles de transmisión muy largos y delgados, por que admitiendo una torsión considerable, no comunicarán el movimiento que reciben en una extremidad a la opuesta sino con cierto retraso, que conviene muchas veces evitar.

362. Debe recordarse que la fórmula (6) se ha establecido en la suposición de que todas las secciones planas perpendiculares al eje del sólido, se conservan planas después de la torsión (45); pero esta hipótesis no es exacta;

ni aun aproximada, fuera del caso en que la sección sea circular, y, por consiguiente las fórmulas que se acababan de establecer no se pueden aplicar mas que a los cilindros de revolución, que por otra parte son las formas que casi exclusivamente se someten a torsiones considerables. Un análisis mas delicado hace ver que si la sección es un cuadrado, la ecuación de equilibrio es

$$N = 0,843 \gamma \frac{G}{x},$$

y si es una estrella de cuatro puntas de la misma longitud que el núcleo, se reduce a

$$N = 0,54 \gamma \frac{G}{x},$$

resultados que demuestran que el círculo es la forma de mayor resistencia a los efectos de la torsión.

363. La derivación lateral relativa de un punto de la sección, cuya distancia al eje sea r , es

$$\frac{r\theta}{x},$$

y como por la ecuación (6)

$$\frac{\theta}{x} = \frac{N}{Y},$$

esta derivación se puede expresar en función de las fuerzas que la ocasionan por la fórmula

$$\frac{r N}{Y}$$

y llamando r' al mayor radio de la sección, la condición de resistencia suficiente en ella será

$$\frac{T}{G} = \theta' > \frac{r' N}{Y},$$

de la que se deduce la ecuación de resistencia

$$N = T \frac{K}{r'},$$

cuyo segundo miembro se llama el momento de rotura, y sirve para determinar las dimensiones de los sólidos o las fuerzas que se les pueden aplicar.

364. Por lo dicho antes (362) esta ecuación no es exacta mas que para los sólidos circulares, pero para los demas, no solo se ha de afectar el momento de torsión del coeficiente que se ha indicado, sino que se ha de tener presente que en virtud del alabeo de las secciones, el punto de rotura se halla en los del contorno de la sección que distan menos del centro de gravedad, correspondiendo en un cuadrado al punto medio de cada lado. Avisos, que el momento de rotura de un círculo de radio r es (56 y 163.

$$T \frac{\pi r^3}{2}$$

pero el de un cuadrado cuyo lado sea b será (52, 53 y 162)

$$0,343 I \frac{b^3}{3};$$

resultados que confirma la experiencia; pues las barras prismáticas que se truenen excesivamente, se rompen rajándose por sus caras en sentido de la longitud.

165. Un árbol AB (figura 83) fijo en sus dos secciones extremas, y que sostiene en un punto E un peso P a cierta distancia CD del eje; por consecuencia de la traslación de esta fuerza al punto C se encuentra sometido a la torsión por el par (P, P'') al mismo tiempo que la fuerza P' igual a estas, ocasiona una flexión del género de las estudiadas en las lecciones 5.^a y 6.^a; pero se ha observado que mientras X no llegue a ser $\frac{2}{3}$ del mayor valor de M , las dimensiones que da el cálculo de la flexión son suficientes para resistir a la torsión. Cuando el momento X sea mayor, el cálculo de las dimensiones exactas tendría demasiada complicación; y entonces se pueden buscar aparte las dimensiones del sólido

que requieren por sí solas la flexión y la torsión, y adoptar las que resulten mayores, cuidando, sin embargo, de introducir los coeficientes de rotura (lección 2.^a) que correspondan a las obras de gran solidez, para prevenir el efecto de la combinación de ambos movimientos, que se ayudan mutuamente para aumentar las deformaciones de la pieza en que se verifican.

Appendices.

Apéndice 1.º

Manera de experimentar la resistencia de los materiales.

El objeto de este apéndice es dar á conocer las reglas que han seguido y las precauciones que han tomado los mas hábiles observadores que se han ocupado hasta ahora de esta clase de experimentos. Dos cosas son las que hay que estudiar en ellos; la primera es el modo de disponer y preparar los ejemplares que se someten á las pruebas, y la segunda las máquinas y aparatos con los cuales se hacen.

Por regla general, se procurará que el sólido que se somete á la prueba sea homogéneo en su textura y que tenga con la mayor exactitud la forma segun la que se le quiera ensayar. También se cuidará de que se halle siempre en las mismas circunstancias de humedad, temperatura &c. y no que

podrían influir notablemente en el resultado de las operaciones cuando son delicadas.

Segun sea la resistencia que se ensaye, así será la forma que se dé al ejemplar. Cuando se trate de la resistencia a la compresión, no se dejará parte alguna sujeta a la figura que deba afectar: si debe apoyarse en bases paralelas, es conveniente hacerlo por medio de cartones blandos que aumen o disminuyan el efecto del alabeo y reemplacen el mortero que se usa en las obras; precaución inútil en las esferas y cilindros, pues que su apoyo se ha de verificar solo por un punto o una línea. Si la materia que se ensaya es blanda, como la arcilla, es menester además ir quitando la masa rebasada a medida que se verifica el aplastamiento.

Para someter los materiales a la tensión, es preciso dejar en los extremos un resalto para verificar por él la tracción (figura 30).

Cuando se quiera ensayar la rotura en una dirección dada, se determina antes la dirección por unas pequeñas armaduras o in-

cisiones y se colocan cinchos y armaduras paralelos a ella. (figura 31.)

Las barras de hierro se terminan por ambos lados con un ojo. (figura 38.)

Para la resistencia lateral se puede disponer el sólido en forma de un paralelepípedo en el cual se abren dos cajas cilíndricas opuestas (figura 32) que dejan entre medio un cilindro macizo, el cual ha de desprenderse del resto de la masa para medir esta resistencia.

Para probar las resistencias a la flexión y a la torsión, casi nunca sufren los materiales modificación en su forma, sino es en el caso en que se quiera tener una sección perfectamente fija o empotrada, para lo cual se dispone la cabeza o extremo en resalto, cuya parte es la que se fija, y el sólido entonces, empotrado en su misma masa, queda completamente invariable.

Las máquinas o aparatos consisten de diversas partes, cada una de las cuales merece especial atención. Los apoyos del sistema son la primera, que importa mucho que sean completas.

mente invariables. Conviene por eso hacerlos de materias muy rígidas, como el hierro fundido, dando á los soportes formas triangulares arriostrándolos perfectamente y empostrándolos, si es posible, en un suelo y muros de fábrica. Aun de este modo cuando se hacen operaciones muy delicadas, conviene medir el asiento no permanente de la obra, lo cual se consigue por medio de una escata fija en un punto del muro, cuyo movimiento se observa.

Otra parte muy interesante son los apoyos del sólido de prueba. Cuando se ensaya la resistencia longitudinal, es indispensable que la presión se reparta igualmente en toda su base, para lo cual deben colocarse los ejemplares entre discos muy rígidos de metal: sobre uno de estos discos se coloca una masa de hierro terminada en cuchillo para recibir la presión. Cuando los experimentos versan sobre la flexión, los apoyos deben reducirse á una sola línea, para lo que se emplean cuchillos ó varillas cilíndricas de acero pulimentado; y si el rozamiento

del sólido con la varilla se juzga demasiado considerable, se puede substituir esta por un rodillo (figura 93). El empujamiento se obtiene prolongando la pieza cierta longitud más allá del apoyo y comprimiéndola por medio de un puente y dos tuercas (figura 96). La flexión se impide en todo ó parte con guías ó correderas entre las cuales se coloca el sólido ó solamente sus cabezas. Finalmente, para el ensayo de la torsión, se puede sujetar un extremo del sólido entre los dientes de un tornillo de cerradero, y apoyar el otro en una ganganta circular abierta en un disco de madera ó metal, ó bien puede sujetarse en el medio haciendo en el sólido un resalte y apoyando los dos extremos en una superficie convexa y pulimentada.

Los esfuerzos á que se somete el sólido se aprecian de diversos modos. Cuando no han de ser muy considerables, se pueden colocar inmediatamente en el punto dado del sólido, por medio de un platillo de balanza sujeto á un estribo con pasador cilíndrico (figura 500) ó una cadena de eslabones planos, ó á la p

Vaucanson a (figura 95). Como pesos pueden ponerse lingotes de hierro, y cuando se quiere colocar la carga con suavidad y apreciar diferencias pequeñas, se emplea arena o agua. De todos modos, para evitar movimientos bruscos, conviene que el platillo esté apoyado en la tuerca de un tornillo o incluso brogatos (figura 95).

Si los pesos han de ser de mas consideración se aplican por medio de palancas de hierro o madera fijas por un extremo a un pasador (figura 96) que llevan en el otro un platillo con los pesos, y se apoyan en un punto intermedio en el cuchillo o cilindro que toca a la pieza de ensayo, o estando apoyadas en un cuchillo fijo en un punto intermedio (figura 97) transmiten la presión de abajo arriba por el otro extremo sin sufrir ninguna pérdida por el rozamiento. La influencia de la barra, platillo y cadenas se tiene en cuenta pesándolos antes con una romana, o se anula por medio de contrapesos fijos al mismo aparato (figura 96). En estos casos es inútil emplear precauciones para que

la carga descienda lentamente, pues los movimientos que origina se reducen en el punto de presión a la décima o vigésima parte. Un sistema de inventas y polipastos permite levantar toda la carga en un momento. Para evitar los errores que provienen de los rozamientos de la palanca y multiplicar el efecto de los pesos, Rondelet emplea un tornillo (figura 97) en cuya cabecera un arco de hierro recibe una cuerda solicitada por un peso que transmite la presión a la pieza que se ensaya. Además de estar bien calculada la resistencia pasiva del tornillo, la presión se puede comprobar por medio de la palanca, que se conserva. Esta pieza puede tener una longitud variable, aun que es disposición defectuosa.

En los experimentos en escala mayor se ha empleado la fuerza de una prensa hidráulica.

La última parte importante de estos aparatos, es el deflectormetro, o pieza destinada a medir las flexiones o alargamientos o compresiones que sufren los sólidos.

Puede usarse una regla con un nonius,

pero es preferible un instrumento que multiplique las longitudes, que puede recibir diferentes figuras, segun el objeto á que se destina. Para medir la alargamiento de las barras de hierro Bioton usó el representado en la figura 98, que se compone de dos torniquetes de hierro A y B que se fijan en la barra á la distancia cuya alteración se quiere medir. En el primero A , se alornilla una plancheta de cobre con un arco graduado y una palanca con su nonius gíratória en a ; el segundo B lleva una pieza b que puede deslizar á lo largo de una considerada por medio del tornillo de aproximación c ; d , d' son dos picutas de acero á las cuales se fija una varilla de madera de igual longitud que la parte de barra comprendida entre A y B . Con el tornillo c se puede hacer que la línea de fe' del nonius coincida con el cero, y las variaciones que en su distancia sufran los puntos A y B , quedando la d d' invariable, se podrán medir por el arco graduado. En cualquier punto de la operación que se

quiera, puede volverse la línea de fe' al cero y observar la influencia de un aumento de carga.

Cuando se hayan de medir alteraciones momentáneas se puede sustituir al arco de cobre uno de alambre (figura 99) con dos índices a , a' que deslizarán ajustadas á lo largo de dicho arco: una placita b en que termina la palanca coloca á los índices en su extrema posición.

Otro instrumento que mide las longitudes aumentadas es el representado en la figura 100; consiste en un disco graduado d fijo; en su centro un eje recibe un hilo que por un lado está fijo en el punto cuyo movimiento se observa p y por el otro á la superficie del cilindro. Un índice unido al eje marca en la graduación del disco el movimiento, que estará con el del punto p en la relación de los radios del círculo graduado y del cilindro. Un contrapeso e equilibra en todas sus posiciones el aparato.

Pueden hacerse mas sensibles las

desviaciones reuniendo la palanca con el disco, como en el aparato de la figura 96.

Cuando se hayan de medir solo flecciones, puede usarse una barra encorvada en los dos extremos con un tornillo micrométrico en el centro (figura 305) que dará tantas vueltas como pasos haya bajado, y la fracción de un paso se medirá por la de la circunferencia de la cabeza.

En las observaciones en grande-escala, como en los largueros de puentes, puede emplearse un tablero vertical fijo y una punta de lápiz que unida a la viga y oprimida por un resorte marque en el tablero la extensión de la flecha.

Las efedias de la torsión se miden en un círculo graduado que puede colocarse en la misma polea que recibe el peso, cuya acción la determina. También puede medirse por la longitud de cuerda desarrollada.

Apéndice 2.º

Tablas numéricas
para hallar el empuje de los arcos circulares, calculadas por Mr. Bresse, profesor de mecánica aplicada en la Escuela de puentes y calzadas de París.

Estas tablas se aplican a los arcos de figura circular y sección constante que tienen sus dos extremos fijos a un mismo nivel, y que se doblan en su plano vertical, cuando la carga consiste en pesos distribuidos de un modo cualquiera.

La tabla 1.ª da el coeficiente $\frac{A}{B}$ de la fórmula (37) para las amplitudes angulares del arco, representadas por la relación $\frac{2\Phi}{\pi}$, desde 0,52 hasta la unidad que corresponde al arco de medio punto, y en la suposición de que haya un solo peso P apli-

cado a un punto del arco, cuya posición relativamente al vértice varía desde $\frac{\Phi}{\Phi} = 0$ hasta $\frac{\Phi}{\Phi} = 0,95$, por que cuando $\theta = \Phi$ resulta $\frac{A}{B} = 0$, pues el peso está sostenido directamente por un apoyo.

La tabla 2.^a da el valor del coeficiente m de la fórmula de la página 543 para los mismos valores de $\frac{2\Phi}{\pi}$, tanto en el caso de que la carga P esté repartida uniformemente sobre el arco, como en el que lo esté paralelamente a su proyección horizontal.

Finalmente, la tabla 3.^a da el coeficiente de corrección de ambas fórmulas

$$\frac{1 - K\alpha}{1 + K'\alpha}$$

calculado por el término medio de los valores de x , entre los límites indicados de $\frac{2\Phi}{\pi}$ y para valores de α que varían desde 0,0005 hasta 0,0025. Si se supone $\alpha = 0$ este coeficiente es igual a la unidad.

Tabla I.

Coefficiente de la parte principal del empuje ocasionado por un peso colocado en un punto cualquiera del arco.

Amplitud del arco. $\frac{2\Phi}{\pi}$	Valores de $\frac{\theta}{\Phi}$									
	0,00	0,05	0,10	0,15	0,20	0,25	0,30	0,35	0,40	0,45
0,12	4,125	4,112	4,075	4,042	3,926	3,816	3,682	3,526	3,348	3,149
0,13	3,804	3,793	3,758	3,700	3,621	3,519	3,396	3,251	3,087	2,903
0,14	3,529	3,518	3,486	3,432	3,359	3,264	3,150	3,016	2,863	2,692
0,15	3,291	3,281	3,251	3,200	3,132	3,043	2,936	2,811	2,669	2,509
0,16	3,082	3,072	3,044	2,997	2,933	2,862	2,749	2,632	2,498	2,349
0,17	2,897	2,888	2,862	2,817	2,757	2,679	2,584	2,474	2,348	2,207
0,18	2,733	2,725	2,700	2,657	2,600	2,526	2,437	2,333	2,214	2,081
0,19	2,586	2,578	2,554	2,514	2,460	2,390	2,305	2,206	2,094	1,968
0,20	2,453	2,446	2,423	2,385	2,334	2,267	2,187	2,093	1,985	1,866
0,21	2,333	2,326	2,304	2,268	2,219	2,156	2,079	1,989	1,887	1,774
0,22	2,224	2,217	2,196	2,162	2,115	2,054	1,981	1,895	1,798	1,689
0,23	2,124	2,117	2,098	2,064	2,019	1,965	1,891	1,809	1,716	1,612
0,24	2,032	2,026	2,007	1,975	1,932	1,876	1,809	1,730	1,641	1,541
0,25	1,947	1,941	1,923	1,893	1,851	1,798	1,733	1,658	1,572	1,476
0,26	1,869	1,863	1,846	1,817	1,777	1,725	1,663	1,590	1,508	1,416
0,27	1,797	1,791	1,774	1,746	1,707	1,658	1,598	1,528	1,448	1,360
0,28	1,729	1,724	1,708	1,680	1,643	1,595	1,537	1,470	1,393	1,306
0,29	1,666	1,661	1,645	1,619	1,583	1,537	1,481	1,415	1,341	1,259
0,30	1,607	1,602	1,587	1,561	1,527	1,482	1,428	1,365	1,293	1,213
0,31	1,552	1,547	1,533	1,508	1,474	1,431	1,378	1,317	1,248	1,170
0,32	1,500	1,496	1,481	1,457	1,424	1,387	1,332	1,272	1,205	1,130
0,33	1,452	1,447	1,433	1,410	1,378	1,337	1,288	1,230	1,165	1,092
0,34	1,406	1,401	1,388	1,365	1,334	1,294	1,246	1,190	1,127	1,057
0,35	1,362	1,358	1,344	1,322	1,292	1,254	1,207	1,153	1,091	1,023
0,36	1,321	1,317	1,304	1,282	1,253	1,215	1,170	1,117	1,057	994

Tabla I.

Amplitud del arco. $\frac{2\Phi}{\pi}$	Valores de $\frac{\theta}{\Phi}$									
	0,50	0,55	0,60	0,65	0,70	0,75	0,80	0,85	0,90	0,95
0,12	2,931	2,694	2,443	2,171	1,883	1,592	1,286	0,972	0,654	0,327
0,13	2,702	2,484	2,250	2,003	1,740	1,467	1,185	0,895	0,600	0,303
0,14	2,506	2,303	2,086	1,855	1,612	1,360	1,098	0,830	0,556	0,279
0,15	2,335	2,146	1,943	1,728	1,502	1,266	1,023	0,772	0,517	0,259
0,16	2,186	2,008	1,818	1,617	1,405	1,184	0,956	0,722	0,484	0,242
0,17	2,054	1,887	1,708	1,518	1,319	1,112	0,898	0,678	0,454	0,227
0,18	1,936	1,778	1,610	1,431	1,243	1,048	0,845	0,638	0,427	0,214
0,19	1,830	1,681	1,524	1,352	1,175	0,990	0,799	0,603	0,403	0,202
0,20	1,735	1,594	1,442	1,281	1,112	0,937	0,756	0,574	0,382	0,193
0,21	1,643	1,514	1,370	1,217	1,057	0,890	0,718	0,542	0,362	0,184
0,22	1,571	1,442	1,304	1,159	1,006	0,847	0,683	0,515	0,344	0,172
0,23	1,499	1,376	1,244	1,105	0,959	0,807	0,654	0,494	0,328	0,164
0,24	1,433	1,315	1,189	1,056	0,916	0,774	0,624	0,468	0,313	0,157
0,25	1,372	1,259	1,138	1,010	0,876	0,737	0,594	0,448	0,299	0,149
0,26	1,315	1,207	1,094	0,968	0,839	0,706	0,569	0,428	0,286	0,143
0,27	1,263	1,158	1,047	0,929	0,805	0,677	0,545	0,403	0,274	0,137
0,28	1,214	1,114	1,006	0,892	0,773	0,650	0,523	0,394	0,263	0,131
0,29	1,163	1,072	0,968	0,858	0,744	0,625	0,503	0,379	0,253	0,126
0,30	1,126	1,032	0,932	0,826	0,716	0,601	0,484	0,364	0,243	0,124
0,31	1,086	0,995	0,899	0,796	0,690	0,579	0,466	0,350	0,234	0,116
0,32	1,049	0,961	0,867	0,768	0,665	0,558	0,449	0,337	0,225	0,112
0,33	1,013	0,928	0,837	0,742	0,642	0,539	0,433	0,325	0,217	0,108
0,34	0,980	0,897	0,809	0,716	0,620	0,520	0,418	0,314	0,209	0,104
0,35	0,948	0,868	0,782	0,693	0,599	0,502	0,403	0,303	0,202	0,100
0,36	0,918	0,840	0,757	0,670	0,579	0,486	0,390	0,292	0,195	0,097

Tabla I.

Amplitud del arco $\frac{2\phi}{\pi}$	Valores de $\frac{\phi}{\pi}$									
	0,00	0,05	0,10	0,15	0,20	0,25	0,30	0,35	0,40	0,45
0,37	1,282	1,278	1,265	1,244	1,216	1,179	1,135	1,083	1,025	0,960
0,38	1,245	1,241	1,228	1,208	1,180	1,144	1,101	1,051	0,994	0,931
0,39	1,209	1,205	1,194	1,174	1,146	1,111	1,069	1,021	0,965	0,904
0,40	1,176	1,172	1,160	1,142	1,114	1,080	1,039	0,991	0,937	0,877
0,42	1,113	1,109	1,098	1,080	1,054	1,022	0,983	0,937	0,885	0,828
0,44	1,056	1,052	1,042	1,024	0,999	0,968	0,931	0,887	0,838	0,783
0,46	1,003	1,000	0,990	0,972	0,949	0,919	0,883	0,841	0,794	0,742
0,48	0,955	0,951	0,942	0,925	0,903	0,874	0,839	0,799	0,754	0,704
0,50	0,910	0,907	0,897	0,881	0,859	0,832	0,798	0,760	0,716	0,668
0,52	0,868	0,865	0,856	0,840	0,819	0,793	0,760	0,723	0,681	0,635
0,54	0,829	0,826	0,817	0,802	0,782	0,756	0,725	0,689	0,648	0,604
0,56	0,793	0,790	0,781	0,767	0,747	0,722	0,692	0,657	0,618	0,575
0,58	0,758	0,756	0,747	0,733	0,714	0,690	0,661	0,627	0,589	0,548
0,60	0,726	0,723	0,715	0,702	0,683	0,659	0,631	0,599	0,562	0,522
0,62	0,695	0,693	0,685	0,672	0,654	0,631	0,603	0,572	0,536	0,497
0,64	0,665	0,663	0,655	0,642	0,626	0,607	0,577	0,546	0,512	0,474
0,68	0,614	0,612	0,604	0,592	0,575	0,554	0,528	0,499	0,467	0,431
0,72	0,566	0,564	0,557	0,545	0,529	0,508	0,484	0,456	0,426	0,392
0,76	0,522	0,520	0,516	0,502	0,486	0,467	0,444	0,417	0,388	0,356
0,80	0,482	0,480	0,473	0,462	0,447	0,429	0,406	0,381	0,353	0,323
0,84	0,445	0,443	0,436	0,426	0,411	0,393	0,372	0,347	0,320	0,292
0,88	0,410	0,408	0,402	0,391	0,378	0,360	0,339	0,316	0,290	0,262
0,92	0,378	0,376	0,370	0,360	0,346	0,329	0,309	0,286	0,261	0,235
0,96	0,347	0,345	0,349	0,329	0,316	0,300	0,280	0,258	0,234	0,209
1,00	0,318	0,316	0,311	0,301	0,288	0,272	0,253	0,231	0,208	0,184

Tabla I.

Amplitud del arco $\frac{2\phi}{\pi}$	Valores de $\frac{\phi}{\pi}$									
	0,50	0,55	0,60	0,65	0,70	0,75	0,80	0,85	0,90	0,95
0,37	0,890	0,814	0,733	0,649	0,560	0,470	0,377	0,283	0,188	0,093
0,38	0,863	0,789	0,711	0,628	0,543	0,454	0,364	0,273	0,181	0,090
0,39	0,837	0,765	0,689	0,609	0,526	0,440	0,353	0,264	0,175	0,087
0,40	0,812	0,742	0,668	0,590	0,509	0,426	0,341	0,256	0,170	0,084
0,42	0,766	0,700	0,629	0,555	0,479	0,400	0,320	0,240	0,159	0,079
0,44	0,724	0,661	0,594	0,524	0,454	0,377	0,301	0,225	0,149	0,074
0,46	0,685	0,625	0,561	0,494	0,425	0,345	0,283	0,214	0,140	0,069
0,48	0,650	0,592	0,531	0,467	0,401	0,334	0,266	0,198	0,131	0,065
0,50	0,616	0,559	0,502	0,442	0,379	0,315	0,251	0,187	0,123	0,061
0,52	0,585	0,532	0,476	0,418	0,358	0,297	0,236	0,176	0,115	0,057
0,54	0,556	0,505	0,451	0,396	0,339	0,281	0,223	0,165	0,108	0,053
0,56	0,529	0,480	0,428	0,375	0,320	0,265	0,210	0,155	0,102	0,050
0,58	0,503	0,456	0,408	0,355	0,303	0,250	0,198	0,146	0,096	0,047
0,60	0,479	0,433	0,385	0,336	0,285	0,236	0,186	0,137	0,090	0,044
0,62	0,456	0,412	0,366	0,319	0,271	0,223	0,175	0,129	0,084	0,041
0,64	0,434	0,391	0,347	0,302	0,256	0,210	0,165	0,121	0,078	0,038
0,68	0,393	0,354	0,313	0,274	0,228	0,187	0,146	0,106	0,068	0,033
0,72	0,356	0,319	0,284	0,242	0,203	0,165	0,128	0,092	0,059	0,028
0,76	0,322	0,287	0,254	0,215	0,180	0,145	0,111	0,080	0,050	0,024
0,80	0,291	0,258	0,224	0,191	0,158	0,126	0,096	0,068	0,042	0,019
0,84	0,264	0,230	0,199	0,168	0,137	0,108	0,081	0,057	0,035	0,016
0,88	0,234	0,204	0,175	0,146	0,118	0,092	0,068	0,046	0,027	0,012
0,92	0,208	0,180	0,152	0,125	0,100	0,076	0,055	0,036	0,021	0,008
0,96	0,183	0,157	0,131	0,106	0,082	0,061	0,042	0,027	0,014	0,005
1,00	0,159	0,134	0,110	0,087	0,066	0,047	0,030	0,017	0,008	0,002

Tabla II.

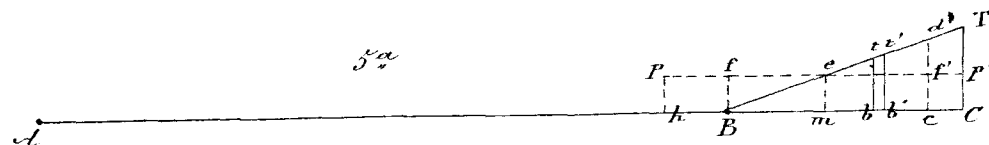
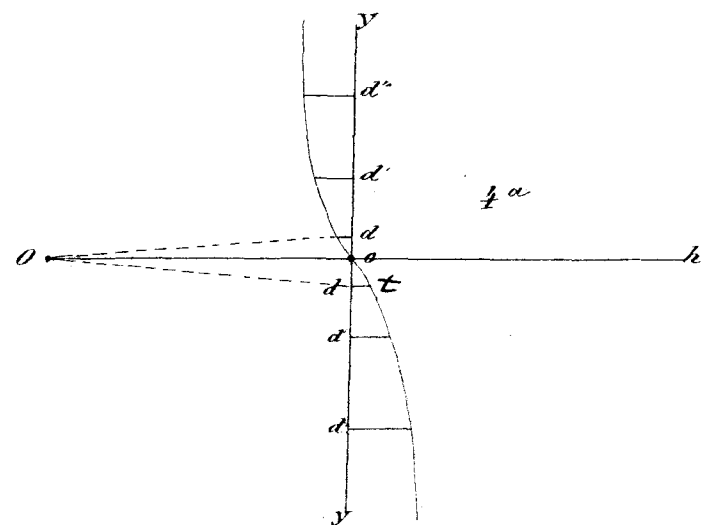
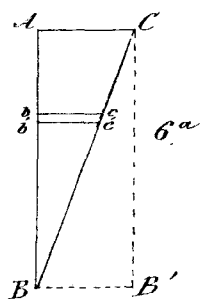
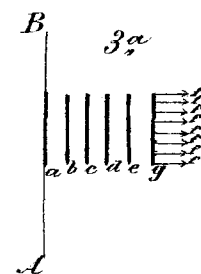
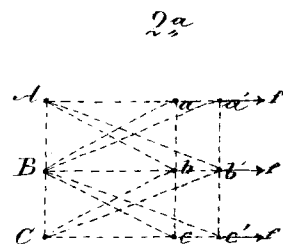
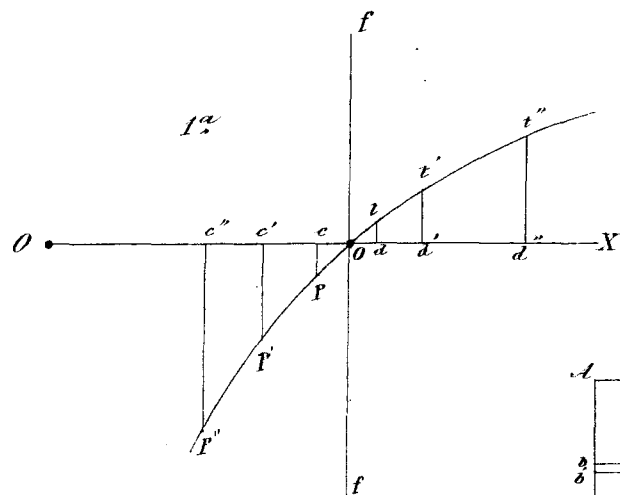
Coefficiente de la parte principal del empuje producido por un peso distribuido uniformemente sobre todo el arco, segun su longitud o segun su proyeccion horizontal.

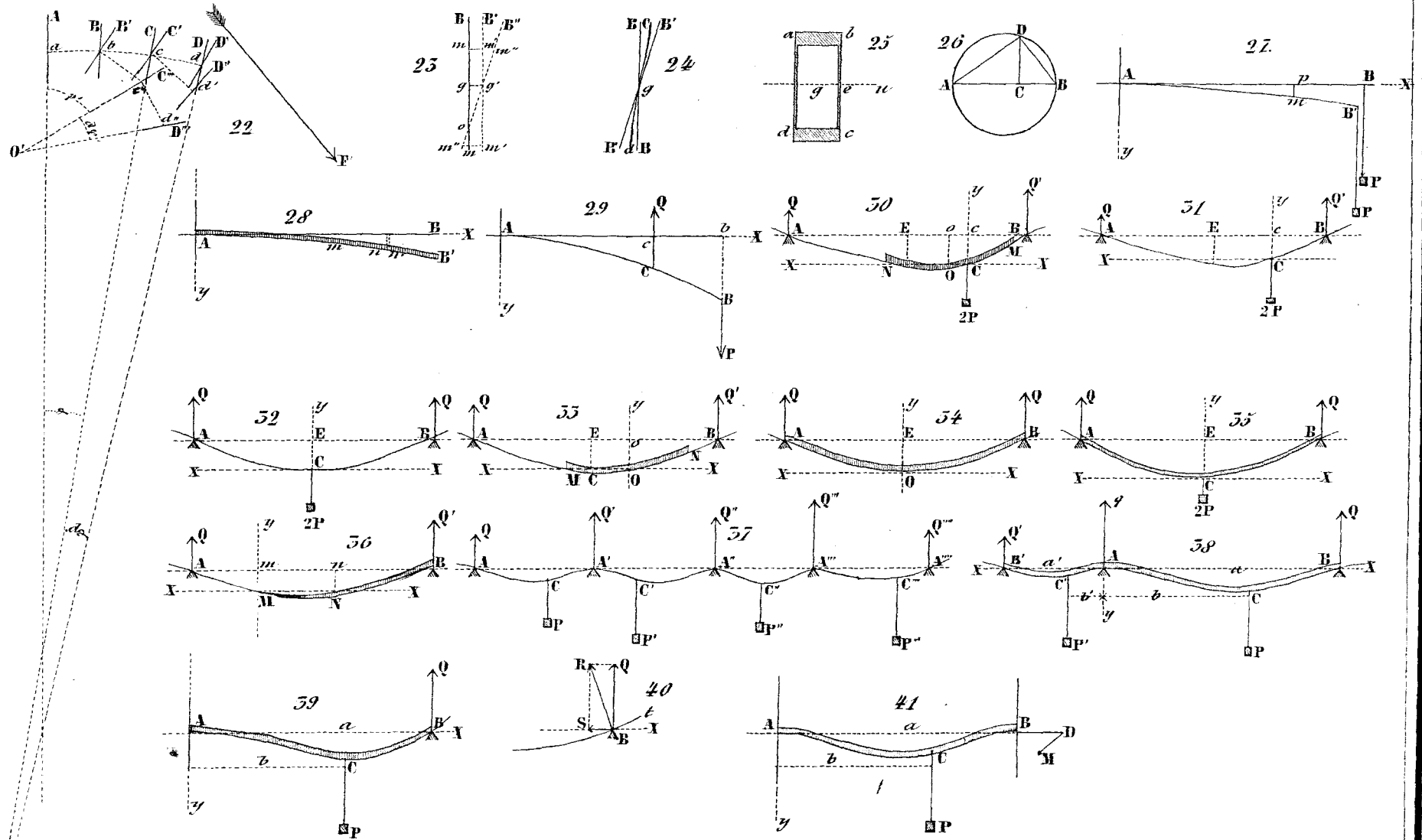
Amplitud del arco $\frac{2\phi}{\pi}$	Coefficiente para la reparticion proporcional a la		Amplitud del arco $\frac{2\phi}{\pi}$	Coefficiente para la reparticion proporcional a la	
	Longitud	Proyeccion horizontal		Longitud	Proyeccion horizontal
0,12	2,635	2,641	0,37	0,804	0,825
0,13	2,429	2,436	0,38	0,780	0,802
0,14	2,253	2,264	0,39	0,757	0,779
0,15	2,100	2,108	0,40	0,735	0,758
0,16	1,965	1,974	0,42	0,694	0,718
0,17	1,847	1,856	0,44	0,657	0,681
0,18	1,741	1,751	0,46	0,622	0,648
0,19	1,647	1,657	0,48	0,590	0,617
0,20	1,562	1,573	0,50	0,564	0,589
0,21	1,484	1,496	0,52	0,533	0,562
0,22	1,414	1,426	0,54	0,507	0,537
0,23	1,349	1,362	0,56	0,483	0,514
0,24	1,290	1,304	0,58	0,460	0,492
0,25	1,236	1,250	0,60	0,439	0,472
0,26	1,185	1,200	0,62	0,418	0,453
0,27	1,138	1,153	0,64	0,399	0,435
0,28	1,095	1,110	0,68	0,364	0,401
0,29	1,054	1,070	0,72	0,334	0,371
0,30	1,016	1,033	0,76	0,304	0,343
0,31	0,980	0,998	0,80	0,273	0,317
0,32	0,947	0,964	0,84	0,248	0,293
0,33	0,915	0,933	0,88	0,224	0,271
0,34	0,885	0,904	0,92	0,201	0,251
0,35	0,857	0,876	0,96	0,180	0,234
0,36	0,830	0,850	1,00	0,155	0,212

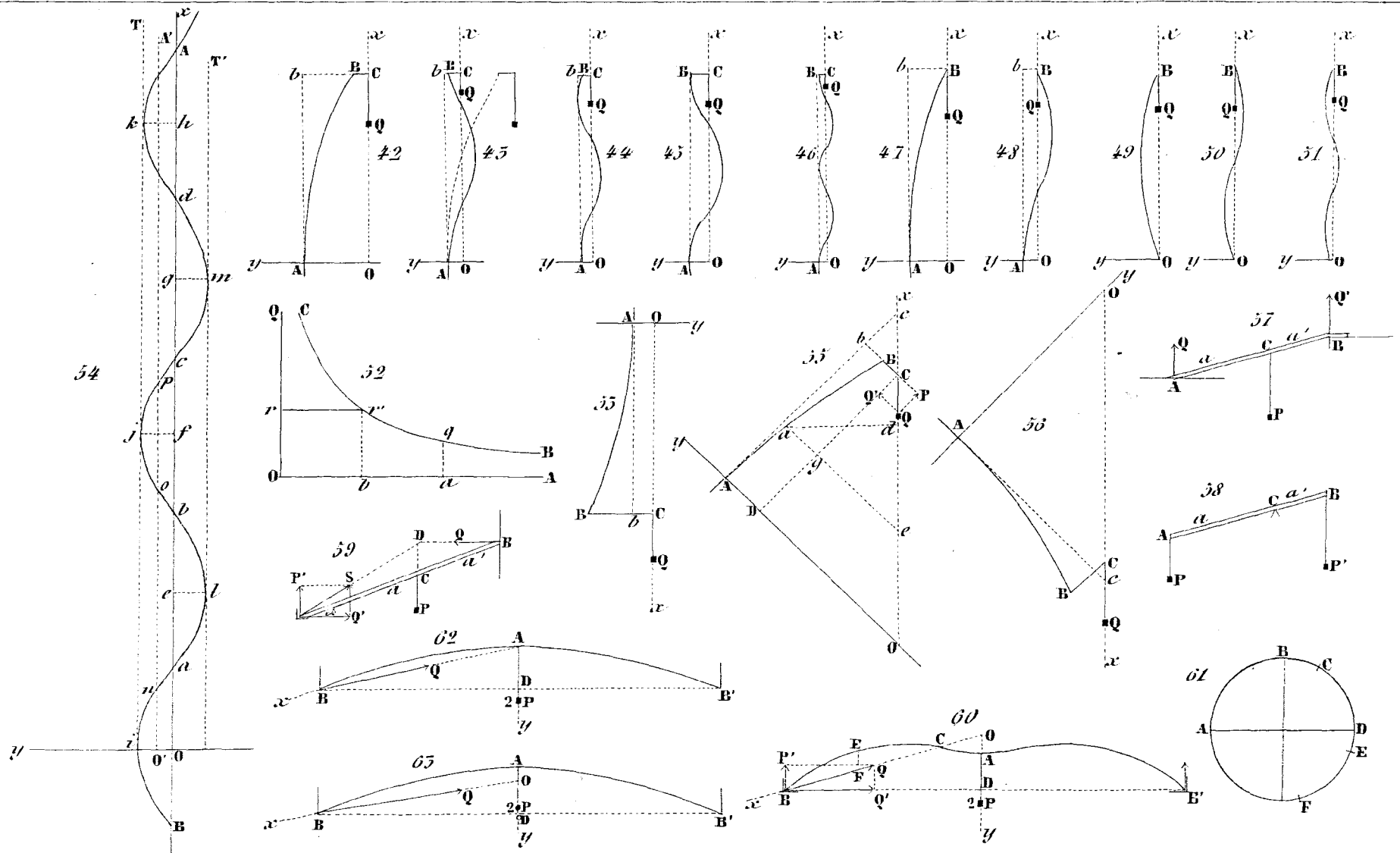
Tabla III.

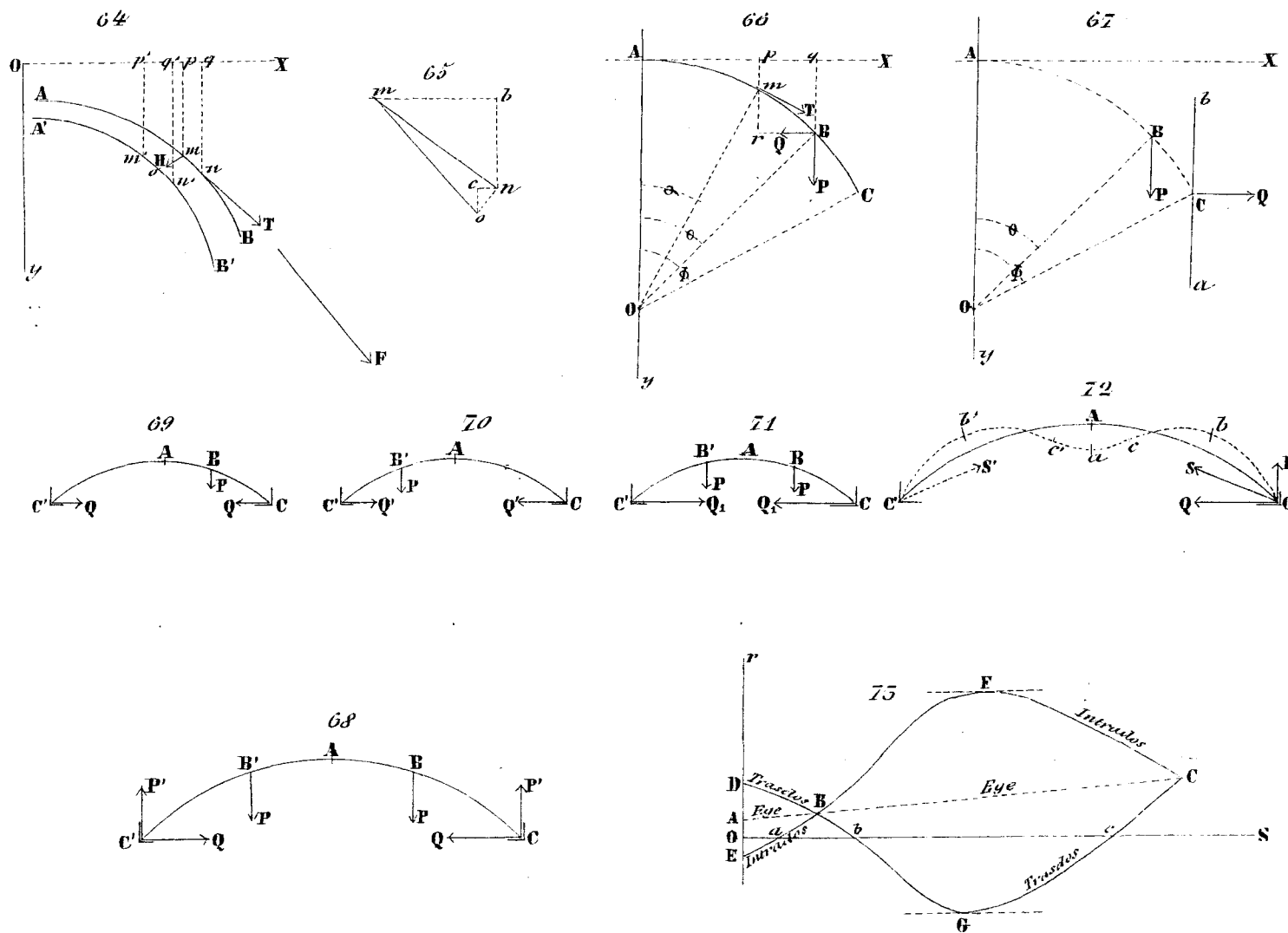
Coefficiente de correccion del empuje producido por pesos cualesquiera.

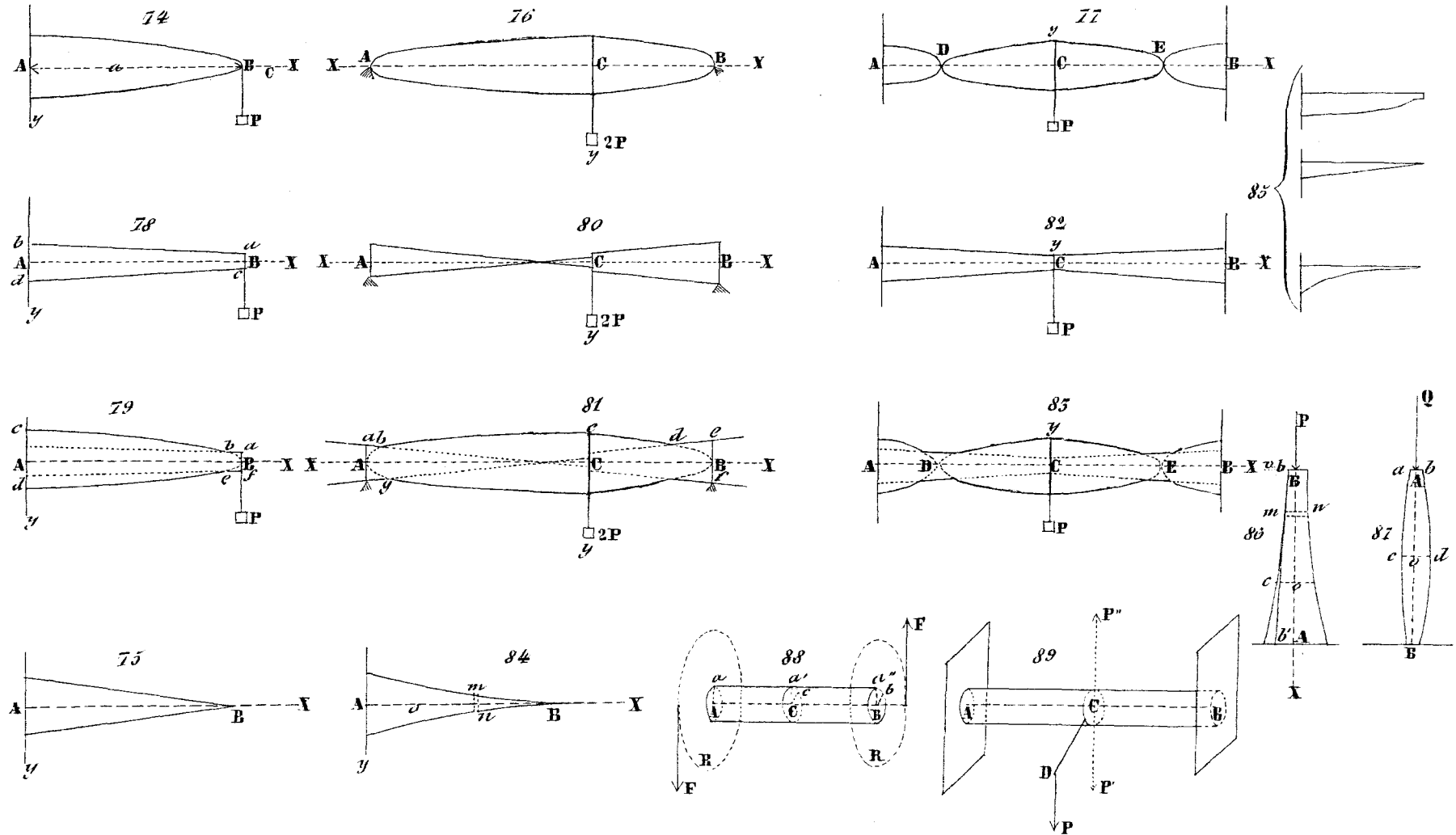
Ampli- tud del arco $\frac{2\phi}{\pi}$	Valores de λ					Ampli- tud del arco $\frac{2\phi}{\pi}$	Valores de λ				
	0,0005	0,0010	0,0015	0,0020	0,0025		0,0005	0,0010	0,0015	0,0020	0,0025
0,12	0,905	0,826	0,760	0,703	0,654	0,37	0,989	0,979	0,969	0,959	0,950
0,13	0,918	0,846	0,788	0,736	0,690	0,38	0,990	0,980	0,971	0,961	0,952
0,14	0,928	0,866	0,812	0,764	0,721	0,39	0,991	0,981	0,972	0,963	0,955
0,15	0,937	0,882	0,832	0,788	0,748	0,40	0,991	0,982	0,974	0,965	0,957
0,16	0,944	0,895	0,850	0,809	0,772	0,42	0,992	0,984	0,976	0,969	0,961
0,17	0,951	0,906	0,865	0,827	0,793	0,44	0,993	0,986	0,978	0,972	0,965
0,18	0,956	0,915	0,877	0,843	0,813	0,46	0,993	0,987	0,980	0,974	0,968
0,19	0,960	0,923	0,889	0,857	0,827	0,48	0,994	0,988	0,982	0,976	0,970
0,20	0,964	0,930	0,899	0,869	0,841	0,50	0,995	0,989	0,984	0,978	0,973
0,21	0,967	0,936	0,907	0,885	0,854	0,52	0,995	0,990	0,985	0,980	0,975
0,22	0,970	0,942	0,915	0,890	0,866	0,54	0,995	0,991	0,986	0,982	0,977
0,23	0,973	0,947	0,922	0,898	0,876	0,56	0,996	0,991	0,987	0,983	0,979
0,24	0,975	0,951	0,928	0,906	0,885	0,58	0,996	0,992	0,988	0,984	0,980
0,25	0,977	0,955	0,933	0,913	0,893	0,60	0,996	0,993	0,989	0,985	0,982
0,26	0,978	0,958	0,938	0,919	0,901	0,62	0,997	0,993	0,990	0,986	0,983
0,27	0,980	0,964	0,942	0,925	0,907	0,64	0,997	0,994	0,991	0,987	0,984
0,28	0,981	0,964	0,946	0,930	0,913	0,68	0,997	0,994	0,992	0,989	0,986
0,29	0,983	0,966	0,950	0,934	0,919	0,72	0,998	0,995	0,993	0,990	0,988
0,30	0,984	0,968	0,953	0,938	0,924	0,76	0,998	0,996	0,994	0,992	0,990
0,31	0,985	0,970	0,956	0,942	0,929	0,80	0,998	0,996	0,995	0,993	0,991
0,32	0,986	0,972	0,959	0,946	0,933	0,84	0,998	0,997	0,995	0,993	0,992
0,33	0,987	0,974	0,961	0,949	0,937	0,88	0,999	0,997	0,996	0,994	0,993
0,34	0,988	0,975	0,963	0,952	0,940	0,92	0,999	0,997	0,996	0,995	0,994
0,35	0,988	0,977	0,966	0,955	0,944	0,96	0,999	0,998	0,997	0,995	0,994
0,36	0,989	0,978	0,967	0,957	0,947	1,00	0,999	0,998	0,997	0,996	0,995

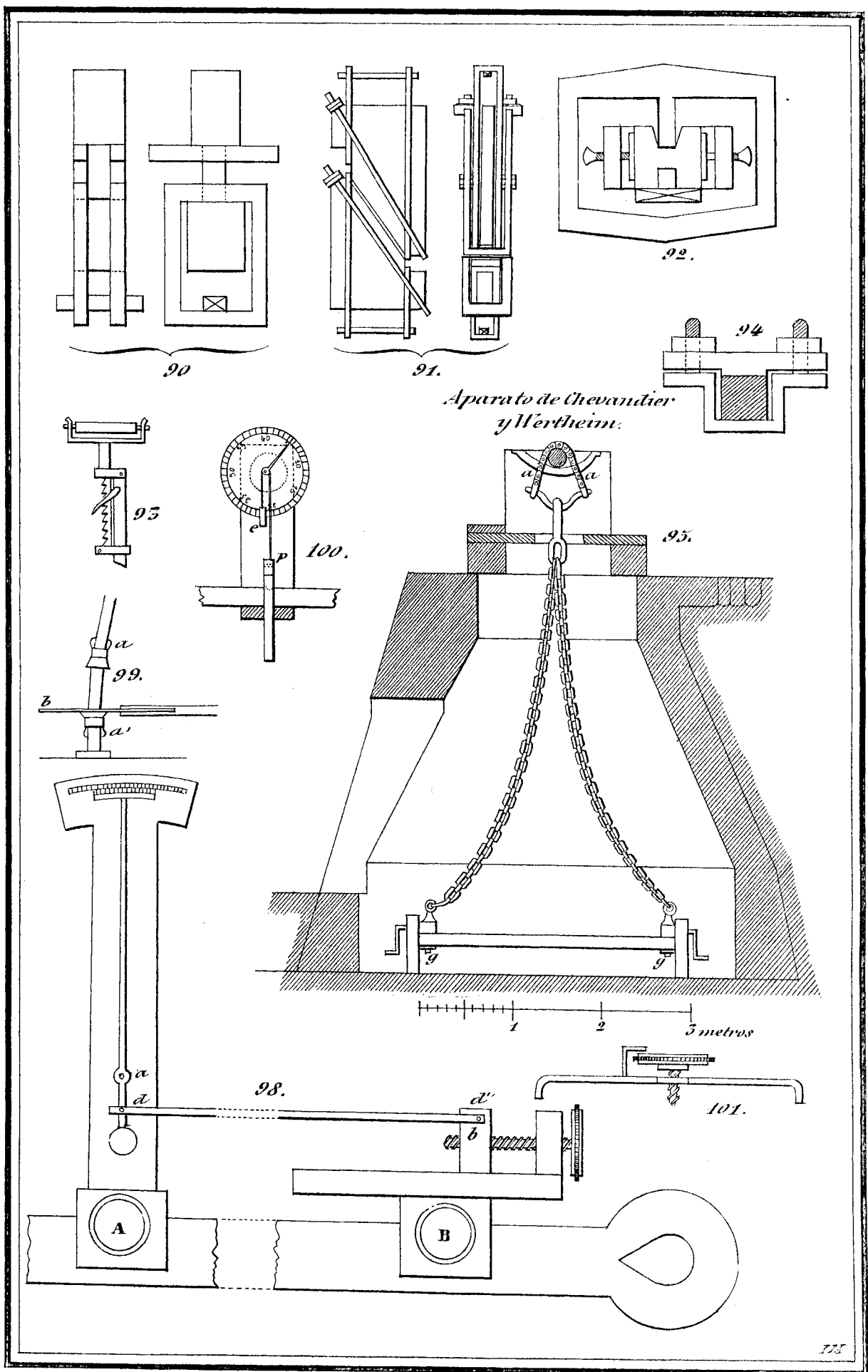






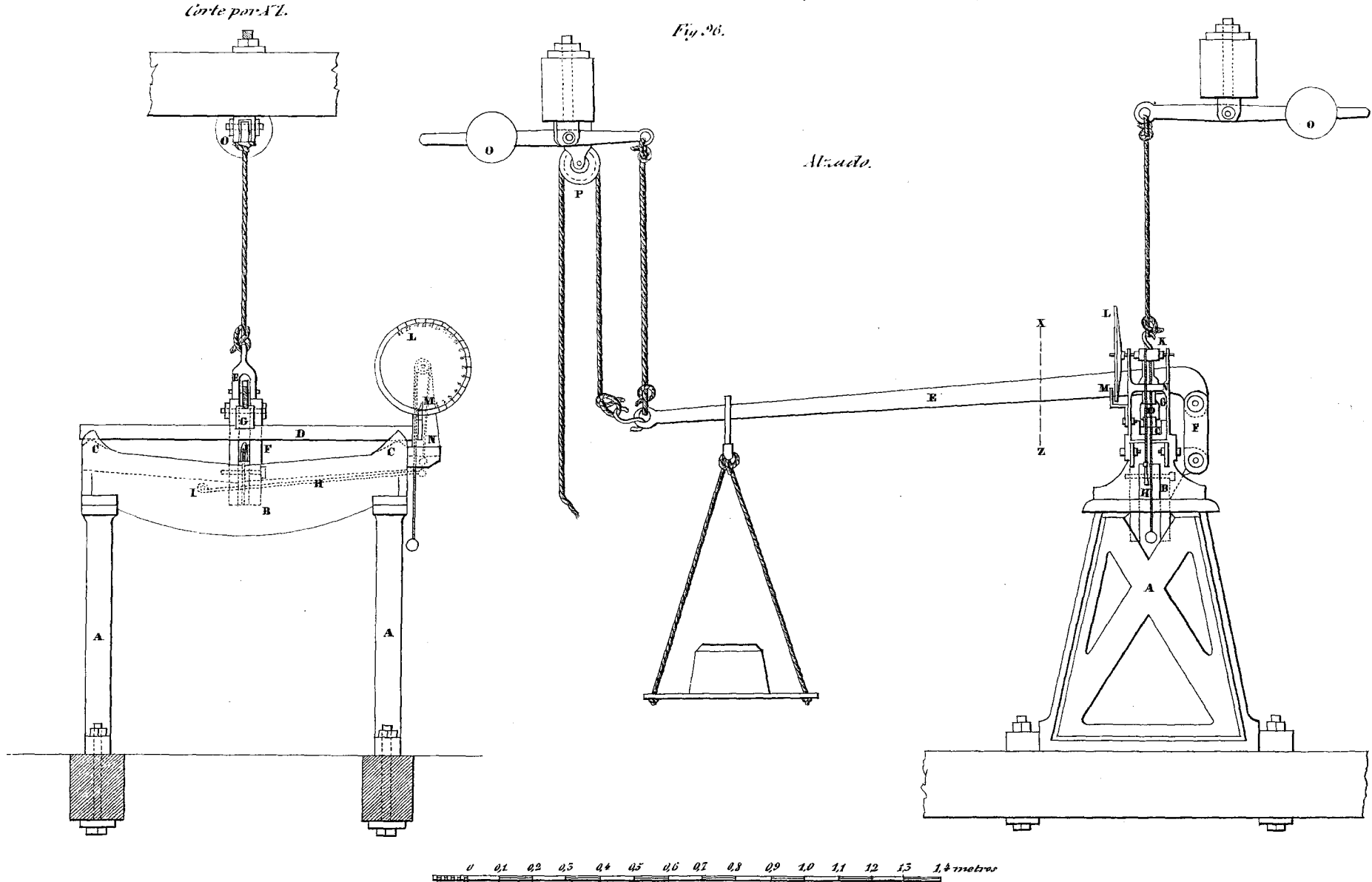






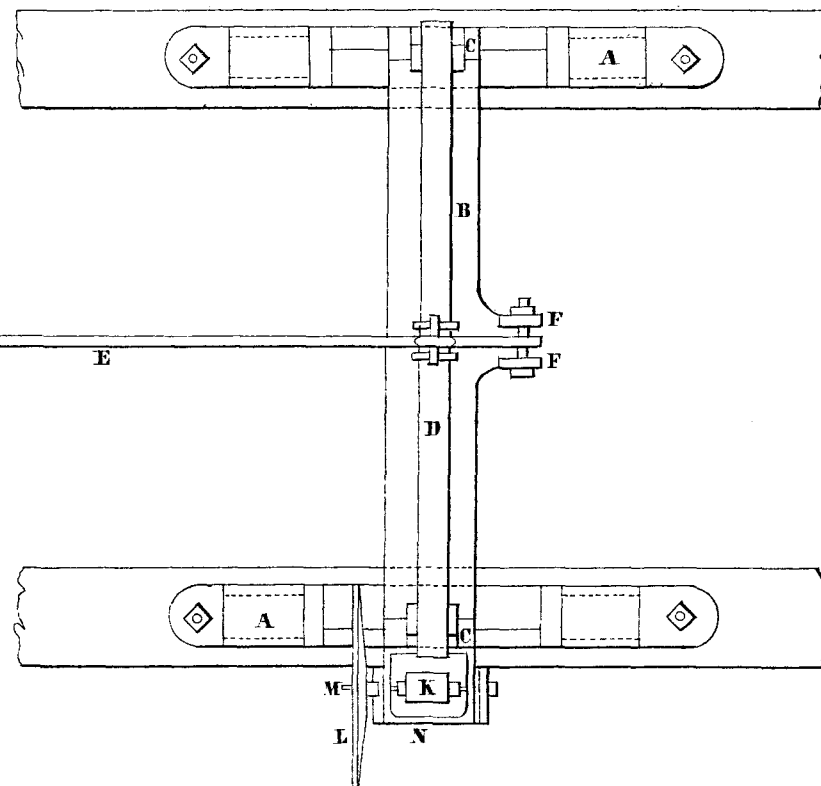
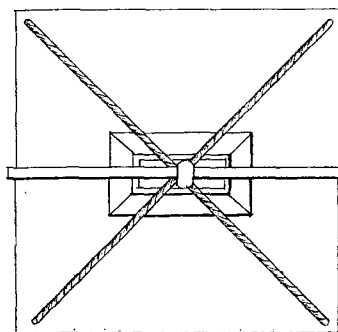
APARATO DE BRAMAH
para experimentar la resistencia a la flexion.

Fig. 26.



*Explicacion del aparato***APARATO DE BRAMAH.***Planta.*

- A *Apoyos de fundicion.*
 B *Pieza de hierro fundido que sostiene a todas las demas.*
 C *Cuchillos.*
 D *Pieza de ensayo.*
 E *Palanca de hierro.*
 F *Eslabones que sujetan el extremo de la palanca.*
 G *Pieza semicilindrica en que se apoya la palanca para efectuar su esfuerzo.*
 H *Pequeña palanca giratoria en su pasador I.*
 I *Pasador.*
 J *Estilo que transmite a la palanca el movimiento de la pieza, dividido en dos partes atornilladas.*
 K *Cilindro que recibe un hilo unido al extremo de la palanca H con un contrapeso al lado opuesto para volverle a su posicion primitiva.*
 L *Disco graduado que marca en un indice fijo M la flecha de la pieza multiplicada por la relacion de los radios del disco y del cilindro K y la de los brazos de la palanca H.*
 N *Basidor que sostiene el disco y el cilindro.*
 O *Contrapesos.*
 P *Polea para levantar todo el peso a la vez.*



0 01 02 03 04 05 06 07 08 09 10 11 12 13 14 metros.

IJC

Fig. 97.

APARATO DE RONDELET.

- A *Pieza de madera que sostiene el aparato.*
 a *Abrazaderas que la unen al muro.*
 B *Palanca.*
 C *Prisma triangular de hierro fundido que sirve de cuchillo.*
 D *Prismas de hierro.*
 E *Sólido que se ensaya.*
 F *Reglas de hierro que sirven de guías.*
 G *Tornillo.*
 H *Tuerca.*
 I *Arco de hierro que trasmite al tornillo la acción del peso P.*
 T *Tornapunta para sostener la palanca.*

